

---

## Esercitazione 1    DIMENSIONAMENTO E VERIFICA DI UN EDIFICIO IN C.A.

### 1.1    Geometria dell'edificio ed indicazione della maglia strutturale

Si consideri un edificio ad uso residenziale in calcestruzzo armato su tre piani fuori terra la cui sezione viene indicata nella Figura 1.1:

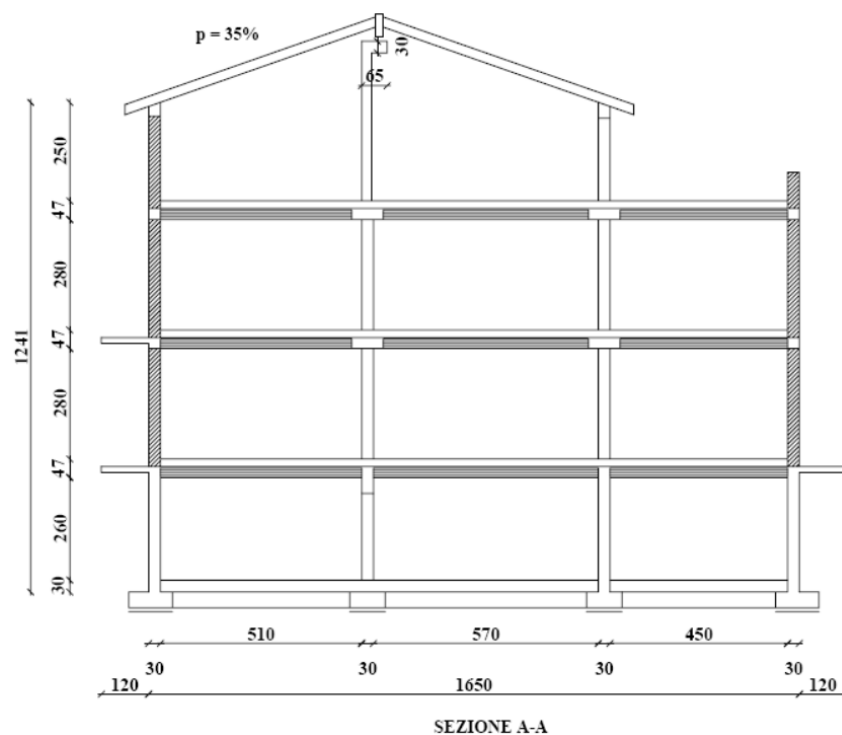


Figura 1.1: Sezione A-A (misure in cm)

Gli impalcati sono costituiti da travi di bordo e di spina in spessore di solaio, per avere più flessibilità architettonica, da solai in predalles tra il piano interrato e il piano terra e solai in latero-cemento con travetti prefabbricati e pignatte di alleggerimento ai piani superiori. La copertura è in legno.

La disposizione planimetrica è indicata nelle seguenti figure:

## 1. ESERCITAZIONE 1

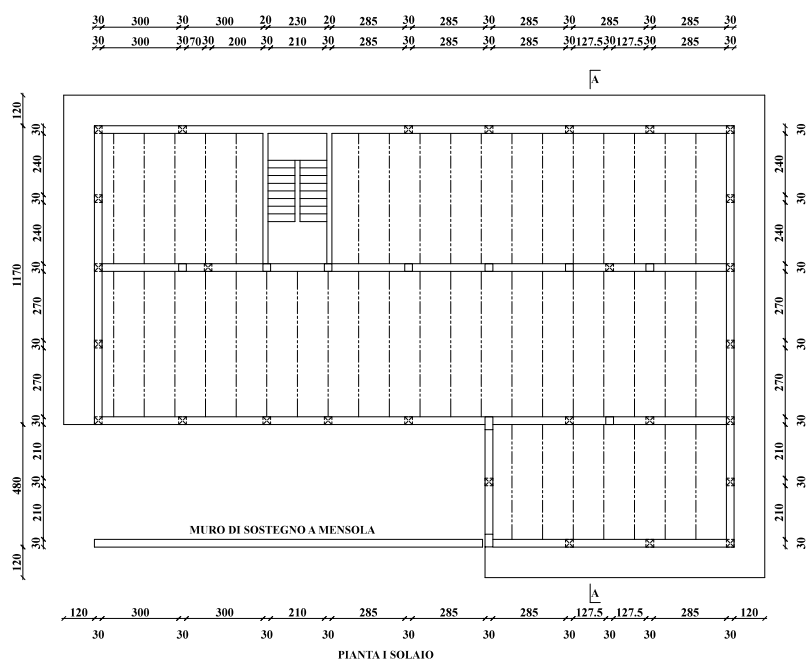


Figura 1.2: Pianta piano I (misure in cm)

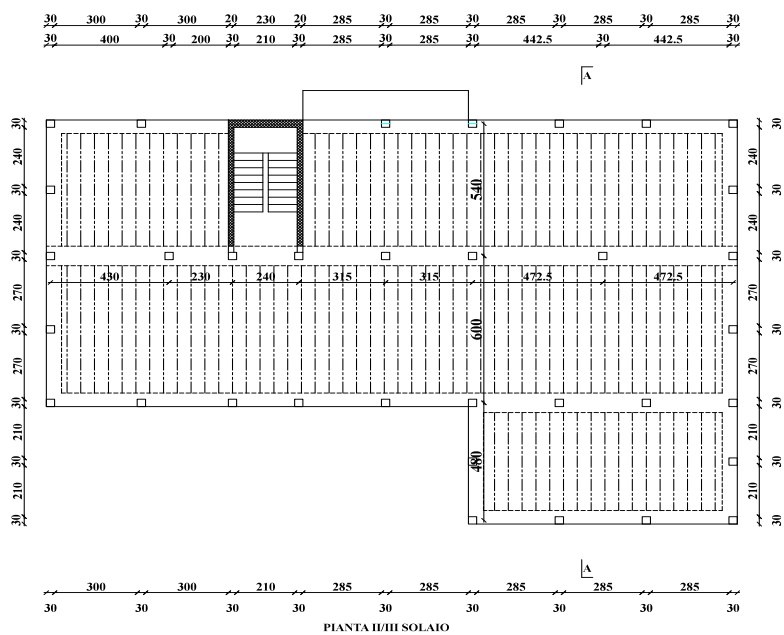


Figura 1.3: Pianta piani II / III (misure in cm)

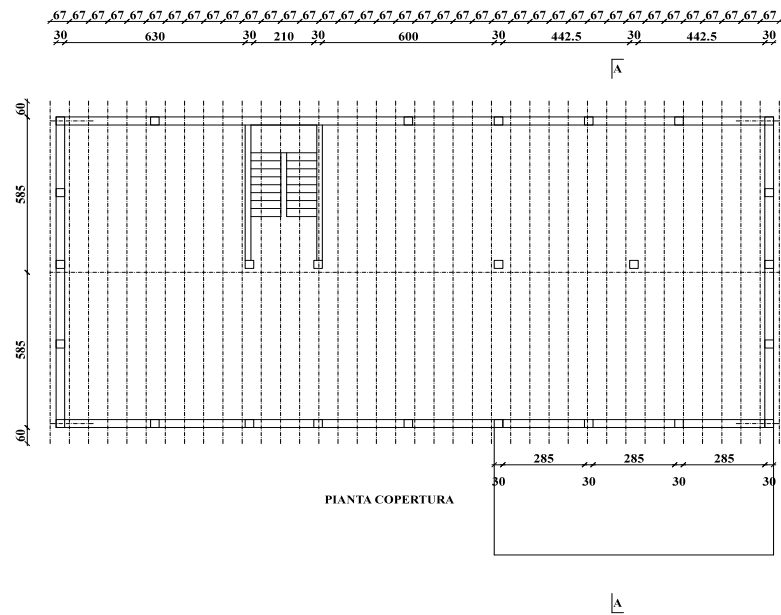


Figura 1.4: Pianta copertura (misure in cm)

## 1.2 Predimensionamento

Lo spessore dell'impalcato può essere determinato, in prima istanza, in modo da limitare la deformabilità flessionale degli elementi che lo costituiscono. Si può dimostrare, infatti, che la deformabilità degli elementi soggetti a flessione può essere limitata imponendo un adeguato valore del rapporto  $h/L$  o  $d/L$  fra l'altezza (altezza utile) della sezione e la luce dell'elemento considerato.

I valori del rapporto  $h/L$  o  $d/L$  che consentono la scelta dell'altezza dei diversi elementi strutturali sono i seguenti:

$\frac{h}{L} = \frac{1}{20} \div \frac{1}{25}$ oppure $\frac{d}{L} = \frac{1}{22} \div \frac{1}{23}$	Solai
$\frac{h}{L} = \frac{1}{15} \div \frac{1}{20}$ oppure $\frac{d}{L} = \frac{1}{17} \div \frac{1}{18}$	Travi in spessore
$\frac{h}{L} = \frac{1}{10} \div \frac{1}{15}$	Travi fuori spessore
$\frac{h}{L} = \frac{1}{7} \div \frac{1}{8}$	Balconi ed elementi a mensola

Tabella 1.1: valori tipici dei rapporti luci - altezza

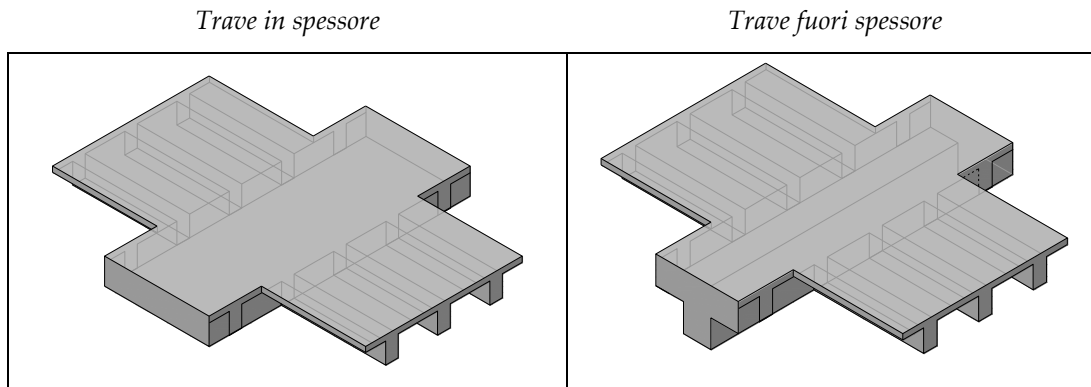


Figura 1.5: Esempi di travi in spessore e fuori spessore

Nell'impalcato in oggetto verranno utilizzati solai in latero-cemento con travi in spessore.

$$L_{\text{solaio}} = 600 \text{ cm}$$

$$h = 24 \text{ cm} \div 30 \text{ cm}$$

Solai

$$L_{\text{trave}} = 472 \text{ cm}$$

$$h = 24 \text{ cm} \div 31 \text{ cm}$$

Travi in spessore

L'altezza dell'impalcato e verrà assunta pari a:

$$h_{\text{solaio}} = 25 \text{ cm} \text{ (20+5 cm. 5 cm di cappa sono fortemente consigliabili per l'organizzazione sismica dell'impalcato).}$$

### 1.3 Scelta della tipologia di solaio

La tipologia di solaio scelta per la struttura in oggetto è quella tradizionale del solaio in latero-cemento, costituito da elementi resistenti in calcestruzzo armato con sezione a *T* ed elementi di alleggerimento in laterizio con sezione quadrangolare.

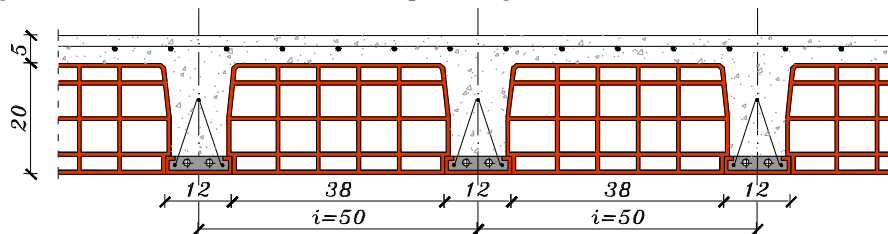


Figura 1.6: Sezione trasversale di calcolo di un solaio in latero-cemento

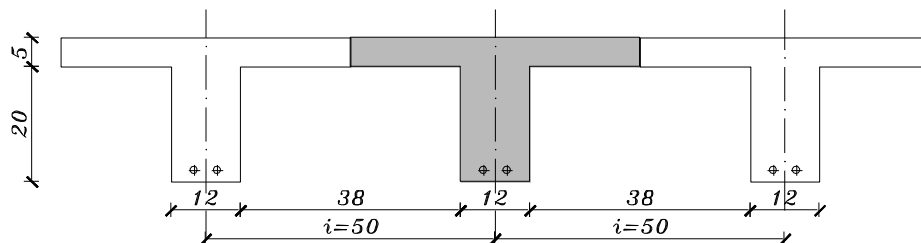


Figura 1.7: Sezione teorica di calcolo di un solaio latero-cemento

### 1.4 Analisi dei carichi

Le azioni sulle costruzioni possono essere classificate, in prima analisi, secondo la variazione della loro intensità nel tempo, nelle seguenti categorie (D.M. 14 gennaio 2008 – § 2.5.1.3):

1. **Carichi Permanenti ( $G$ )** - Azioni che agiscono durante tutta la vita nominale della costruzione e che possono essere considerate, in prima approssimazione, costanti nel tempo:
  - peso proprio di tutti gli elementi strutturali ( $G_1$ );
  - peso proprio di tutti gli elementi non strutturali ( $G_2$ );
  - spostamenti e deformazioni imposte;
  - pretensione e precompressione ( $P$ );
  - ritiro e viscosità;
  - spostamenti differenziali.
2. **Carichi Variabili ( $Q$ )** – Azioni sulla struttura o sul singolo elemento strutturale con valori istantanei che possono risultare sensibilmente diversi fra loro nel tempo:
  - di lunga durata;
  - di breve durata.
3. **Carichi Eccezionali ( $A$ )** - Azioni che si verificano solo eccezionalmente nel corso della vita nominale della struttura:
  - incendi;
  - esplosioni;
  - urti ed impatti.
4. **Azioni Sismiche ( $E$ )** – Azioni derivanti dai terremoti.

#### 1.4.1 Determinazione dei carichi permanenti strutturali ( $G_1$ )

I carichi permanenti strutturali possono essere determinati assumendo i valori dei pesi per unità di volume dei principali materiali da costruzione contenuti nelle nuove norme tecniche per le costruzioni e riportati nella seguente tabella (D.M. 14 gennaio 2008 – Tabella 3.1.I).

MATERIALI	PESO UNITÀ DI VOLUME [kN/m³]
<b>Calcestruzzi cementizi e malte</b>	
Calcestruzzo ordinario	24,0
Calcestruzzo armato (e/o precompresso)	25,0
Calcestruzzi “leggeri”: da determinarsi caso per caso	14,0÷20,0
Calcestruzzi “pesanti”: da determinarsi caso per caso	28,0÷50,0
Malta di calce	18,0
Malta di cemento	21,0
Calce in polvere	10,0
Cemento in polvere	14,0
Sabbia	17,0
<b>Metalli e leghe</b>	
Acciaio	78,5

## 1. ESERCITAZIONE 1

MATERIALI	PESO UNITÀ DI VOLUME [kN/m³]
Ghisa	72,5
Alluminio	27,0
<b>Materiale lapideo</b>	
Tufo vulcanico	17,0
Calcare compatto	26,0
Calcare tenero	22,0
Gesso	13,0
Granito	27,0
Laterizio (pieno)	18,0
<b>Legnami</b>	
Conifere e pioppo	4,0÷6,0
Latifoglie (escluso pioppo)	6,0÷8,0
<b>Sostanze varie</b>	
Acqua dolce (chiara)	9,81
Acqua di mare (chiara)	10,1
Carta	10,0
Vetro	25,0
<i>Per materiali non compresi nella tabella si potrà far riferimento a specifiche indagini sperimentali o a normative di comprovata validità assumendo i valori nominali come valori caratteristici.</i>	

Tabella 1.2: Carichi permanenti strutturali (D.M. 14 gennaio 2008)

### 1.4.2 Determinazione dei carichi permanenti non strutturali ( $G_2$ )

Sono considerati carichi permanenti non strutturali i carichi non rimovibili dalla costruzione durante il suo normale esercizio quali, ad esempio, quelli relativi alle tamponature esterne, ai divisori interni, massetti, isolamenti, pavimenti e rivestimenti in genere, intonaci, controsoffitti ed impianti. In generale i carichi permanenti non strutturali possono essere considerati come carichi uniformemente distribuiti.

Il peso proprio degli elementi divisori interni e degli impianti può essere assunto, in genere, come un carico equivalente distribuito purché i solai abbiano sufficiente capacità di ripartizione trasversale. In particolare il peso proprio degli elementi divisori interni  $g_2$  dipende dal peso proprio per unità di lunghezza delle partizioni  $G_2$  nel seguente modo:

Peso proprio per unità di lunghezza $G_2$ kN/m	Peso proprio equivalente distribuito $g_2$ kN/m²
$G_2 \leq 1,00$	$g_2 = 0,40$
$1,00 \leq G_2 \leq 2,00$	$g_2 = 0,80$
$2,00 \leq G_2 \leq 3,00$	$g_2 = 1,20$
$3,00 \leq G_2 \leq 4,00$	$g_2 = 1,60$
$4,00 \leq G_2 \leq 5,00$	$g_2 = 2,00$

Tabella 1.3: Carichi permanenti non strutturali

Elementi divisori con peso proprio maggiore devono essere valutati nella loro effettiva posizione.

### 1.4.3 Determinazione dei carichi variabili (Q)

I carichi variabili dipendono dalla destinazione d'uso dell'opera. I valori di esercizio dei carichi variabili, per le diverse categorie di edifici, sono contenuti nelle nuove norme tecniche per le costruzioni e sono riportati nella seguente tabella (D.M. 14 gennaio 2008 – Tabella 3.1.II).

Cat.	Ambienti	$q_k$ [kN/m <sup>2</sup> ]	$Q_k$ [kN]	$H_k$ [kN/m]
<b>A</b>	<b>Ambienti ad uso residenziale</b> Sono compresi in questa categoria i locali di abitazione e relativi servizi, gli alberghi. (ad esclusione delle aree suscettibili di affollamento)	2,00	2,00	1,00
<b>B</b>	<b>Uffici</b> Cat. B1 Uffici non aperti al pubblico Cat. B2 Uffici aperti al pubblico	2,00 3,00	2,00 2,00	1,00 1,00
<b>C</b>	<b>Ambienti suscettibili di affollamento</b> Cat. C1 Ospedali, ristoranti, caffè, banche, scuole Cat. C2 Balconi, ballatoi e scale comuni, sale convegni, cinema, teatri, chiese, tribune con posti fissi Cat. C3 Ambienti privi di ostacoli per il libero movimento delle persone, quali musei, sale per esposizioni, stazioni ferroviarie, sale da ballo, palestre, tribune libere, edifici per eventi pubblici, sale da concerto, palazzetti per lo sport e relative tribune	3,00 4,00 5,00	2,00 4,00 5,00	1,00 2,00 3,00
<b>D</b>	<b>Ambienti ad uso commerciale</b> Cat. D1 Negozi Cat. D2 Centri commerciali, mercati, grandi magazzini, librerie...	4,00 5,00	4,00 5,00	2,00 2,00
<b>E</b>	<b>Biblioteche, archivi, magazzini e ambienti ad uso industriale</b> Cat. E1 Biblioteche, archivi, magazzini, depositi, laboratori manifatturieri Cat. E2 Ambienti ad uso industriale, da valutarsi caso per caso	$\geq 6,00$ -	6,00 -	1,00* -
<b>F-G</b>	<b>Rimesse e parcheggi</b> Cat. F Rimesse e parcheggi per il transito di automezzi di peso a pieno carico fino a 30 kN Cat. G Rimesse e parcheggi per transito di automezzi di peso a pieno carico superiore a 30 kN: da valutarsi caso per caso	2,50 -	2x10,00 -	1,00** -
<b>H</b>	<b>Coperture e sottotetti</b> Cat. H1 Coperture e sottotetti accessibili per sola manutenzione Cat. H2 Coperture praticabili Cat. H3 Coperture speciali (impianti, eliporti, altri) da valutarsi caso per caso	0,50 - -	1,20 Secondo categoria d'appartenenza - -	1,00 - -
* non comprende le azioni orizzontali eventualmente esercitate dai materiali immagazzinati				
** per i soli parapetti o partizioni nelle zone pedonali. Le azioni sulle barriere esercitate dagli automezzi dovranno essere valutate caso per caso				

Tabella 1.4: Carichi variabili (D.M. 14 gennaio 2008)

### 1.4.4 Carico neve

Il carico provocato dalla neve sulle coperture può essere valutato secondo la seguente espressione (D.M. 14 gennaio 2008 – § 3.4.1):

$$q_s = \mu_i \cdot q_{sk} \cdot C_E \cdot C_t$$

dove:

- $q_s$  è il carico neve sulla copertura;
- $\mu_i$  è il coefficiente di forma della copertura (D.M. 14 gennaio 2008 – § 3.4.5);
- $q_{sk}$  è il valore caratteristico di riferimento del carico neve al suolo [kN/m<sup>2</sup>], per un periodo di ritorno di 50 anni (D.M. 14 gennaio 2008 – § 3.4.2);
- $C_E$  è il coefficiente di esposizione (D.M. 14 gennaio 2008 – § 3.4.3);
- $C_t$  è il coefficiente termico (D.M. 14 gennaio 2008 – § 3.4.4).

Per l'edificio in oggetto:

- |   |   |
|---|---|
| $\mu_i = 0,8$   | per copertura a falde inclinate con inclinazione $0^\circ \leq \alpha \leq 30^\circ$ ; nel caso in esame $p=35\%$ che equivale ad un angolo $\alpha=19.3^\circ$ ; |
| $q_{sk} = 1,50 \text{ kN/m}^2 \text{ } a_s \leq 200 \text{ m}$                | per edifici in Zona I – Alpina;   |
| $q_{sk} = 1,39 [1 + (a_s/728)^2] \text{ kN/m}^2 \text{ } a_s > 200 \text{ m}$ | Per Brescia: $a_s = 149 \text{ m s.l.m.}$ Risulta quindi:<br>$q_{sk} = 1,50 \text{ kN/m}^2$   |
| $C_t = 1$   | per edifici in classe di topografia normale;  |
| $C_E = 1$   | in assenza di studi specifici.  |

Il carico neve sulla copertura risulta:

$$q_s = 0,8 \cdot 1,50 \text{ kN/m}^2 \cdot 1 \cdot 1 = 1,20 \text{ kN/m}^2$$



### 1.4.5 Solaio piano tipo

Consideriamo il solaio di un piano tipo di altezza  $H=47$  cm (20 + 5 strutturale)

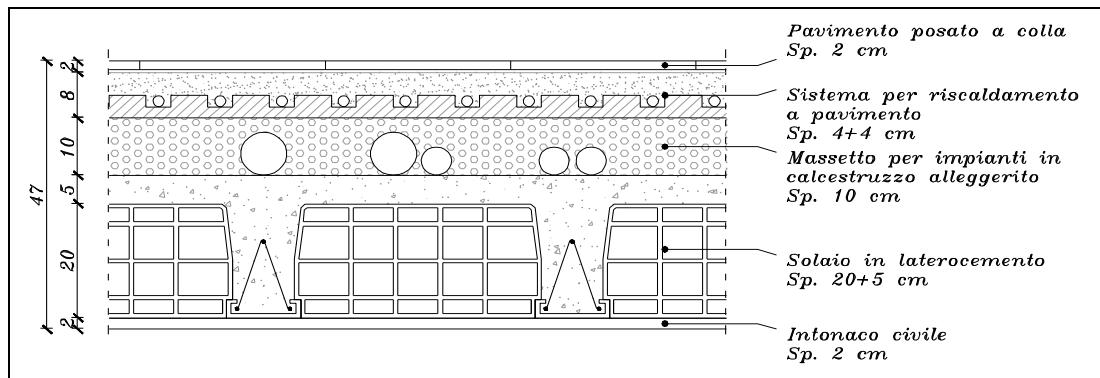


Figura 1.8: Sezione solaio piano tipo

		kN/ m <sup>2</sup>
<b>Carichi permanenti strutturali (<math>G_1</math>)</b>		
Solaio latero-cemento: spessore 20 + 5 cm		3,50
<b>Carichi permanenti non strutturali (<math>G_2</math>)</b>		
Divisori interni ( $g_2$ )		1,20
Pavimento in gres porcellanato posato a colla: spessore 2 cm		0,30
Sistema per riscaldamento a pavimento costituito da massetto in calcestruzzo e pannello isolante: spessore 4+4 cm		1,20
Massetto in calcestruzzo alleggerito e impianti: spessore 10 cm	$11,00 \cdot 0,10 =$	1,10
Intonaco civile: spessore 2 cm	$20,00 \cdot 0,02 =$	0,40
<b>Totale</b>		<b>4,20</b>
<b>Carichi variabili (<math>Q</math>)</b>		
Cat. A – Ambienti ad uso residenziale		2,00
<b>TOTALE COMPLESSIVO</b>		<b>9,70</b>

#### 1.4.6 Solaio di copertura in legno lamellare

Consideriamo un solaio di copertura in legno lamellare di altezza  $H=47$  cm (pendenza 35%  $\alpha=19.3^\circ$ ):

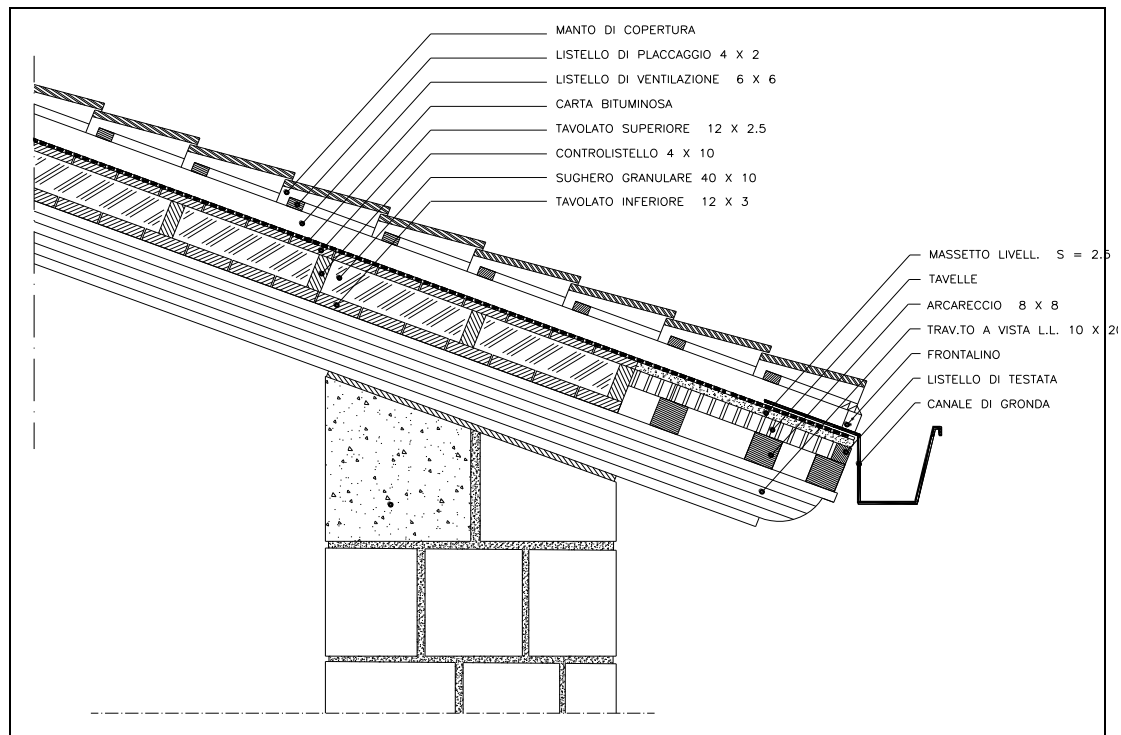


Figura 1.9: Sezione solaio di copertura

	kN/ m <sup>2</sup>
<b>Carichi permanenti strutturali (<math>G_1</math>) (si dividono i valori per <math>\cos\alpha</math>)</b>	
Travetto legno 10*20 i=60 cm + peso strutture (travi colmo, dormienti)	<b>0,35</b>
<b>Carichi permanenti non strutturali (<math>G_2</math>) (si dividono i valori per <math>\cos\alpha</math>)</b>	
Tavolato inferiore 3 cm	0,19
Isolante 10 cm + controlistelli	0,05
Tavolato superiore 2,5 cm	0,16
Manto bituminoso, listelli di ventilazione e listelli placcaggio	0,11
Coppi di copertura	0,80
<b>Totale</b>	<b>1,31</b>
<b>Carichi variabili (Q)</b>	
Neve	<b>1,20</b>
<b>TOTALE COMPLESSIVO</b>	<b>2,86</b>

#### 1.4.7 Carico del vento

Per angoli di inclinazione della copertura minori di 20°, il vento causa depressione sia sul lato sottovento che sopravvento.

Allo SLU, le combinazioni di carico per la copertura prevedono quindi la presenza di due carichi variabili.

$$\gamma_{G1} \cdot G_1 + \gamma_{G2} \cdot G_2 + \gamma_{Q1} \cdot Q_{k1} + \psi_{02} \cdot \gamma_{Q2} \cdot Q_{k2} + \dots$$

Con neve primo carico variabile.  $\gamma_{Q2}=0$  a favore di sicurezza (visto che vento è negativo)

$$\gamma_{G1} \cdot G_1 + \gamma_{G2} \cdot G_2 + \gamma_{Q1} \cdot Q_{k1} + \psi_{02} \cdot \gamma_{Q2} \cdot Q_{k2} + \dots$$

Con vento primo carico variabile negativo, perpendicolare uscente dalla superficie del tetto.  $\gamma_{Q2} = 0$  a favore di sicurezza. Questa è una combinazione significativa per la verifica del sollevamento del tetto.

### 1.5 Scelta dei materiali

#### 1.5.1 Acciaio B450C (ex-FeB44k)

L'acciaio per calcestruzzo armato ad aderenza migliorata B450C è caratterizzato dai seguenti valori nominali delle tensioni caratteristiche di snervamento e rottura da utilizzare nei calcoli (*D.M. 14 gennaio 2008 – Tabella 11.3.Ia*):

Valore nominale della tensione caratteristica allo snervamento:  $f_{y\text{ nom}} = 450 \text{ MPa}$

Valore nominale della tensione caratteristica a rottura:  $f_{t\text{ nom}} = 540 \text{ MPa}$

$$\gamma_s = 1,15$$

$$E_s = 210000 \text{ MPa}$$

Coefficiente di omogeneizzazione per i carichi di lunga durata  $n=15$  (C.4.1.2.2.5) e deve rispettare i requisiti indicati nella seguente tabella (*D.M. 14 gennaio 2008 – Tabella 11.3.Ib*):

CARATTERISTICHE	REQUISITI	FRATTILE (%)
Tensione caratteristica di snervamento	$f_{yk} \geq f_{y\ nom}$	5,0
Tensione caratteristica di rottura	$f_{tk} \geq f_{t\ nom}$	5,0
$(f_t/f_y)_k$	$\geq 1,15$ $< 1,35$	10,0
$(f_y/f_{y\ nom})_k$	$\leq 1,25$	10,0
Allungamento $(A_{gt})_k$	$\geq 7,5\%$	10,0
Diametro del mandrino per prove di piegamento a 90° e successivo raddrizzamento senza cricche:		
$\Phi < 12\ mm$	4 $\Phi$	
$12 \leq \Phi \leq 16\ mm$	5 $\Phi$	
per $16 < \Phi \leq 25\ mm$	8 $\Phi$	
per $25 < \Phi \leq 40\ mm$	10 $\Phi$	

Tabella 1.5: Requisiti per l'acciaio secondo il D.M. 14 gennaio 2008

L'acciaio B450C è l'unico acciaio da calcestruzzo armato consentito per diametri compresi tra i 6 e i 40 mm. Solamente per i diametri compresi tra 5 e 10 mm può essere impiegato anche l'acciaio B450A (meno duttile, essenzialmente per reti e tralicci, per armature trasversali o di strutture non dissipative o di elementi che non sviluppano plasticizzazioni in accordo alla gerarchia delle resistenze).

Verifiche in esercizio: per l'acciaio B450C dovrà essere verificato che la tensione massima  $\sigma_s$  per effetto delle azioni dovute alla combinazione caratteristica rispetti la seguente limitazione (D.M. 14 gennaio 2008–§ 4.1.2.2.5.2):

$$\sigma_s < 0,8f_{yk} = 0,8 \cdot 450\ MPa = 360\ MPa \quad \text{MOLTO ALTO!!!}$$

Nelle vecchie tensioni ammissibili, per l'acciaio B450C la tensione massima nelle condizioni di esercizio  $\sigma_{s,max,es}$  cui si faceva riferimento nella progettazione risulta:

$$\sigma_{s,max,es} = 260\ MPa$$

### 1.5.2 Calcestruzzo C25/30

Il calcestruzzo viene titolato ed identificato mediante la classe di resistenza contraddistinta dai valori caratteristici delle resistenze cilindriche e cubiche uniassiali, misurate rispettivamente su provini cilindrici e cubici, espressa in MPa (D.M. 14 gennaio 2008 – § 11.2). Il calcestruzzo di classe C25/30 è caratterizzato dai seguenti valori caratteristici:

Resistenza caratteristica cubica a compressione:  $R_{ck} = 30\ MPa$

Resistenza caratteristica cilindrica a compressione:  $f_{ck} = 25\ MPa$

$$f_{ck} = 0,83\ R_{ck}$$

Resistenza media a compressione:  $f_{cm} = f_{ck} + 8 \text{ [MPa]}$

Resistenza di progetto a compressione:  $f_{cd} = \frac{\alpha_{cc} f_{ck}}{\gamma_c} = 14,2 \text{ MPa}$

con:

$\alpha_{cc}=0.85$  (effetti lunga durata)

$\gamma_c=1,5$  (oppure 1,4 per produzione con controllo di qualità continuativo e coefficiente di variazione inferiore al 10% - vedasi prefabbricatori, getti in stabilimento o grossi centrali di betonaggio).

Modulo di elasticità tangenziale:  $E_{cm} = 22000 \left(\frac{f_{cm}}{10}\right)^{0,3} = 22000 \left(\frac{f_{ck}+8}{10}\right)^{0,3} = 31500 \text{ MPa}$

Resistenza media a trazione:  $f_{ctm} = 0,3(f_{ck})^{2/3} = 2,56 \text{ MPa}$

Resistenza caratteristica a trazione:  $f_{ctk} = 0,7f_{ctm} = 1,79 \text{ MPa}$

Resistenza di progetto a trazione:  $f_{ctd} = \frac{f_{ctk}}{\gamma_c} = \frac{1,79}{1,5} = 1,19 \text{ MPa}$

Resistenza media a trazione per classi di calcestruzzo superiori a C50/60:

$$f_{ctm} = 2,12 \ln \left(1 + \frac{f_{cm}}{10}\right)$$

Le nuove Norme Tecniche per le Costruzioni richiedono la verifica delle tensioni di esercizio nella combinazione caratteristica e quasi permanente. Si deve verificare che le massime tensioni, sia nel calcestruzzo che nell'acciaio, siano inferiori ai valori massimi consentiti.

Per il calcestruzzo di classe C25/30 la tensione massima  $\sigma_c$  deve rispettare le seguenti limitazioni (D.M. 14 gennaio 2008 - § 4.1.2.2.5.1):

$$\sigma_c \leq 0,60 f_{ck} = 0,60 \cdot 25 \text{ MPa} = 15 \text{ MPa} \quad \text{combinazione caratteristica (rara)}$$

$$\sigma_c \leq 0,45 f_{ck} = 0,45 \cdot 25 \text{ MPa} = 11,25 \text{ MPa} \quad \text{combinazione quasi permanente}$$

La tensione massima a compressione nelle condizioni di esercizio  $\sigma_{c,max,es}$  risulta (D.M. 9 gennaio 1996):

$$\sigma_{c,max,es} = 60 + \frac{R_{ck} - 150}{4} = 97,5 \frac{\text{kg}}{\text{cm}^2} = 9,75 \text{ MPa}$$

$$\sigma_{c,max,es^*} = 0,70 \cdot \sigma_{c,amm} = 68,25 \frac{\text{kg}}{\text{cm}^2} = 6,825 \text{ MPa} \quad \text{per spessori minori di 5 cm.}$$

Lo sforzo di taglio massimo per elementi privi di rinforzo a taglio  $\tau_{c0}$  risulta:

$$\tau_{c0} = 4 + \frac{R_{ck} - 150}{75} = 6 \frac{\text{kg}}{\text{cm}^2} = 0,6 \text{ MPa}$$

Lo sforzo di taglio massimo  $\tau_{c1}$  per la verifica di resistenza delle bielle compresse risulta:

$$\tau_{c1} = 14 + \frac{R_{ck} - 150}{35} = 18,3 \frac{\text{kg}}{\text{cm}^2} = 1,83 \text{ MPa}$$

### 1.6 Verifiche agli stati limite di esercizio

Gli stati limite di esercizio corrispondono a situazioni limite oltre il quale non sono soddisfatti i requisiti di esercizio prescritti, ovvero situazioni che comportano un deterioramento oppure la perdita di funzionalità della struttura.

Nel caso di strutture in calcestruzzo armato, generalmente, vanno eseguite le seguenti verifiche:

1. Verifica di deformabilità: deve essere congruente alla destinazione d'uso in quanto, le deformazioni, possono pregiudicare l'uso o danneggiare gli elementi non strutturali quali ad esempio i divisori;
2. Verifica di fessurazione: assicura la funzionalità e la durata della struttura; le fessure possono infatti influenzare negativamente sia l'aspetto che la durabilità dell'opera;
3. Verifica delle tensioni di esercizio: per evitare microfessurazioni ed elevata viscosità.

Per casi specifici si possono adottare anche altre verifiche, come ad esempio la verifica di vibrazione.

Considerando l'ipotesi di comportamento elastico dei materiali e trascurando la resistenza a trazione del calcestruzzo teso, le verifiche agli stati limite d'esercizio verranno svolte considerando i carichi permanenti sempre con il loro valore caratteristico. Per quanto riguarda i carichi variabili, si distinguono 3 combinazioni di carico differenti:

- Combinazione rara: generalmente si usa per gli stati limite ultimi irreversibili e tensioni ammissibili

$$1,00 G_1 + 1,00 G_2 + 1,00 Q \quad (1.1)$$

- Combinazione frequente: generalmente impiegata per gli stati limite di esercizio reversibili

$$1,00 G_1 + 1,00 G_2 + 0,5 Q \quad (1.2)$$

- Combinazione quasi permanente: generalmente impiegata per gli effetti a lungo termine

$$1,00 G_1 + 1,00 G_2 + 0,3 Q \quad (1.3)$$

### 1.7 Progettazione e verifica del pilastro P5

Si procede ora con la progettazione e la verifica del pilastro P5. In Figura 1.10 viene individuata con il colore rosso l'area d'influenza del pilastro oggetto di studio.

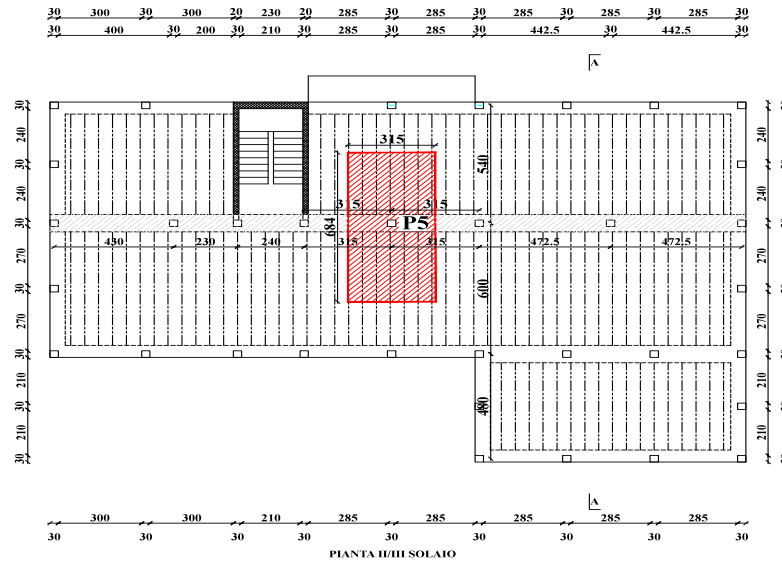


Figura 1.10: Pianta piano tipo – pilastro P5 (misure in cm)

Si consideri il solaio su 2 campate come illustrato nella Figura 1.11:

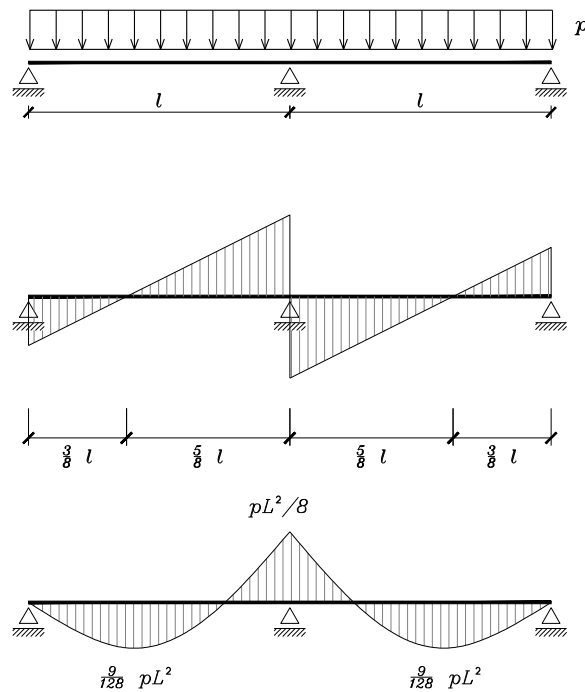


Figura 1.11: Grafici del taglio e del momento per un solaio a 2 campate

Il pilastro P5 è in posizione centrata, ad eccezione della sommità in cui si ha la presenza di una mensola tozza ad appoggio con trave di colmo in legno lamellare.

Il pilastro P5 presenta un'area d'influenza tra le maggiori:

considerando la direzione x, P5 si trova nelle campate interne della trave di spina (su di esso insiste il 50% circa del carico delle due campate); con riferimento alla direzione y, P5 costituisce un appoggio centrale del solaio, che è iperstatico su due campate (su di esso insiste il 60% circa del carico delle due campate);

$$A_{inf,P5} = (0,5 \cdot 3,15 + 0,5 \cdot 3,15) \cdot (0,6 \cdot 5,40 + 0,6 \cdot 6,00) = 3,15 \cdot 6,84 = 21,55 \text{ m}^2$$

Si pone particolare attenzione al fatto che questo valore è ben diverso da  $18 \text{ m}^2$  che avrei se avessi assunto come divisione dei carichi ovunque il 50%.

Si può verificare l' $A_{inf,P5}$  anche tramite le reazioni vincolari.

Al pilastro di bordo si potrebbe affidare un valore pari a 0,5 anziché 0,4 a favore di sicurezza.

### 1.7.1 Azioni sollecitanti pilastro P5

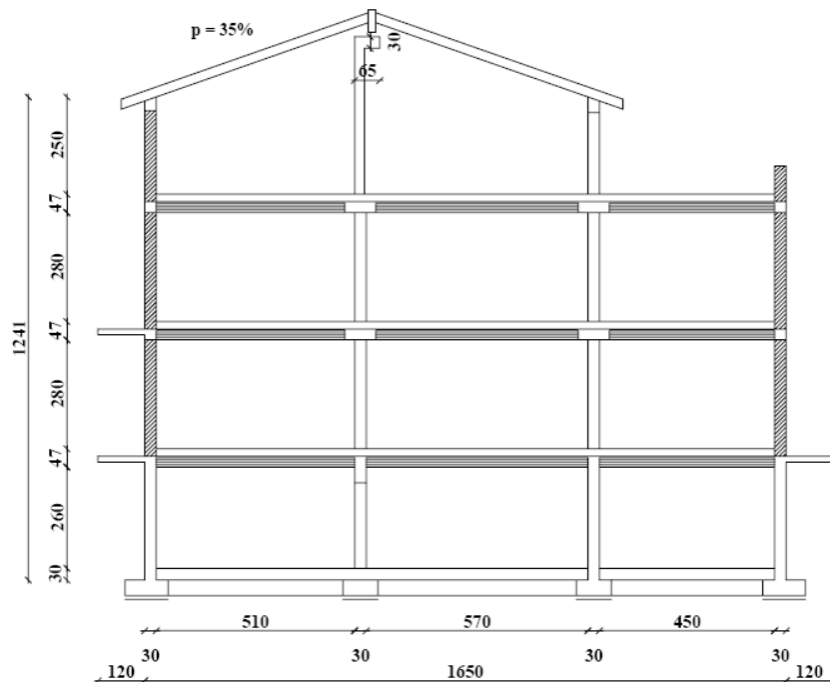


Figura 1.12: Sezione A-A dell'edificio

- Combinazioni di carico SLU:

$$N_{Ed} = (\gamma_{G1} \cdot G_1 + \gamma_{G2} \cdot G_2 + \gamma_Q \cdot Q) \cdot A_{inf} = (1,3 \cdot G_1 + 1,5 \cdot G_2 + 1,5 \cdot Q) \cdot A_{inf}$$

- Tetto (Piano Secondo):

$$G_1 = 0,35 \frac{\text{kN}}{\text{m}^2}$$

$$G_2 = 1,31 \frac{\text{kN}}{\text{m}^2}$$

$$Q = 1,20 \frac{\text{kN}}{\text{m}^2}$$



$$N_{Ed}^{II} = (\gamma_{G1} \cdot G1 + \gamma_{G2} \cdot G2 + \gamma_Q \cdot Q) \cdot A_{inf}$$

$$N_{Ed}^{II} = \left(1,3 \cdot 0,35 \frac{\text{kN}}{\text{m}^2} + 1,5 \cdot 1,31 \frac{\text{kN}}{\text{m}^2} + 1,5 \cdot 1,20 \frac{\text{kN}}{\text{m}^2}\right) \cdot 21,55 \text{ m}^2 = 90,94 \text{ kN}$$

Aggiungendo il Peso Proprio del pilastro e della trave (Peso Specifico calcestruzzo =  $25 \frac{\text{kN}}{\text{m}^3}$ )

$$PP_{pilastro} + PP_{trave} = \gamma_{G1} \cdot [(b_p \cdot h_p \cdot l_p) + (b_T \cdot h_T \cdot l_T)] \cdot \gamma_{cls}$$

$$PP_{tot} = 1,3 \cdot [(0,25 \cdot 0,25 \cdot 3,40) \text{m}^3 + (0,65 \cdot 0,30 \cdot 3,15) \text{m}^3] \cdot 25 \frac{\text{kN}}{\text{m}^3} = 26,87 \text{ kN}$$

Otteniamo una forza pari a:

$$N_{Ed}^{II} = 90,94 \text{ kN} + 26,87 \text{ kN} = 118 \text{ kN}$$

$$\text{- Per gli altri impalcati: } G_1 = 3,5 \cdot 1,1 = 3,85 \frac{\text{kN}}{\text{m}^2}; G_2 = 4,2 \frac{\text{kN}}{\text{m}^2}; Q = 2,0 \frac{\text{kN}}{\text{m}^2}$$

Il carico permanente portante  $G_1$  è stato incrementato del 10% per tenere conto del peso proprio del pilastro e dell'incremento del peso della trave.

$$N_{Ed}^I = N_{Ed}^{II} + (1,3 \cdot G_1 + 1,5 \cdot G_2 + 1,5 \cdot Q) \cdot A_{inf} = 118 + 308 = 426 \text{ kN}$$

$$N_{Ed}^0 = N_{Ed}^I + (1,3 \cdot G_1 + 1,5 \cdot G_2 + 1,5 \cdot Q) \cdot A_{inf} = 426 + 308 = 734 \text{ kN}$$

$$N_{Ed}^{-I} = N_{Ed}^0 + (1,3 \cdot G_1 + 1,5 \cdot G_2 + 1,5 \cdot Q) \cdot A_{inf} = 734 + 308 = 1042 \text{ kN}$$

Realizzando un confronto fra l'azione sollecitante allo SLU e allo SLE otterremo come risultato (considerando l'azione allo SLE calcolato considerando la combinazione rara):

$$N_{es} = (G_1 + G_2 + Q) \cdot A_{inf}$$

$N_{Ed}^{II} = 118 \text{ kN}$	$N_{es}^{II} = 82 \text{ kN}$	$N_{Ed}^{II}/N_{es}^{II} = 1,44$
$N_{Ed}^I = 426 \text{ kN}$	$N_{es}^I = 299 \text{ kN}$	$N_{Ed}^I/N_{es}^I = 1,43$
$N_{Ed}^0 = 734 \text{ kN}$	$N_{es}^0 = 516 \text{ kN}$	$N_{Ed}^0/N_{es}^0 = 1,42$
$N_{Ed}^{-I} = 1042 \text{ kN}$	$N_{es}^{-I} = 733 \text{ kN}$	$N_{Ed}^{-I}/N_{es}^{-I} = 1,42$

L'azione sollecitante allo SLU è circa 1,40÷1,45 volte quella classica di esercizio.

Esempio di calcolo:

$$N_{es}^{II} = (G_1 + G_2 + Q) \cdot A_{inf} + G_{1,pilastro} + G_{1,trave}$$

$$N_{es}^I = N_{es}^{II} + (G_1 + G_2 + Q) \cdot A_{inf}$$

Per cui avremo:

$$N_{es}^{II} = (0,35 + 1,31 + 1,2) \cdot 21,55 + 5,31 + 15,36 = 82,3 \text{ kN}$$

Ora calcoliamo il momento in sommità alla trave di colmo, dove è presente una forte eccentricità dovuta alla posizione della trave rispetto al pilastro.

Prima di tutto calcoliamo l'eccentricità:

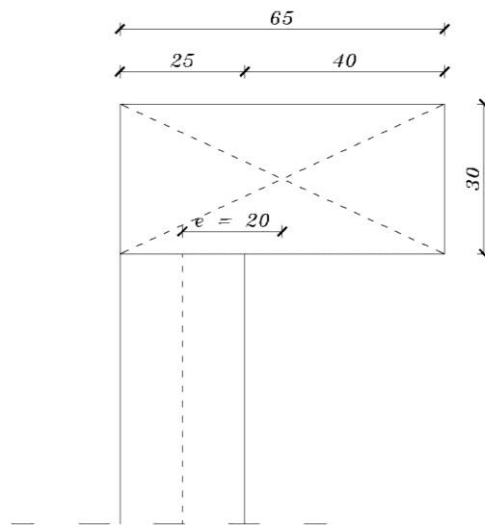


Figura 1.13: Particolare del colmo

$$e = \frac{b_T}{2} - \frac{b_P}{2} = \frac{65}{2} \text{ cm} - \frac{25}{2} \text{ cm} = 20 \text{ cm}$$

Ora calcoliamo il momento utilizzando il peso del tetto e il peso proprio della trave (solo della parte che di fatto genera un momento sul pilastro,  $b_T = 40 \text{ cm}$ ):

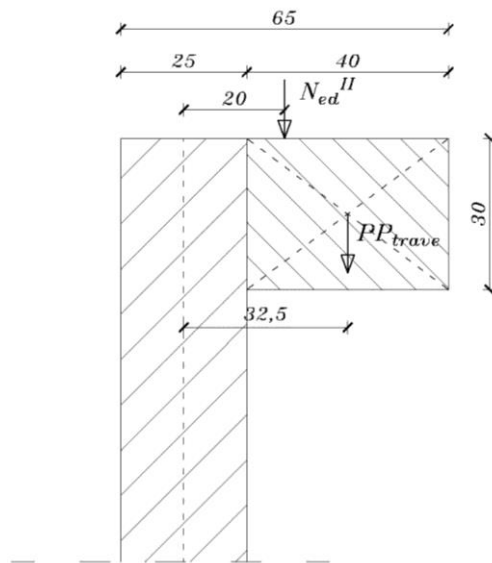


Figura 1.14: Particolare del colmo

$$M_{ed}^{II} = N_{ed}^{II} \cdot e + (\gamma_{G1} \cdot b_T \cdot h_T \cdot l_T \cdot PS_{cls}) \cdot \left( \frac{b_T}{2} + \frac{b_P}{2} \right)$$

$$\begin{aligned} M_{ed}^{II} &= 90,94 \text{ kN} \cdot 0,2 \text{ m} + \left( 1,3 \cdot 0,4 \text{ m} \cdot 0,3 \text{ m} \cdot 3,15 \text{ m} \cdot 25 \frac{\text{kN}}{\text{m}^3} \right) \cdot 0,325 \text{ m} = \\ &= 22,2 \text{ kN} \cdot \text{m} \end{aligned}$$

---

### 1.7.2 Dimensionamento del pilastro

- In esercizio, come si è sempre fatto:

$$A_{C,min} = \frac{N_{es}}{0,7 \cdot \sigma_{c,max,es} \cdot (1 + n \cdot 0,008)}$$

Note: Ridotto del 30% per tenere conto dell'importanza delle strutture verticali e si ipotizza un'armatura longitudinale pari al 0,8% dell'area di calcestruzzo.

- Allo SLU:

$$A_C = \frac{N_{ed}}{f_{cd}}$$

$$A_S \cong 0,008 \cdot A_C$$

Ricordando come nella NTC avremo:

$$A_S \geq 0,003 \cdot A_C$$

Invece nell'EC2 sarà:

$$A_S \cong 0,002 \cdot A_C$$

Prescrizioni e dettagli da seguire per il pilastro:

- Per essere considerato un pilastro bisogna mantenere il rapporto:

$$\frac{h}{b} \leq 4$$

- Le barre longitudinali dovranno rispettare le seguenti caratteristiche:

$$\phi_L \geq 12 \text{ mm} ;$$

$$i \leq 300 \text{ mm (una barra per spigolo)}$$

$$A_{S,min} = \frac{0,10 \cdot N_{Ed}}{f_{yd}} > 0,003 \cdot A_C \text{ (0,3\% di } A_C)$$

$$A_{S,max} = 0,04 \cdot A_C \text{ (e sarà } 0,08 \cdot A_C \text{ nel caso di zone di sovrapposizione)}$$
$$(4\% \leq A_{S,max} \leq 8\%)$$

- Le staffe saranno:

$$i \leq \min(12 \cdot \phi_{L,min} ; 250 \text{ mm}) ;$$

$$\phi \geq \max(6 \text{ mm} ; 1/4 \cdot \phi_{L,max})$$

### 1.7.3 Dimensionamento del pilastro P5 del piano primo e secondo

$$A_{C,1} = \frac{N_{ed}}{f_{cd}} = \frac{426 \cdot 10^3 \text{ N}}{14,2 \text{ MPa}} = 30000 \text{ mm}^2 = 300 \text{ cm}^2$$

Nota: Per evitare di avere un pilastro troppo snello con conseguente problema di instabilità si utilizza la misura minima di 25 cm per lato, cioè  $A_{C,min} = 25 \cdot 25 = 625 \text{ cm}^2$ .

$$A_S = 0,008 \cdot A_{C,1} = 0,008 \cdot 30000 \text{ mm}^2 = 240 \text{ mm}^2 = 2,4 \text{ cm}^2 \text{ cioè } 4 \cdot \phi 12$$

Staffe:  $\phi 6/150 \text{ mm}$

Rappresenta il classico pilastro di 25x25 cm di lato con 4 ferri longitudinali  $\phi 12$  e staffe  $\phi 6$  ogni 150 mm, anche se poi si utilizzano staffe  $\phi 8$ .

Nota: Le staffe vengono raddoppiate, cioè dimezzata la distanza tra loro, nelle zone di sovrapposizione delle barre verticali. Questa sovrapposizione in generale vale per  $50\phi_L$  o 1 m.

**1.7.4 Dimensionamento del pilastro P5 del piano P-I**

$$A_{C,-1} = \frac{N_{Ed}}{f_{cd}} = \frac{1042 \cdot 10^3 \text{ N}}{14,2 \text{ MPa}} = 73380 \text{ mm}^2 = 734 \text{ cm}^2$$

Il pilastro al piano P-I sarà quindi 30x30 cm

$$A_s = 0,008 \cdot A_{C,-1} = 587 \text{ mm}^2 = 5,87 \text{ cm}^2 \text{ cioè } 4\emptyset 16$$

Staffe:

$$i \leq \min(19,2 \text{ cm} ; 25 \text{ mm}) ;$$

$$\emptyset \geq \max(6 \text{ mm} ; 3 \text{ mm})$$

avremo:  $\emptyset 8/150 \text{ mm}$ .

Verifichiamo le aree minime e massime dell'acciaio:

$$A_{S,\min} = \frac{0,10 \cdot N_{Ed}}{f_{yd}} = \frac{0,10 \cdot 1042 \cdot 10^3 \text{ N}}{391 \text{ MPa}} = 266,5 \text{ mm}^2 < 0,003 \cdot A_c$$

$$\text{dove } 266,5 \text{ mm}^2 < 0,003 \cdot A_c = 0,003 \cdot 300 \cdot 300 \text{ mm}^2 = 270 \text{ mm}^2$$

$$A_{S,\max} = 0,04 \cdot A_c = 3600 \text{ mm}^2$$

(e sarà  $0,08 \cdot A_c$  nel caso di zone sovrapposte per cui avremo  $4\% \leq A_{S,\max} \leq 8\%$ )

Fino ad ora abbiamo predimensionato rispettando le prescrizioni normative, ma secondo le NTC bisogna tenere conto di eventuali imperfezioni, occorre allora considerare, anche in elementi semplicemente compressi, un'eccentricità accidentale (e).

- $e = \max(0,05 \cdot h ; 20 \text{ mm})$  con  $h \geq b$  (dimensione lato maggiore) e nel caso di pilastri con  $h \leq 400 \text{ cm}$  governa l'eccentricità accidentale di 20 mm.

Calcoleremo per ogni pilastro il momento a cui è soggetto perché generato dalla presenza dell'eccentricità accidentale:

$$M_{Ed} = N_{Ed} \cdot e$$

Producendo così una tabella che riassume in modo completo il pilastro P5 per ogni piano:

Pilastro P5	b[cm]	h[cm]	e[mm]	$N_{Ed}$ [kN]	$M_{Ed}$ [kN · m]	$A_s$	$A_s/A_c$
Piano II	25	25	20	118	22,2(2,4*)	4 $\emptyset$ 12	0,7%
Piano I	25	25	20	426	22,2(8,5*)	4 $\emptyset$ 12	0,7%
Piano 0	30	30	20	734	22,2(14,7*)	4 $\emptyset$ 16	0,9%
Piano-I	30	30	20	1042	22,2(21*)	4 $\emptyset$ 16	0,9%

\*Nota: Le eccentricità accidentali generano ovunque un momento minore di quello al colmo, per ciò utilizzeremo il momento eccentrico calcolato alla trave di colmo.

Tabella 1.6: Riassunto Pilastro P5

Con la presenza dell'eccentricità accidentale siamo tenuti ora a fare una verifica alla pressoflessione dei pilastri, utilizzando il programma VcaSlu del Professor Gelfi.

Verifica C.A. S.L.U. - File

File Materiali Opzioni Visualizza Progetto Sez. Rett. Sismica Normativa: NTC 2008 ?

**Titolo:** Esercitazione CA e CAP - Pilastro P5 - Piano II

N° strati barre 2 Zoom

N°	b [cm]	h [cm]
1	25	25

N°	As [cm²]	d [cm]
1	2,26	4
2	2,26	21

**Sollecitazioni**

S.L.U. Metodo n

N<sub>Ed</sub> 118 0 kN  
M<sub>xEd</sub> 22,2 0 kNm  
M<sub>yEd</sub> 0 0

**Materiali**

B450C C25/30

ε<sub>su</sub> 67,5 ‰ ε<sub>c2</sub> 2 ‰  
f<sub>yd</sub> 391,3 N/mm² ε<sub>cu</sub> 3,5 ‰  
E<sub>s</sub> 200.000 N/mm² f<sub>cd</sub> 14,17 ‰  
E<sub>s</sub>/E<sub>c</sub> 15 f<sub>cc</sub>/f<sub>cd</sub> 0,8 ?  
ε<sub>syd</sub> 1,957 ‰ σ<sub>c,adm</sub> 9,75  
σ<sub>s,adm</sub> 255 N/mm² τ<sub>co</sub> 0,6  
τ<sub>c1</sub> 1,829

**Tipo rottura**  
Lato calcestruzzo - Acciaio snervato

M<sub>xRd</sub> 27,74 kNm

σ<sub>c</sub> -14,17 N/mm²  
σ<sub>s</sub> 391,3 N/mm²  
ε<sub>c</sub> 3,5 ‰  
ε<sub>s</sub> 9,597 ‰  
d 21 cm  
x 5,612 x/d 0,2672  
δ 0,774

**Tipo Sezione**  
☒ Rettan.re ☐ Trapezi  
☐ a T ☐ Circolare  
☐ Rettangoli ☐ Coord.

**Metodo di calcolo**  
☒ S.L.U.+ ☐ S.L.U.-  
☐ Metodo n

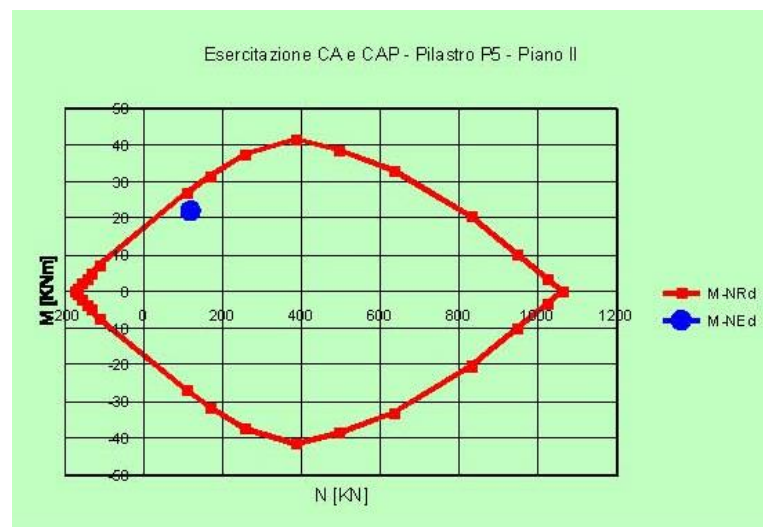
**Tipo flessione**  
☒ Retta ☐ Deviata

N° rett. 100

Calcola MRd Dominio M-N

o 0 cm Col. modello

☐ Precompresso



## 1. ESERCITAZIONE 1

Verifica C.A. S.L.U. - File

File Materiali Opzioni Visualizza Progetto Sez. Rett. Sismica Normativa: NTC 2008 ?

**Titolo :** Esercitazione CA e CAP - Pilastro P5 - Piano I

N° strati barre  Zoom

N°	b [cm]	h [cm]
1	25	25

N°	As [cm²]	d [cm]
1	3,08	4
2	3,08	21

**Sollecitazioni**

S.L.U. Metodo n

N<sub>Ed</sub>  0 kN  
M<sub>xEd</sub>  0 kNm  
M<sub>yEd</sub>  0

**Materiali**

B450C C25/30

$\epsilon_{su}$   ‰  $\epsilon_{c2}$   ‰  
 $f_{yd}$   N/mm²  $\epsilon_{cu}$   ‰  
 $E_s$   N/mm²  $f_{cd}$   N/mm²  
 $E_s/E_c$    $f_{cc}/f_{cd}$   ?  
 $\epsilon_{syd}$   ‰  $\sigma_{c,adm}$   N/mm²  
 $\sigma_{s,adm}$   N/mm²  $\tau_{co}$   N/mm²  
 $\tau_{c1}$   N/mm²

**Tipi di rottura**

Lato calcestruzzo - Acciaio elastico

M<sub>xRd</sub>  kNm

$\sigma_c$   N/mm²  
 $\sigma_s$   N/mm²  
 $\epsilon_c$   ‰  
 $\epsilon_s$   ‰  
d  cm  
x  x/d   
 $\delta$

**Metodo di calcolo**

☒ S.L.U.+ ☐ S.L.U.- ☐ Metodo n

**Tipi di flessione**

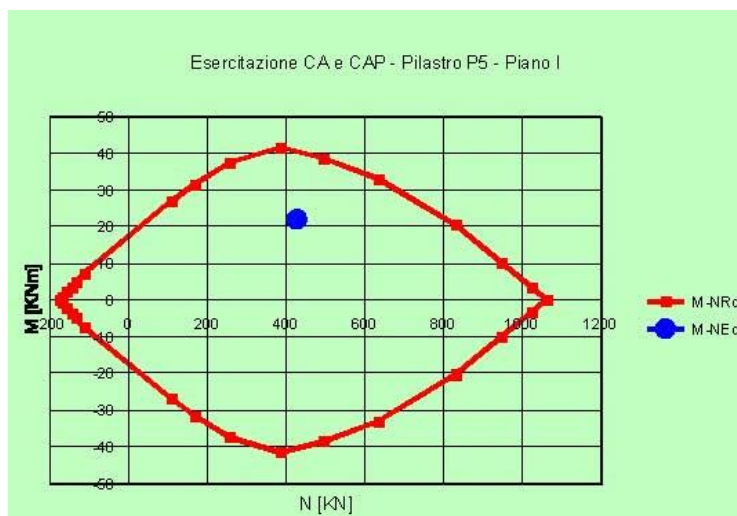
☒ Retta ☐ Deviata

N° rett.

Calcola MRd Dominio M-N

o  cm Col. modello

☐ Precompresso



**Titolo:** Esercitazione CA e CAP - Pilastro P5 - Piano 0

N° figure elementari  Zoom  Zoom

N°	b [cm]	h [cm]
1	30	30

N°	As [cm²]	d [cm]
1	4,02	4
2	4,02	26

**Sollecitazioni**

S.L.U. ☒ Metodo n ☐

N<sub>Ed</sub>  0 kN

M<sub>xEd</sub>  0 kNm

M<sub>yEd</sub>  0

**P.to applicazione N**

☒ Centro ☐ Baricentro cls

☐ Coord.[cm] xN  yN

**Tipo rottura**

Lato calcestruzzo - Acciaio elastico

**Metodo di calcolo**

☒ S.L.U. + ☐ S.L.U. - ☐ Metodo n

**Tipo flessione**

☒ Retta ☐ Devia

N° rett.

Calcola MRd

L<sub>0</sub>  cm Col. modello

**Materiali**

B450C C25/30

$\epsilon_{su}$   ‰  $\epsilon_{c2}$   ‰

$f_{yd}$   N/mm²  $\epsilon_{cu}$   ‰

$E_s$   N/mm²  $f_{cd}$   ‰

$E_s/E_c$    $f_{sc}/f_{cd}$   ‰

$\epsilon_{syd}$   ‰  $\sigma_{s,adm}$   ‰

$\sigma_{s,adm}$   N/mm²  $\tau_{co}$   ‰

$\tau_{c1}$   ‰

M<sub>xRd</sub>  kNm

$\sigma_c$   N/mm²

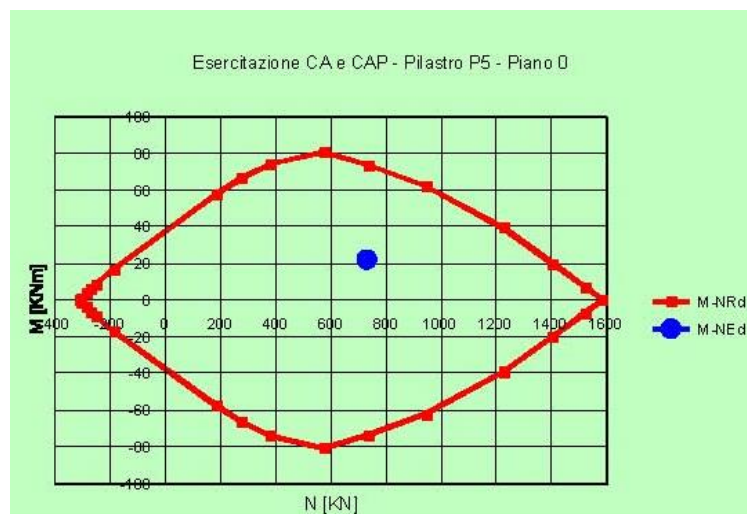
$\sigma_s$   N/mm²

$\epsilon_c$   ‰

$\epsilon_s$   ‰

d  cm

x  x/d   $\delta$



## 1. ESERCITAZIONE 1

**Titolo:** Esercitazione CA e CAP - Pilastro P5 - Piano -I

N° figure elementari  Zoom N° strati barre  Zoom

N°	b [cm]	h [cm]
1	30	30

N°	As [cm²]	d [cm]
1	4,02	4
2	4,02	26

**Tipo Sezione**  
☒ Rettan.re ☐ Trapezi  
☐ a T ☐ Circolare  
☐ Rettangoli ☐ Coord.

**Sollecitazioni**  
 S.L.U. ☒ Metodo n ☐  
 N<sub>Ed</sub>  kN  
 M<sub>xEd</sub>  kNm  
 M<sub>yEd</sub>  kNm

**P.to applicazione N**  
☒ Centro ☐ Baricentro cls  
☐ Coord.[cm] xN  yN

**Tipo rottura**  
 Lato calcestruzzo - Acciaio elastico

**Metodo di calcolo**  
☒ S.L.U. + ☐ S.L.U. -  
☐ Metodo n

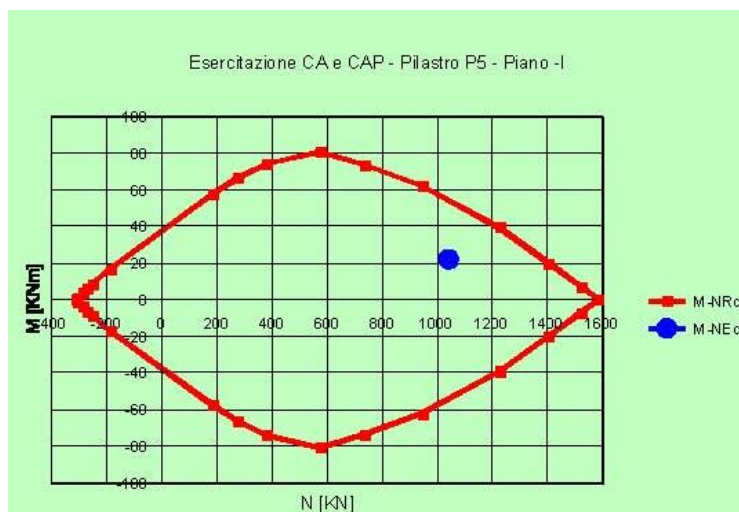
**Tipo flessione**  
☒ Retta ☐ Deviata

**Materiali**  
 B450C C25/30  
 $\epsilon_{su}$  67,5 ‰  $\epsilon_{c2}$  2 ‰  
 $f_{yd}$  391,3 N/mm²  $\epsilon_{cu}$  3,5 ‰  
 $E_s$  200.000 N/mm²  $f_{cd}$  14,17 N/mm²  
 $E_s/E_c$  15  $f_{sc}/f_{cd}$  0,8 ?  
 $\epsilon_{syd}$  1,957 ‰  $\sigma_{s,adm}$  9,75 N/mm²  
 $\sigma_{s,adm}$  255 N/mm²  $\tau_{co}$  0,6  
 $\tau_{c1}$  1,829

M<sub>xRd</sub>  kNm  
 $\sigma_s$   N/mm²  
 $\sigma_s$   N/mm²  
 $\epsilon_c$  3,5 ‰  
 $\epsilon_s$  0,03013 ‰  
 d 26 cm  
 $x$  25,78  $x/d$  0,9915  
 $\delta$  1

N° rett.   
 Calcola MRd Dominio M-N  
 L<sub>0</sub>  cm Col. modello

☐ Precompresso





## 1.8 Verifica di stabilità

### 1.8.1 Verifica globale di stabilità

La verifica di stabilità globale viene svolta sia in direzione x che in direzione y in quanto, nella sismica, si valuta il sisma in entrambe le direzioni.

1) Effetti globali (effetti del secondo ordine) (NTC 4.1, 2.1, 7.2)

Possono essere trascurati se :

$$P_{Ed} \leq 0,31 \cdot \frac{n}{n+1,6} \cdot \frac{\Sigma E_{cd} \cdot I_c}{L^2}$$

$P_{Ed}$ : Carico verticale totale valutato allo SLU

$n$ : Numero di piani

$L$ : Altezza edificio sopra l'incastro globale ipotizzato

$E_{cd} = E_{cm} / \gamma_{ce}$  con  $\gamma_{ce} = 1,2$

$I_c$ : Momento d'inerzia della sezione di calcestruzzo degli elementi di controvento, ipotizzata interamente reagente (in via cautelativa si considera solo il contributo baricentrico).

Calcolo approssimativo del carico  $P_{Ed}$ :

$$A_{copertura} = A_{cop} = 328,5 \text{ m}^2$$

$$A_{piano\ tipo} = A_p = 340,5 \text{ m}^2 + 7,2 \text{ m}^2 (\text{balcone})$$

Peso della copertura:  $N_{Ed,cop} = (1,3 \cdot G_1 + 1,5 \cdot G_2 + 1,5 \cdot Q) \cdot A_{cop}$

$$N_{Ed,cop} = (1,3 \cdot 0,35 + 1,5 \cdot 1,31 + 1,5 \cdot 1,2) \cdot 328,5 \text{ m}^2 = 1386 \text{ kN}$$

Peso del piano tipo:  $N_{Ed,p} = (1,3 \cdot G_1 + 1,5 \cdot G_2 + 1,5 \cdot Q) \cdot A_p$

$$N_{Ed,p} = (1,3 \cdot 3,5 + 1,5 \cdot 4,2 + 1,5 \cdot 2) \cdot 347,7 \text{ m}^2 = 4816 \text{ kN}$$

Peso del tamponamento:  $N_{tamp} = (\text{Peso Lineare} \cdot \text{Incidenza aperture} \cdot \text{Perimetro}) \cdot \gamma_{G1}$

$$N_{tamp} = \left( 10 \frac{\text{kN}}{\text{m}} \cdot 0,7 \cdot 83,4 \text{ m} \right) \cdot 1,3 = 584 \text{ kN} \cdot 1,3 = 759 \text{ kN per piano}$$

Setti orizzontali: ipotizzo 6 setti di lunghezza 3 m (da verificare in seguito), di cui 3 all'interno delle tamponature, e valuto cautelativamente l'incastro dell'edificio in corrispondenza del piano terra. ( $L=9,26 \text{ m}$ )

$$N_{setti\ x} = (\gamma_{cls} \cdot t \cdot h \cdot L) \cdot \gamma_{G1}$$

$$N_{setti\ x} = \left( 25 \frac{\text{kN}}{\text{m}^3} \cdot 0,3 \text{ m} \cdot 9,26 \text{ m} \cdot 9 \text{ m} \right) \cdot 1,3 = 625 \text{ kN} \cdot 1,3 = 813 \text{ kN}$$

Setti verticali con vano ascensore:

Ipotizzo una lunghezza  $L=10,8 \text{ m} + 9 \text{ m} = 19,8 \text{ m}$  dato dalla somma del vano ascensore con l'altezza dell'edificio.

$$N_{setti\ y} = (\gamma_{cls} \cdot t \cdot h \cdot L) \cdot \gamma_{G1}$$

$$N_{setti\ y} = \left( 25 \frac{\text{kN}}{\text{m}^3} \cdot 0,3 \text{ m} \cdot 9,26 \text{ m} \cdot 19,8 \text{ m} \right) \cdot 1,3 = 1375 \text{ kN} \cdot 1,3 = 1788 \text{ kN}$$

Pilastrini:

Presentano un'altezza media di  $H_{media} = \frac{H_{colmo} + H_{min}}{2} = \frac{14,65 \text{ m} + 12,41 \text{ m}}{2} = 13,53 \text{ m}$ , ipotizzando che abbiano una sezione media di  $30 \cdot 30 \text{ cm}^2$  e un numero totale di 32 pilastrini ( $n_{pilastrini}$ ).

$$N_{pilastrini} = (b \cdot b \cdot \gamma_{cls} \cdot H_{media} \cdot n_{pilastrini}) \cdot \gamma_{G1}$$

$$N_{pilastrini} = \left( 0,3 \text{ m} \cdot 0,3 \text{ m} \cdot 25 \frac{\text{kN}}{\text{m}^3} \cdot 13,53 \text{ m} \cdot 32 \right) \cdot 1,3 = 974 \text{ kN} \cdot 1,3 = 1266 \text{ kN}$$

Interrato:

$$N_{interrato} = (\gamma_{cls} \cdot t \cdot h \cdot \text{Perimetro}) \cdot \gamma_{G1}$$
$$N_{interrato} = \left( 25 \frac{kN}{m^3} \cdot 0,3 m \cdot 3,15 m \cdot 83,4 m \right) \cdot 1,3 = 1970 kN \cdot 1,3 = 2561 kN$$

Il peso complessivo (approssimativo) dell'edificio risulta quindi:

$P_{ed}$ : E' il carico totale su elementi controventati e di controvento.

$$P_{ed,slu} = N_{ed,cop} + 3 \cdot N_{ed,p} + 2,5 \cdot N_{tamp} + N_{pilastr} + N_{interrato} + N_{setti\ oriz} + N_{setti\ vert}$$
$$P_{ed,slu} = 1386 + 3 \cdot 4816 + 2,5 \cdot 759 + 1266 + 2561 + 813 + 1788 = 24160 kN$$

Calcolo della rigidezza laterale offerta dai soli setti in direzione x:

$$I_{c,i} = \frac{1}{12} \cdot t \cdot h^3 = \frac{1}{12} \cdot 0,3 m \cdot 3^3 m^3 = 0,675 m^4$$
$$E_{cd} = \frac{E_{cm}}{1,2} = \frac{31500}{12} = 26250 MPa$$
$$P_{ed} \leq 0,31 \cdot \frac{n}{n+1,6} \cdot \frac{\Sigma E_{cd} \cdot I_c}{L^2}$$
$$P_{ed} \leq 0,31 \cdot \frac{3}{3+1,6} \cdot \frac{26250 MPa \cdot (6 \cdot 0,675) \cdot 10^{12} mm^4}{92,60^2 mm^2} = 251000 kN$$
$$P_{ed} = 24160 \ll 251000 kN \quad \textbf{VERIFICATO!}$$

La verifica risulta soddisfatta.

Operando nella stessa maniera, svolgo la verifica anche in direzione y.

### 1.8.2 Stabilità del singolo pilastro

Procedendo col metodo classico presente nella vecchia normativa si avrà:

$\lambda < 50$  con  $\lambda = \frac{l_0}{i}$  e  $i = \sqrt{\frac{J_{id}}{A_{id}}} \approx \frac{h}{\sqrt{12}}$  per pilastri a sezione quadrata (dove h rappresenta il lato del pilastro).  $l_0$  rappresenta la luce di libera inflessione e sono da utilizzare quelli degli schemi statici presenti nell'EC2.

Con il nuovo metodo proposto dalle NTC 08 ho una verifica più stringente, quindi, nella maggior parte dei casi, dovrò tener conto dell'instabilità.

Considero una  $\lambda < \lambda_{lim} = 15,4 \cdot \frac{c}{\sqrt{v}}$  con  $v = \frac{N_{ed}}{A_{cf} f_{cd}}$  (azione assiale adimensionale) e

$c = 1,7 - r_m$  ( $0,7 \leq c \leq 2,7$ ) in cui  $r_m = \frac{M_{01}}{M_{02}}$  è il rapporto tra i momenti flettenti del I ordine alle due estremità del pilastro: sarà positivo se i momenti sono discordi (cioè generano una trazione nelle fibre situate sul medesimo lembo delle sezioni trasversali). Un metodo semplificativo per lo studio dell'instabilità è il metodo della colonna modello; si utilizza considerando la singola colonna con sezione costante. Questo metodo tiene conto degli effetti al secondo ordine, cioè del momento generato dalla configurazione deformata. La scelta della luce di libera inflessione è a discrezione del progettista, tenendo in considerazione le caratteristiche dell'edificio ma non dimenticando tutte le nozioni della teoria di Eulero.

### 1.8.3 Stabilità del pilastro P5 al Piano II

$P_l = 118 \text{ kN}$  di sezione  $25 \times 25 \text{ cm}^2$  con momento alle due estremità discorde ed uguale in valore, per cui sarà  $r_m = 1$  (sarà  $r_m = 1$  anche per telai a nodi fissi nei quali i momenti del primo ordine sono solo 0 in massima parte generati da imperfezioni o carichi trasversali, anche per telai a nodi mobili).

Azione assiale adimensionale:  $r_m = 1$ ;  $c = 0,7$ ;  $v = \frac{N_{ed}}{A_{cf} f_{cd}} = \frac{118000 \text{ N}}{250^2 \text{ mm}^2 \cdot 14,2 \text{ MPa}} = 0,133$  (valore alto!);

Luce di libera inflessione:  $l_0 = 6,80 \text{ m}$  considerando  $l_0 = 2 \cdot l$ ;

Raggio d'inerzia:  $i = \frac{h}{\sqrt{12}} = 72,2 \text{ mm}$ ;

Snellenza:  $\lambda = \frac{l_0}{i} = \frac{6800 \text{ mm}}{72,2 \text{ mm}} = 94,18$ ;

Snellenza limite:  $\lambda_{lim} = 15,4 \cdot \frac{c}{\sqrt{v}} = 15,4 \cdot \frac{0,7}{\sqrt{0,133}} = 29,56$ ;  
 $\lambda > \lambda_{lim}$

Il controllo della snellenza non risulta verificato; devo quindi considerare gli effetti al II ordine. Come precedentemente accennato, il metodo più semplice per la colonna singola, è il metodo della colonna modello:

- Sezione più sollecitata alla base;
- Geometria della trave costante;
- Si traccia il diagramma M - curvatura ( $\frac{1}{r}$ ) per N fissato ( $M_{int}$ );
- Si traccia l'andamento del  $M_{esterno}$  applicato ( $M_{I \text{ ordine}}$ );

Se  $M_{est} < M_{int}$  abbiamo che l'equilibrio è stabile.

Come si evince dalla Figura 1.15 tale condizione non è rispettata: sarà quindi necessario intervenire sulla sezione per far in modo che essa sia verificata.

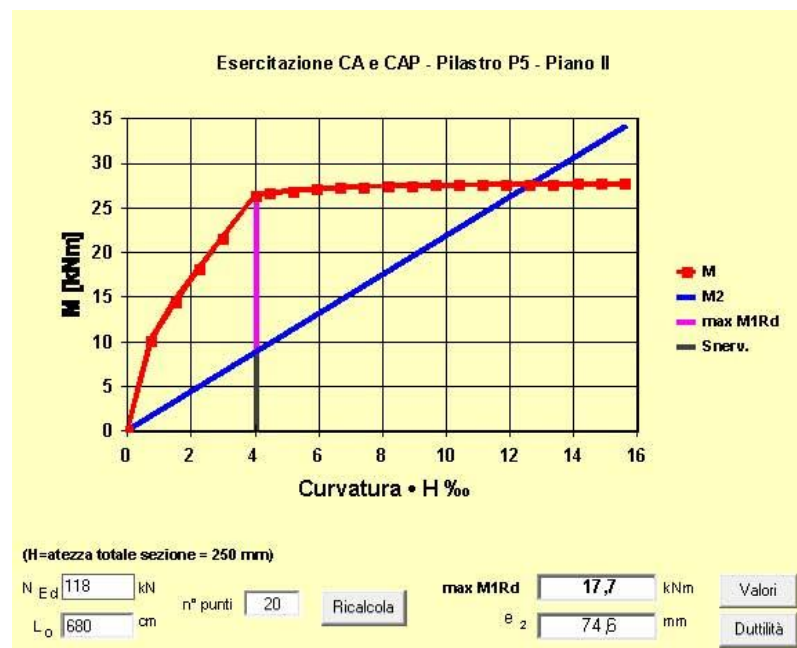


Figura 1.15 – Colonna modello per P5 piano II

## 1. ESERCITAZIONE 1

La curva M2 rappresenta il momento del secondo ordine (esterno) che deve essere sottratto dal massimo momento resistente (curva M); il valore Max M1Rd costituisce la risorsa di momento disponibile per resistere al momento esterno del primo ordine. Tale valore è superiore al valore sollecitante  $M_{Ed} = 22,2 \text{ kN} \cdot \text{m}$ .

A questo punto ricalcoliamo le sollecitazioni resistenti al piano II, sostituendo i 4Ø12 con 4Ø14, in modo tale da evitare l'instabilità rispettando il metodo della colonna modello.

**Titolo:** Esercitazione CA e CAP - Pilastro P5 - Piano II

N° figure elementari: 1 Zoom N° strati barre: 2 Zoom

N°	b [cm]	h [cm]
1	25	25

N°	As [cm²]	d [cm]
1	3,08	4
2	3,08	21

**Tipo Sezione**  
☒ Rettan.re ☐ Trapezi  
☐ a T ☐ Circolare  
☐ Rettangoli ☐ Coord.

**Sollecitazioni**  
 S.L.U. Metodo n  
 N<sub>Ed</sub> 118 0 kN  
 M<sub>xEd</sub> 22,2 0 kNm  
 M<sub>yEd</sub> 0 0

**P.to applicazione N**  
☒ Centro ☐ Baricentro cls  
☐ Coord.[cm] xN 0 yN 0

**Tipo rottura**  
 Lato calcestruzzo - Acciaio snervato

**Materiali**  
**B450C** **C25/30**  
 ε<sub>su</sub> 67,5 ‰ ε<sub>c2</sub> 2 ‰  
 f<sub>yd</sub> 391,3 N/mm² ε<sub>cu</sub> 3,5 ‰  
 E<sub>s</sub> 200.000 N/mm² f<sub>cd</sub> 14,17 ‰  
 E<sub>s</sub>/E<sub>c</sub> 15 f<sub>cd</sub>/f<sub>cd</sub> 0,8  
 ε<sub>syd</sub> 1,957 ‰ σ<sub>s,adm</sub> 9,75  
 σ<sub>s,adm</sub> 255 N/mm² τ<sub>co</sub> 0,6  
 τ<sub>c1</sub> 1,829

**Metodo di calcolo**  
☒ S.L.U. + ☐ S.L.U. -  
☐ Metodo n

**Tipo flessione**  
☒ Retta ☐ Deviata

N° rett. 100

Calcola MRd Dominio M-N

L<sub>0</sub> 680 cm Col. modello

☐ Precompresso

M<sub>xRd</sub> 33,13 kNm  
 σ<sub>x</sub> -14,17 N/mm²  
 σ<sub>s</sub> 391,3 N/mm²  
 σ<sub>c</sub> 3,5 ‰  
 σ<sub>s</sub> 8,964 ‰  
 d 21 cm  
 x 5,897 x/d 0,2808  
 δ 0,791

Come si può notare in Figura 1.16, riusciamo ad evitare l'instabilità dell'elemento, ottenendo un momento resistente superiore, anche se di poco, a quello sollecitante.

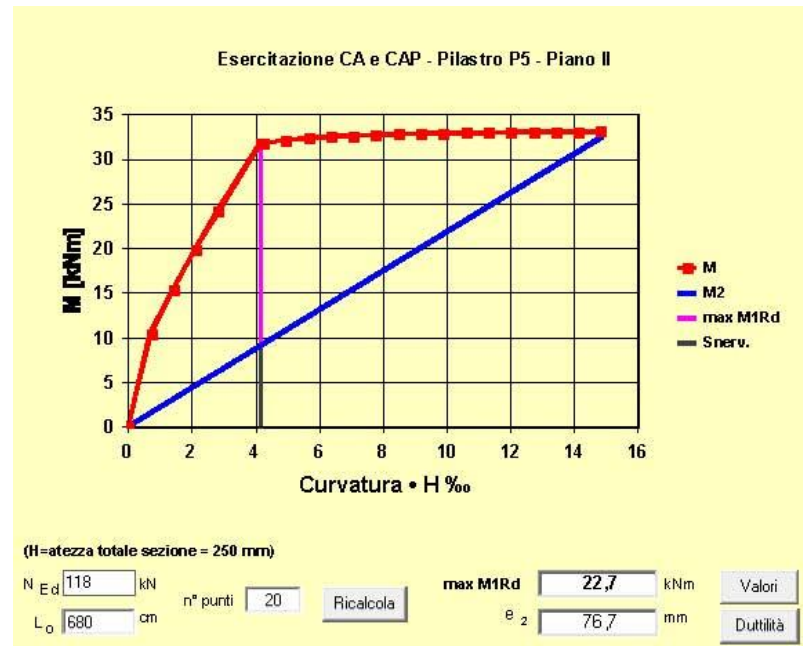


Figura 1.16 – Colonna modello per P5 piano II

#### 1.8.4 Stabilità del pilastro P5 al Piano I

$P_l = 426 \text{ kN}$  di sezione  $25 \times 25 \text{ cm}^2$  con momento alle due estremità discorde ed uguale in valore, per cui sarà  $r_m = 1$  (sarà  $r_m = 1$  anche per telai a nodi fissi nei quali i momenti del primo ordine sono solo 0 in massima parte generati da imperfezioni o carichi trasversali, anche per telai a nodi mobili)

Azione assiale adimensionale:  $r_m = 1$ ;  $c = 0,7$ ;  $v = \frac{N_{ed}}{A_c f_{cd}} = \frac{418000 \text{ N}}{250^2 \text{ mm}^2 \cdot 14,2 \text{ MPa}} = 0,47$  (valore medio – alto!);

Luce di libera inflessione:  $l_0 = 3,27 \text{ m}$  considerando  $l_0 = l$ ;

Raggio d'inerzia:  $i = \frac{h}{\sqrt{12}} = 72,2 \text{ mm}$ ;

Snellezza:  $\lambda = \frac{l_0}{i} = \frac{3270 \text{ mm}}{72,2 \text{ mm}} = 45,3$ ;

Snellezza limite:  $\lambda_{lim} = 15,4 \cdot \frac{c}{\sqrt{v}} = 15,4 \cdot \frac{0,7}{\sqrt{0,47}} = 15,72$   
 $\lambda > \lambda_{lim}$

Il controllo della snellezza non risulta verificato quindi devo considerare gli effetti al secondo ordine. Procedendo come visto in precedenza si nota come il pilastro viene verificato (Figura 1.17).

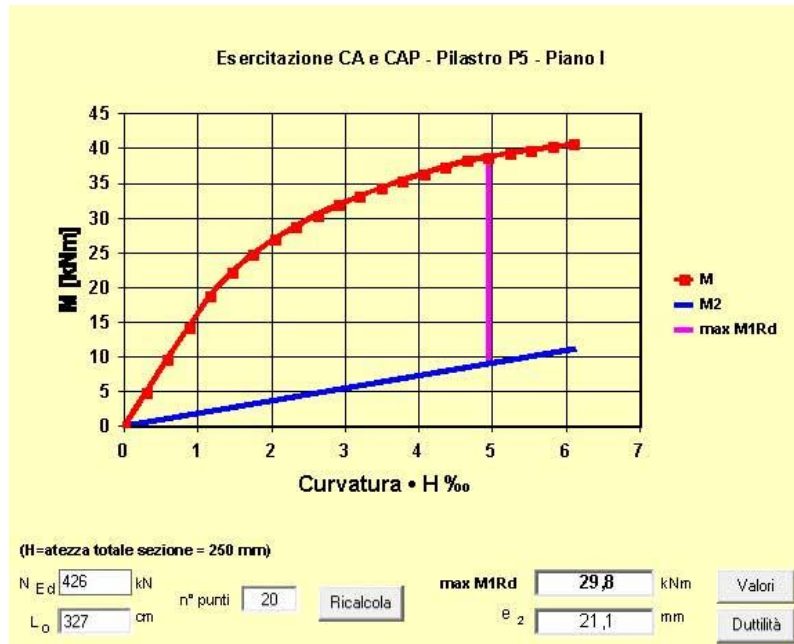


Figura 1.17 – Colonna modello per P5 piano I

### 1.8.5 Stabilità del pilastro P5 al Piano -I

$P_l = 1042 \text{ kN}$  di sezione  $30 \times 30 \text{ cm}^2$  con momento alle due estremità discorde ed uguale in valore, per cui sarà  $r_m = 1$ .

Azione assiale adimensionale:  $r_m = 1$ ;  $c = 0,7$ ;  $v = \frac{N_{ed}}{A_c f_{cd}} = \frac{1042000 \text{ N}}{300^2 \text{ mm}^2 \cdot 14,2 \text{ MPa}} = 0,82$ ;

Luce di libera inflessione:  $l_0 = 3,15 \text{ m}$  considerando  $l_0 = l$ ;

Raggio d'inerzia:  $i = \frac{h}{\sqrt{12}} = 86,6 \text{ mm}$ ;

Snellezza:  $\lambda = \frac{l_0}{i} = \frac{3150 \text{ mm}}{86,6 \text{ mm}} = 36,4$ ;

Snellezza limite:  $\lambda_{lim} = 15,4 \cdot \frac{c}{\sqrt{v}} = 15,4 \cdot \frac{0,7}{\sqrt{0,81}} = 12,0$   
 $\lambda > \lambda_{lim}$

Il controllo della snellezza non risulta verificato quindi devo considerare gli effetti al secondo ordine. Come nel caso precedente, si nota che la verifica è soddisfatta (Figura 1.18).

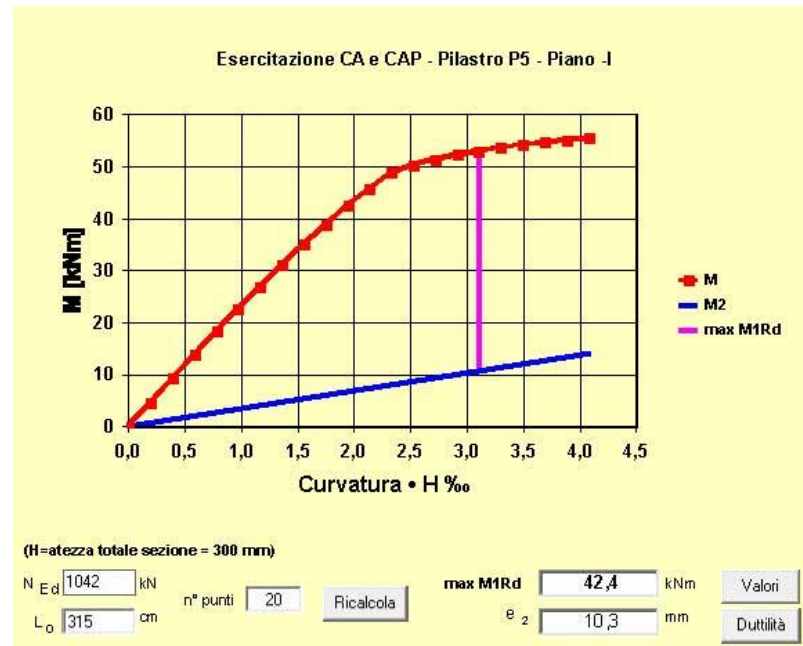


Figura 1.18 – Colonna modello per P5 piano -I

In conclusione, dopo aver rispettato tutte le verifiche necessarie, viene riportata la tabella con gli effettivi ferri che verranno impiegati per il pilastro P5:

Pilastro P5	b[cm]	h[cm]	e[mm]	$N_{ed}$ [kN]	$M_{ed}$ [kN · m]	$A_s$	$A_s/A_c$
Piano II	25	25	20	118	22,2(2,4*)	4Ø14	0,98%
Piano I	25	25	20	426	22,2(8,5*)	4Ø14	0,98%
Piano 0	30	30	20	734	22,2(14,7*)	4Ø16	0,9%
Piano -I	30	30	20	1042	22,2(21*)	4Ø16	0,9%

Tabella 1.7: Tabella riassuntiva dell'armatura e delle principali sollecitazioni del pilastro P5

## 1.9 Esempio di costruzione del diagramma M-N per un pilastro in CA

Consideriamo il pilastro P5 al piano P-I

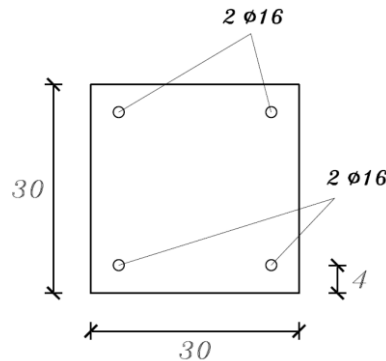


Figura 1.19 – Sezione pilastro P5 piano P-1

I materiali utilizzati sono:

Calcestruzzo: C25/30 per il quale si ha  $f_{cd} = 14,2 \text{ MPa}$

Acciaio: B450C per il quale si ha uno snervamento pari al valore  $f_{yd} = 391,3 \text{ MPa}$

Si ricorda inoltre che per il pilastro P5 al piano P-1 si ha:

$$A_{\phi 16} = 2,01 \text{ cm}^2$$

$$N_{Ed} = 1034 \text{ KN}$$

$$M_{Ed} = 25 \text{ KNm}$$

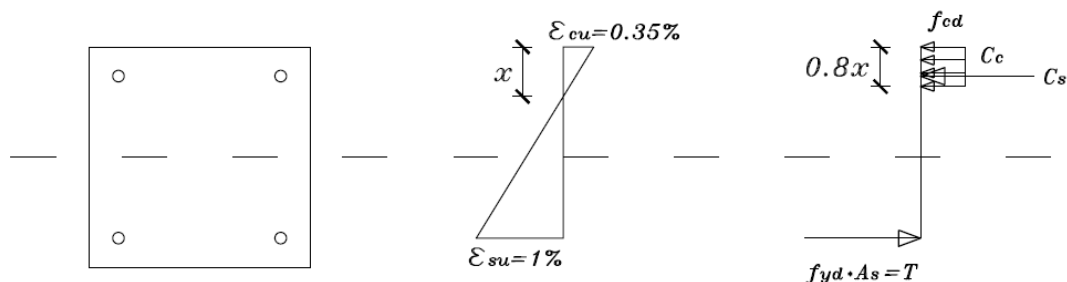
Per la costruzione del diagramma M-N, si va a considerare per il calcestruzzo lo stress block ed una deformazione ultima a compressione pari a  $\varepsilon_{cu} = 0,35 \%$ , mentre, per l'acciaio, si considera un comportamento elastico-perfettamente plastico con una deformazione ultima convenzionale pari a  $\varepsilon_{su} = 1 \%$ .

Andando a considerare questi valori, con semplici equilibri, riesco a determinare dove sta avvenendo la rottura e a quanto stanno lavorando i materiali.

### 1.9.1 Determinazione di tre punti del dominio M-N

1. Contemporanea rottura: il calcestruzzo ha raggiunto la deformazione ultima e l'acciaio ha raggiunto la rottura convenzionale.

Nelle ipotesi di sezioni piane, vado a considerare le deformazioni sulla sezione.



Il primo passo è la determinazione dell'asse neutro:

$$x = \frac{\varepsilon_{cu}}{\varepsilon_{cu} + \varepsilon_{su}} \cdot d = \frac{0,35}{0,35 + 1} \cdot 26 \text{ cm} = 6,74 \text{ cm}$$



Calcoliamo poi la risultante compressioni nel calcestruzzo:

$$C_c = 0,8 \cdot x \cdot b \cdot f_{cd} = 0,8 \cdot 67,4 \text{ mm} \cdot 300 \text{ mm} \cdot \frac{14,2 \text{ MPa}}{1000} = 229,7 \text{ kN}$$

Valutiamo la deformazione dell'armatura compressa:

$$\varepsilon'_s = \frac{\varepsilon_{cu}}{x} \cdot (x - d') = \frac{0,0035}{67,4 \text{ mm}} \cdot (67,4 - 40) \text{ mm} = 0,0014 = 0,14\%$$

quindi:

$$\varepsilon'_s < \varepsilon_{sy} = \frac{391,3 \text{ MPa}}{200000 \text{ MPa}} = 0,00195 = 0,195\%$$

$$f_{sc} = \varepsilon'_s \cdot E = 0,0014 \cdot 200000 \text{ MPa} = 280 \text{ MPa}$$

La risultante dell'armatura compressa è:

$$C_s = f_{sc} \cdot A'_s = 280 \text{ MPa} \cdot 402 \text{ mm}^2 = 112,5 \text{ kN}$$

La risultante dell'armatura tesa è:

$$T = f_{yd} \cdot A_s = 391,3 \text{ MPa} \cdot 402 \text{ mm}^2 = 157,3 \text{ kN}$$

Trovate le 3 risultanti, mi metto nel baricentro della sezione e faccio la sommatoria delle forze orizzontali; l'azione assiale risultante (di compressione) vale:

$$C_c + C_s - T = (229,7 + 112,5 - 157,3) \text{ kN} = 184,9 \text{ kN}$$

Il momento rispetto all'asse baricentrico è:

$$\begin{aligned} M &= C_c \cdot \left(\frac{h}{2} - 0,4 \cdot x\right) + C_s \cdot \left(\frac{h}{2} - d'\right) + T \cdot \left(\frac{h}{2} - d'\right) \\ &= 229,7 \text{ kN} \cdot (150 - 0,4 \cdot 67,4) \text{ mm} + 112,5 \text{ kN} \cdot (150 - 40) \text{ mm} \\ &\quad + 157,3 \text{ kN} \cdot (150 - 40) \text{ mm} = 57,9 \text{ kNm} \end{aligned}$$

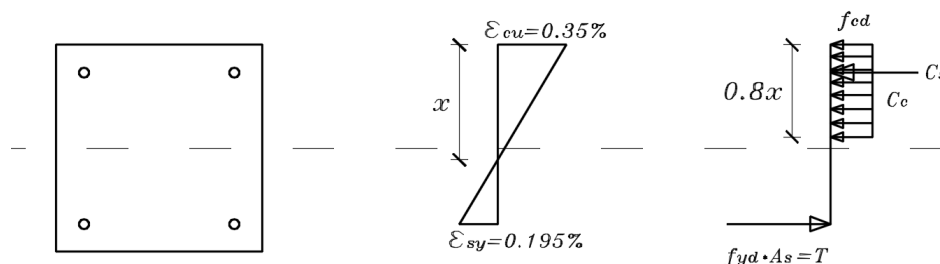
Quindi in contemporanea rottura ho trovato:

$$N = 184,9 \text{ kN}$$

$$M = 57,9 \text{ kNm}$$

Questi valori corrispondono al primo punto sul piano M-N (Figura 1.20).

2. Rottura al limite elastico: la rottura avviene lato calcestruzzo con l'acciaio che ha raggiunto la deformazione di snervamento.



Determiniamo l'asse neutro:

$$x = \frac{\varepsilon_{cu}}{\varepsilon_{cu} + \varepsilon_{sy}} \cdot d = \frac{0,35}{0,35 + 0,195} \cdot 26 \text{ cm} = 16,69 \text{ cm}$$

Come si può notare, l'asse neutro si è notevolmente spostato verso il basso rispetto al caso di contemporanea rottura.

Per l'acciaio compresso è:

$$C_c = 0,8 \cdot 166,9 \text{ mm} \cdot 300 \text{ mm} \cdot \frac{14,2 \text{ MPa}}{1000} = 568,8 \text{ kN}$$

$$\varepsilon'_s = \frac{\varepsilon_{cu}}{x} \cdot (x - d') = \frac{0,0035}{166,9 \text{ mm}} \cdot (166,9 - 40) \text{ mm} = 0,0027 = 0,27\%$$

$$\varepsilon'_s > \varepsilon_{sy} = \frac{391,3 \text{ MPa}}{200000 \text{ MPa}} = 0,00195 = 0,195\%$$

L'armatura compressa risulta quindi snervata.

$$C_s = f_{yd} \cdot A'_s = 391,3 \text{ MPa} \cdot 402 \text{ mm}^2 = 157,3 \text{ kN}$$

$$T = f_{yd} \cdot A_s = 391,3 \text{ MPa} \cdot 402 \text{ mm}^2 = 157,3 \text{ kN}$$

La risultante dell'azione assiale

$$C_c + C_s - T = (568,8 + 157,3 - 157,3) \text{ kN} = 568,8 \text{ kN}$$

Il momento rispetto all'asse baricentrico

$$\begin{aligned} M &= C_c \cdot \left( \frac{h}{2} - 0,4 \cdot x \right) + C_s \cdot \left( \frac{h}{2} - d' \right) + T \cdot \left( \frac{h}{2} - d' \right) \\ &= 568,8 \text{ kN} \cdot (150 - 0,4 \cdot 166,9) \text{ mm} + 157,3 \text{ kN} \cdot (150 - 40) \text{ mm} \\ &\quad + 157,3 \text{ kN} \cdot (150 - 40) \text{ mm} = 81,8 \text{ kNm} \end{aligned}$$

Ho trovato quindi il secondo punto del dominio M-N

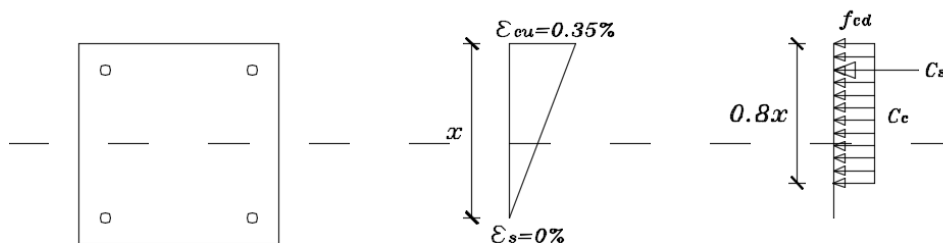
$$N = 568,8 \text{ kN}$$

$$M = 81,8 \text{ kNm}$$

Essendo la struttura simmetrica, sono nel picco.

$$3. \quad \varepsilon_{cu} = 0,35 \% \quad \varepsilon_s = 0 \%$$

Ipotizzo di aver raggiunto la deformazione ultima del calcestruzzo:



Individuiamo l'asse neutro:

$$\bar{x} = 30 \text{ cm} - 4 \text{ cm} = 26 \text{ cm}$$

La risultante delle compressioni nel calcestruzzo vale:

$$C_c = 0,8 \cdot 260 \text{ mm} \cdot 300 \text{ mm} \cdot \frac{14,2 \text{ MPa}}{1000} = 886,08 \text{ kN}$$

$$\varepsilon'_s = \frac{\varepsilon_{cu}}{x} \cdot (x - d') = \frac{0,0035}{260 \text{ mm}} \cdot (260 - 40) \text{ mm} = 0,00296 = 0,296\%$$

$$\varepsilon'_s > \varepsilon_{sy} = \frac{391,3 \text{ MPa}}{200000 \text{ MPa}} = 0,0019 = 0,19\%$$

che risulta quindi snervata

La risultante dell'armatura compressa è:

$$C_s = f_{yd} \cdot A_s = 391,3 \text{ MPa} \cdot 402 \text{ mm}^2 = 157,3 \text{ kN}$$

La risultante dell'armatura tesa è:

$$T = 0$$

La risultante dell'azione assiale:

$$C_c + C_s - T = (886,08 + 157,3) \text{ kN} = 1043,38 \text{ kN}$$

Il momento rispetto all'asse baricentrico risulta:

$$\begin{aligned} M &= C_c \cdot \left( \frac{h}{2} - 0,4 \cdot x \right) + C_s \cdot \left( \frac{h}{2} - d' \right) \\ &= 886,08 \text{ kN} \cdot (150 - 0,4 \cdot 260) \text{ mm} + 157,3 \text{ kN} \cdot (150 - 40) \text{ mm} \\ &= 58,06 \text{ kNm} \end{aligned}$$

Il terzo punto del dominio M-N è perciò:

$$N = 1043,38 \text{ kN}$$

$$M = 58,06 \text{ kNm}$$

Si procede ora a rappresentare questi punti sul diagramma M-N, verificando che il Pilastro P5 al piano -I rispetti tali condizioni:

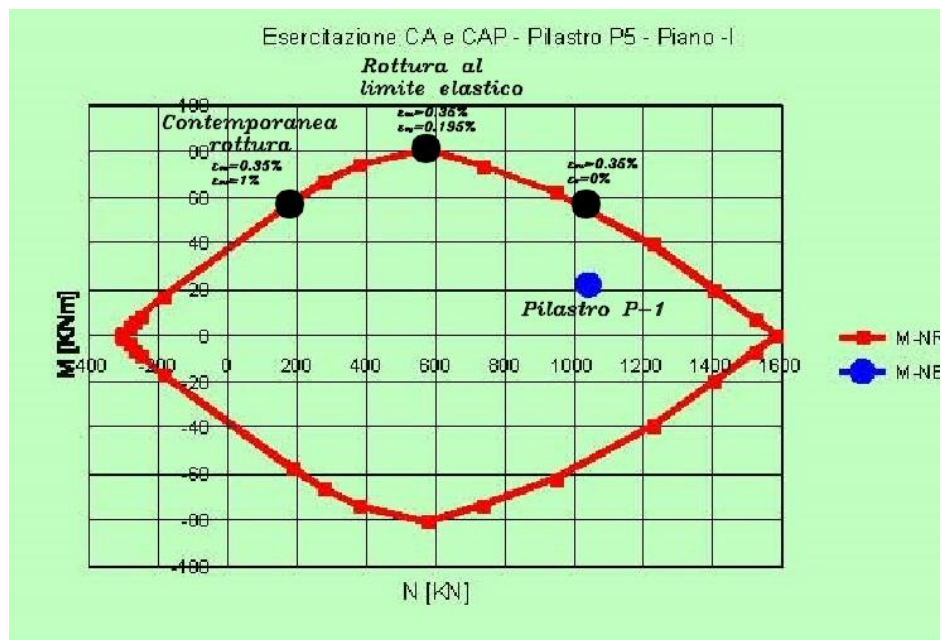


Figura 1.20 – Esempio di costruzione del diagramma M-N

### 1.10 Dimensionamento e verifica di un solaio a due campate

Si consideri il seguente impalcato tipo Figura 1.21:

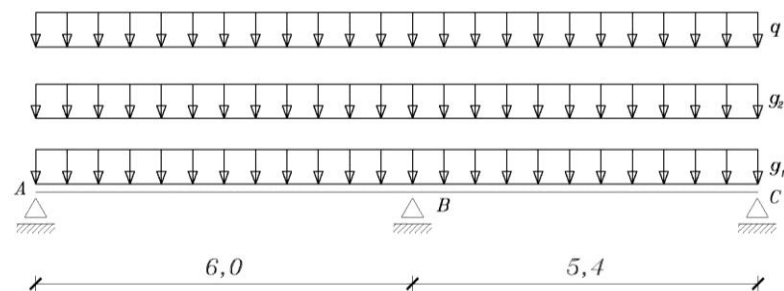


Figura 1.21 – Solaio a due campate

**MATERIALI:**

- Calcestruzzo C 25/30

$$f_{ck} = 25 \text{ MPa}$$

$$f_{cd} = \frac{\alpha f_{ck}}{\gamma_c} = \frac{0,85 \cdot 25}{1,5} = 14,2 \text{ MPa.}$$

- Acciaio B450C

$$f_{yd} = \frac{450}{\gamma_j} = \frac{450}{1,15} = 391,3 \text{ MPa}$$

**CARICHI:**

$$G_1 = 3,5 \frac{\text{kN}}{\text{m}^2}$$

$$G_2 = 4,2 \frac{\text{kN}}{\text{m}^2}$$

$$Q = 2 \frac{\text{kN}}{\text{m}^2}$$

Interasse dei travetti:  $i = 50 \text{ cm}$

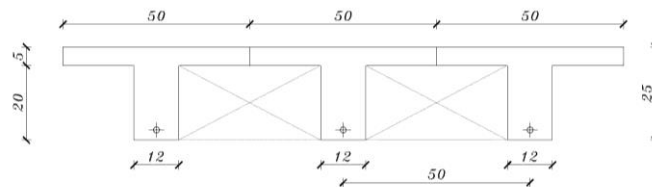


Figura 1.22 – Particolare del travetto

$$g_1 = 1,75 \frac{\text{kN}}{\text{m}}$$

$$g_2 = 2,1 \frac{\text{kN}}{\text{m}}$$

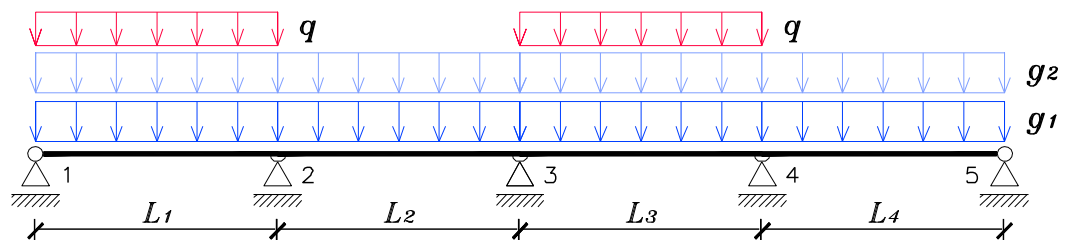
$$q = 1 \frac{\text{kN}}{\text{m}}$$

**1.10.1 Combinazioni di carico SLU**

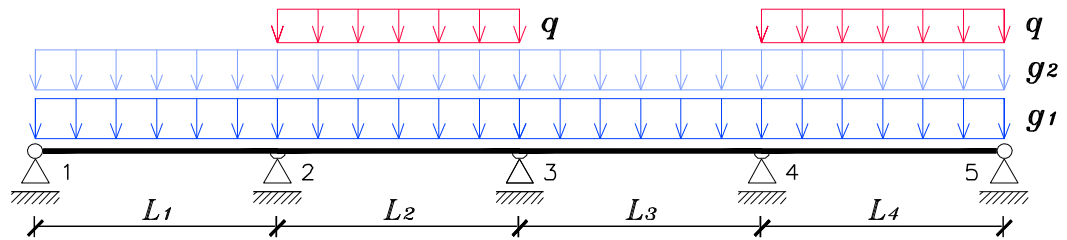
- $Q$  e  $G_2$  vanno considerati / omessi per ottenere le sollecitazioni più gravose in strutture iperstatiche
- I coefficienti  $\gamma_{G_1}$ ,  $\gamma_{G_2}$  e  $\gamma_Q$  vanno fatti variare:
  - $1 < \gamma_{G_1} < 1,3$
  - $0 < \gamma_{G_2} < 1,5$
  - $0 < \gamma_Q < 1,5$
- In generale il momento massimo negativo ad un appoggio di continuità si ottiene caricando le due campate che insistono sull'appoggio, e poi, a scacchiera scaricandone una e caricando la successiva;
- Il momento massimo in campata si ottiene caricando la campata stessa, e poi, a scacchiera scaricando quelle vicine e caricando le successive.

**1.10.2 Esempio generico involuppo trave continua**

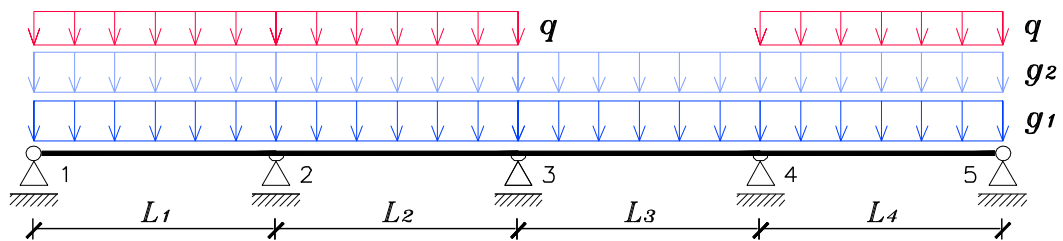
Condizione di carico sfavorevole per la prima e terza campata:



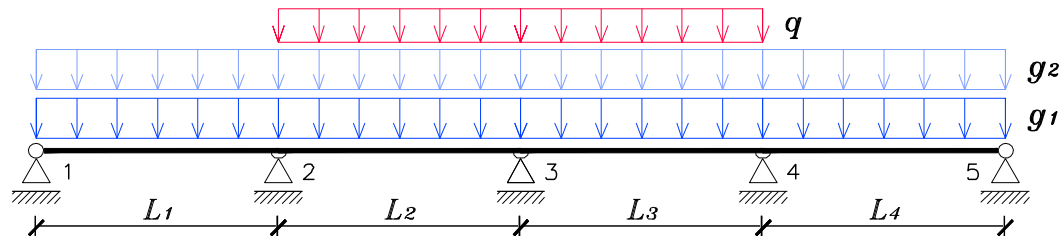
Condizione di carico sfavorevole per la terza e quarta campata:



Condizione di carico sfavorevole per l'appoggio 2:



Condizione di carico sfavorevole per l'appoggio 3:



Condizione di carico sfavorevole per l'appoggio 4:

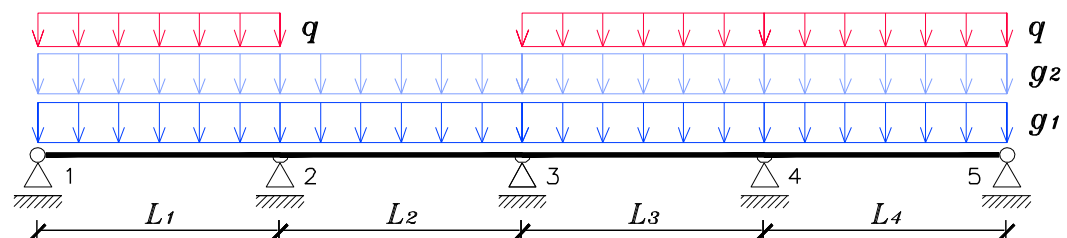
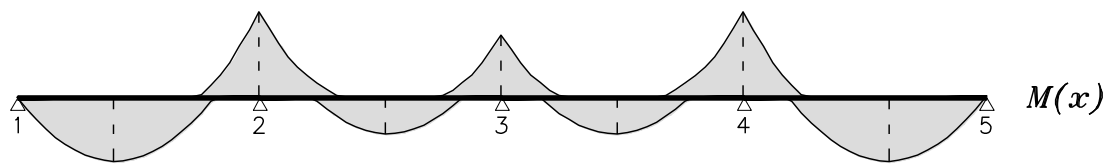


Diagramma di involucro del momento flettente:

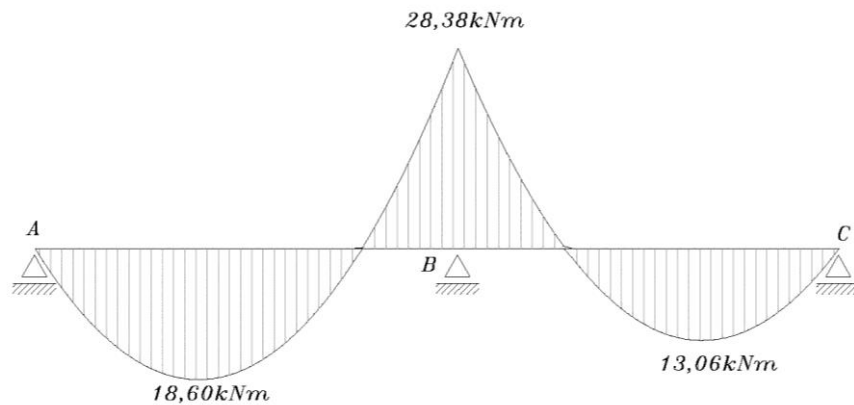
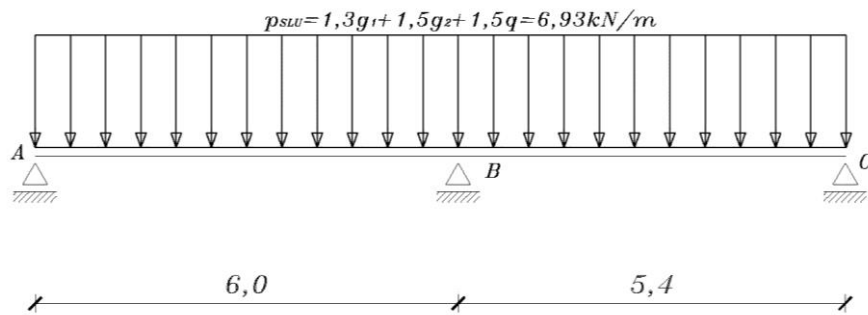


### 1.10.3 Combinazione carico SLU per il solaio su due campate

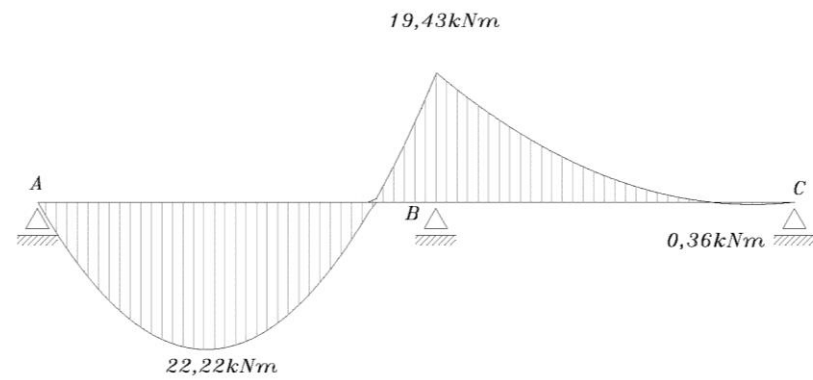
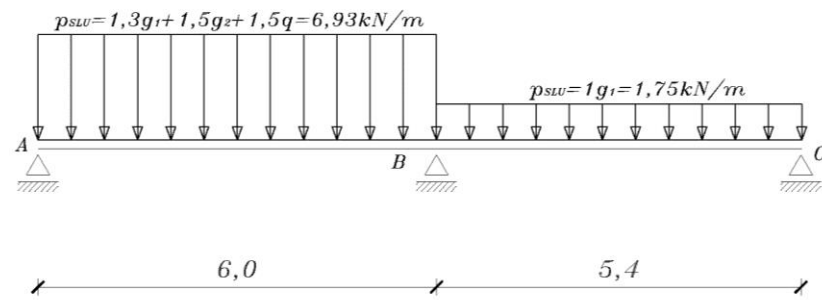
1.  $M_{Ed,B}^-$

$$P_{SLU} = 1,3g_1 + 1,5g_2 + 1,5q = 6,93 \frac{kN}{m}$$

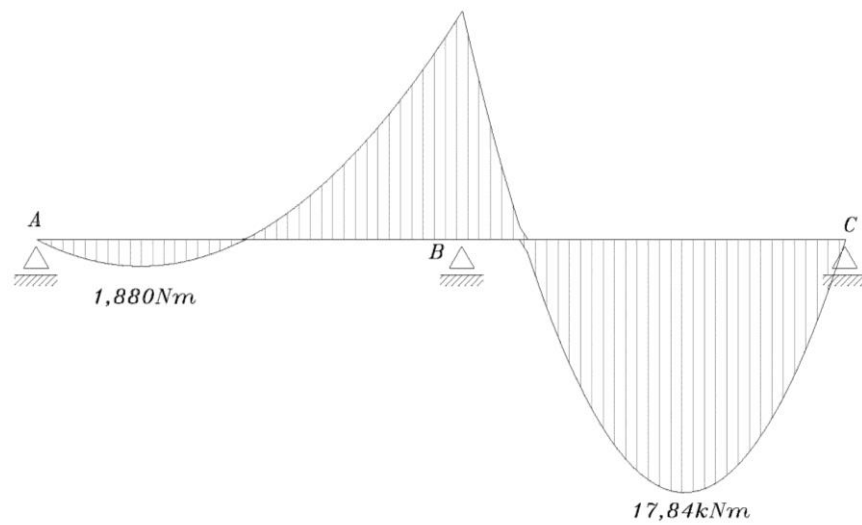
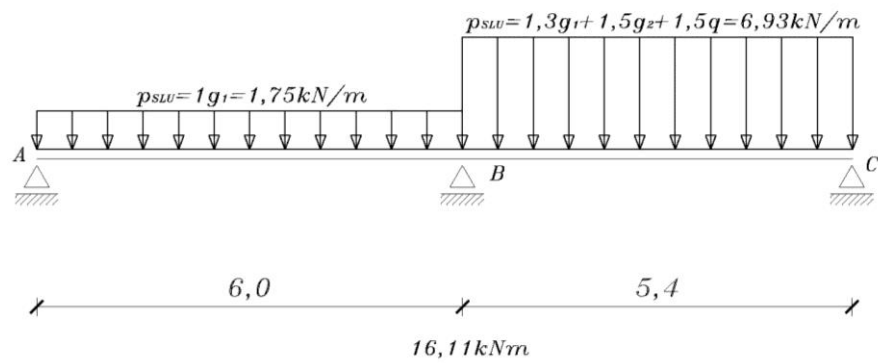
$$M_{Ed,B}^- \leq \frac{1}{8} P_{SLU} \cdot l_{max}^2 = \frac{1}{8} \cdot 6,93 \cdot 6^2 = 31,2 \text{ kN} \cdot m$$



2.  $M_{Ed,AB}^+$



3.  $M_{Ed,BC}^+$



## 1. ESERCITAZIONE 1

$$g_1 = 1,75 \frac{kN}{m}$$

$$g_2 = 2,1 \frac{kN}{m}$$

$$q = 1 \frac{kN}{m}$$

Devo eseguire l'involuppo dei seguenti diagrammi tramite il programma freeware TraveConDwg (Prof. GELFI).

Trave Continua - File: SOLAIO SLU

File Opzioni Impostazioni ?

Titolo : Esercitazione CA e CAP - Solaio

Tipo di calcolo delle sollecitazioni: ☐ Esercizio ☒ Stato Limite Ultimo

Numero campate (Compresi Sbalzi) : 2 Appoggi Sezioni

Camp. N°	Luce	Perm.	Var.	Sez. N°
1	6,0	1,75	3,1	1
2	5,4	1,75	3,1	1

App.	Largh.
1	
2	
3	

Vincoli di estremità Sinistra Destra

Appoggio ☒ ☐

Incastro ☐ ☐

Libero ☐ ☐

Elastico ☐ ☐

Diagrammi

☐ Visualizza Deformata

Momento 1: 10

☐ Scale fisse Taglio 1: 10

Freccia 1: 0,02

N. Punti Plottaggio: 100

Visualizza Stampa

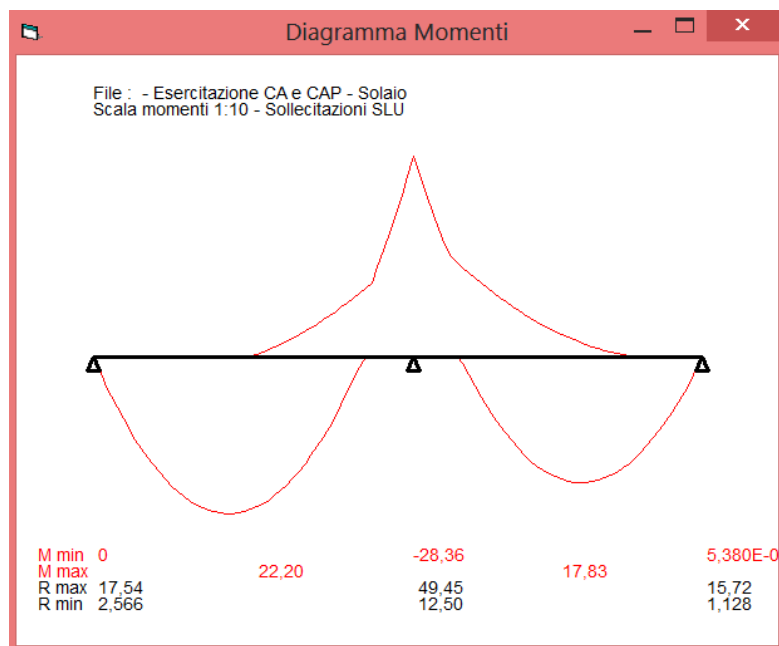
M I M + T

DWG Esporta Blocco ?

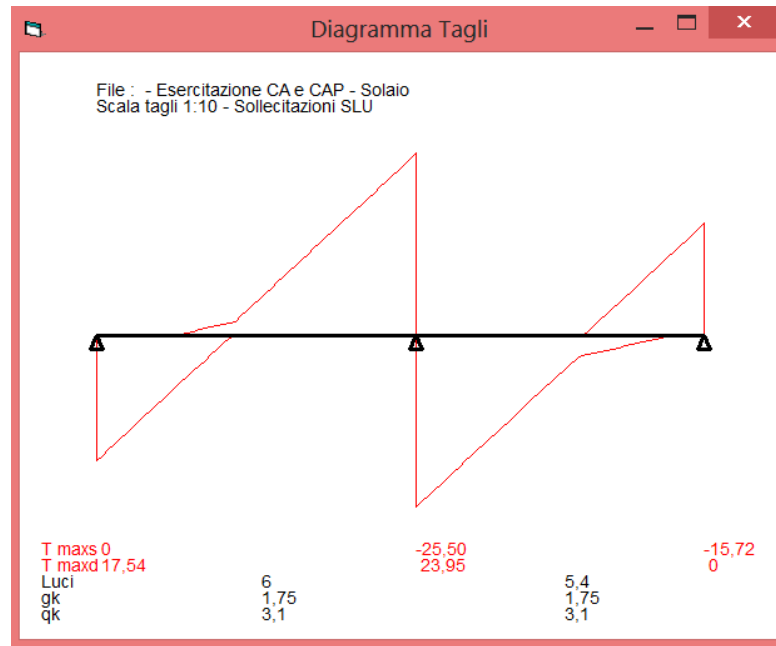
Risultati

Sez.	Mmax	x Mmax	Mmin	x Mmin	f max	f min
1	0		0			
m	22,2	2,491	1,882	1,472	1,33E-02	-1,93E-03
2	-7,166		-28,36			
m	17,83	3,102	0,3619	4,711	8,62E-03	-3,28E-03
3	7,494E-06		5,38E-07			

Sez.	Tmax s	Tmax d	Rmax	Rmin
1		17,54	17,54	2,566
2	-25,5	23,95	49,45	12,5
3	-15,72		15,72	1,128





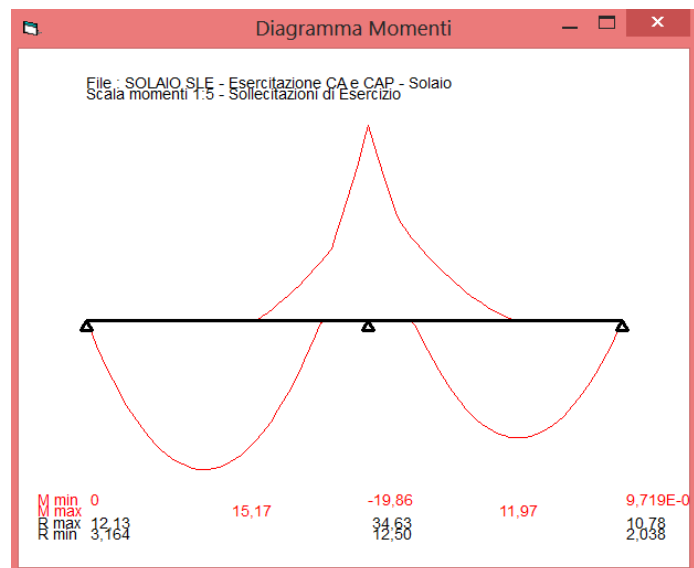


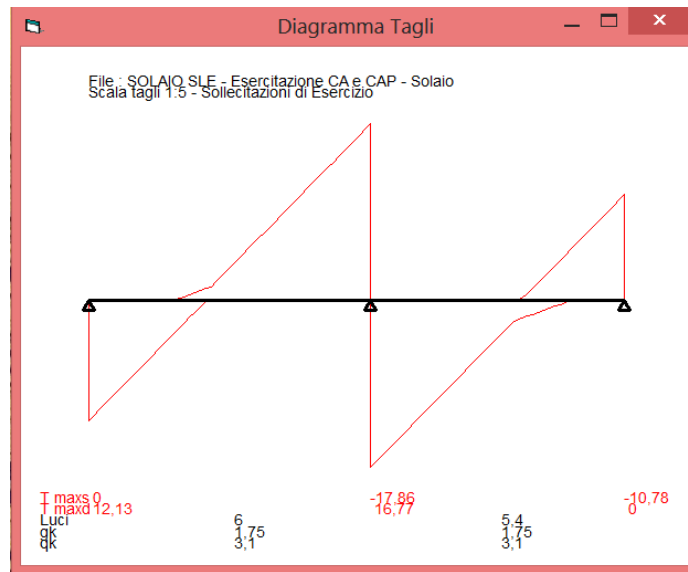
#### 1.10.4 Combinazioni di carico SLE

Si esegue la combinazione di carico caratteristica o rara (ex tensioni ammissibili). Si ricorda che ogni specifica verifica va svolta considerando la propria combinazione.

Si considerano:

- permanenti:  $g_1 = 1,75 \frac{kN}{m}$
- variabili:  $g_2 + q = 3,1 \frac{kN}{m}$





	<i>SLU</i>	<i>SLE</i>	<i>SLU/SLE</i>
$M_{max,B}^-$	-28,36	-19,86	1,43
$M_{max,AB}^+$	22,20	15,17	1,46
$M_{max,BC}^+$	17,83	11,97	1,49

Tabella 1.8: tabella riassuntiva dei momenti calcolati allo SLU e allo SLE

Nell'ultima colonna troviamo i classici rapporti tra SLU e SLE (più vicini al valore di  $\gamma_g$  visto che prevalgono  $g_2 + q$  su  $g_1$ ).

**NB: La normativa consente di trattare, in esercizio,  $g_2$  come  $g_1$ . La scelta è del progettista.**

Osservazioni:

- Nelle condizioni frequente, quasi permanente, sismica ed eccezionale  $G_2$  è sempre moltiplicato per 1, mentre il primo carico accidentale  $Q_1$  per  $\Psi_{1i}$  e  $\Psi_{2i}$  (coefficienti di non contemporaneità).

$$\Psi_{2i} < \Psi_{1i}$$

Nei solai può non essere decalato il diagramma dei momenti, visto che si suppone che essi non si fessurino a taglio ( $\tau < \tau_{c0}$  o  $V_{ED} < V_{Rd,ct}$ ).

Scelta del copriferro (EC2 4.4.1 UNI-EN 1992 DIC. 2005) mostrato in Figura 1.23

- Condizioni ambientali:
- Armature: poco sensibili (non da precompresso)

$$c_{min} = \max(c_{min,b}; c_{min,dur} + \Delta_{c,dur,\gamma} - \Delta_{c,dur,st} - \Delta_{c,dur,add}; 10 \text{ mm})$$

Dove:

$c_{min}$  è da intendersi netto;

$c_{min,b}$  requisiti aderenza =  $\phi_{barra}$

$c_{\min, \text{dur}}$  legato alle condizioni ambientali:

- XC1: asciutto o permanentemente bagnato (situazione molto buona)
- Classe strutturale (in genere S4) legata alla vita utile (in genere 50anni)

Con queste condizioni si considera un  $c_{\min, \text{dur}} = 15\text{mm}$

$\Delta_{c, \text{dur}, \gamma}$  margine di sicurezza  $\phi$

$\Delta_{c, \text{dur}, \text{st}}$  riduzione acciaio inox  $\phi$

$\Delta_{c, \text{dur}, \text{add}}$  riduzione protezione aggiuntiva

$$c_{\min} = \max(\phi; 15\text{mm}; 10\text{mm})$$

Il copriferro lordo include lo spessore, le staffe ed i collegamenti.

Solai:  $c_{\text{lordo}} = 3\text{cm}$  (NB: ambienti aggressivi!)

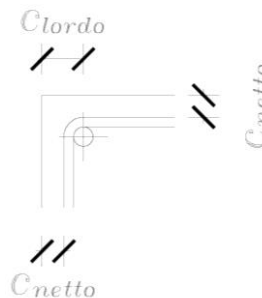


Figura 1.23 – Particolare del copriferro

### 1.10.5 Predimensionamento (in esercizio)

Il predimensionamento svolto in esercizio è molto conservativo.

- Sezione B piena (nodo solaio-trave)

$$A_s^- = \frac{M_{\max, B}^-}{0,9d \sigma_{s, \max}} = \frac{19,86 \cdot 10^6 \text{ Nmm}}{0,9(250 - 30)\text{mm} \cdot 260 \text{ MPa}} = 386 \text{ mm}^2 = 3,86 \text{ cm}^2$$

$$A_s^- = 2\phi 12 + 1\phi 14 = 3,80 \text{ cm}^2$$

NB  $\sigma_{s, \max} = 260\text{MPa}$  valore ottimo per progetto (no  $0,8f_{yd}$ !!)

Si potrebbe usare anche  $A_s^- = 3\phi 12$

- Sezione campata AB:

$$A_s^+ = \frac{M_{\max, AB}^+}{0,9d \sigma_{s, \max}} = \frac{15,17 \cdot 10^6 \text{ Nmm}}{0,9 \cdot 220\text{mm} \cdot 260\text{MPa}} = 294\text{mm}^2 = 2,94\text{cm}^2$$

$$A_s^+ = 2\phi 14 = 3,08\text{cm}^2$$

- Layout approssimativo Figura 1.24

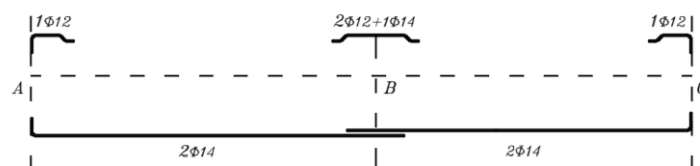
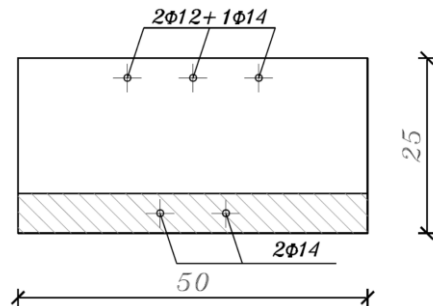


Figura 1.24 – Layout approssimativo

1.10.6 Verifiche metodo tensioni ammissibili (DM 96)

- Sezione B:



$$A_s = 3,8 \text{ cm}^2$$

$$A'_s = 3,08 \text{ cm}^2$$

$$d = 22 \text{ cm}$$

$$M^- = 1986 \text{ Kg} \cdot \text{m}$$

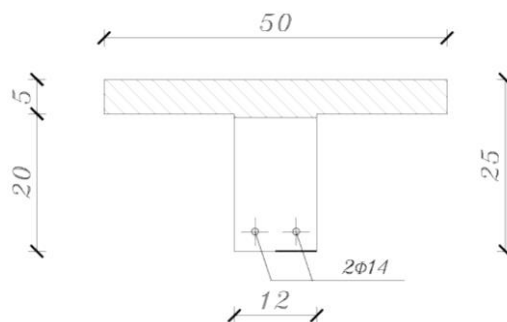
$$\bar{x} = 5,68 \text{ cm}$$

$$J_{id} = 18567 \text{ cm}^4$$

$$\sigma_s = 2618 \frac{\text{Kg}}{\text{cm}^2}$$

$$\sigma'_s = 430 \frac{\text{Kg}}{\text{cm}^2}$$

- Sezione campata A-B



$$A_s = 3,08 \text{ cm}^2$$

$$A'_s = 0$$

$$d = 22 \text{ cm}$$

$$M^+ = 1517 \text{ Kg} \cdot \text{m}$$

$$\bar{x} = 5,53 \text{ cm}$$

$$J_{id} = 15344 \text{ cm}^4$$

$$\sigma_s = 2442 \frac{\text{Kg}}{\text{cm}^2}$$

$$\sigma'_s = 376 \frac{\text{Kg}}{\text{cm}^2}$$

### 1.10.7 Verifiche metodo SLU

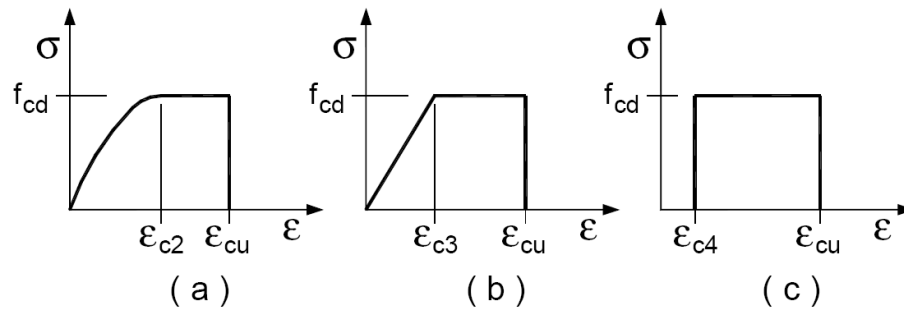


Figura 1.25: Modelli  $\sigma$ - $\epsilon$  per il calcestruzzo: (a) parabola-rettangolo; (b) triangolo-rettangolo; (c) rettangolo (stress block).

Per le classi di resistenza pari o inferiore a C50/60 si può porre:

$$\epsilon_{c2} = 0,20\%$$

$$\epsilon_{c3} = 0,175\%$$

$$\epsilon_{cu} = 0,35\%$$

$$\epsilon_{c4} = 0,07\%$$

Per le classi di resistenza superiore a C50/60 si possono porre valori differenti (comportamento FRAGILE)

Per sezioni o parti di sezioni soggette a distribuzioni di tensione di compressione approssimativamente uniformi, si assume per la deformazione ultima a rottura il valore  $\epsilon_{c2}$  anziché  $\epsilon_{cu}$ .

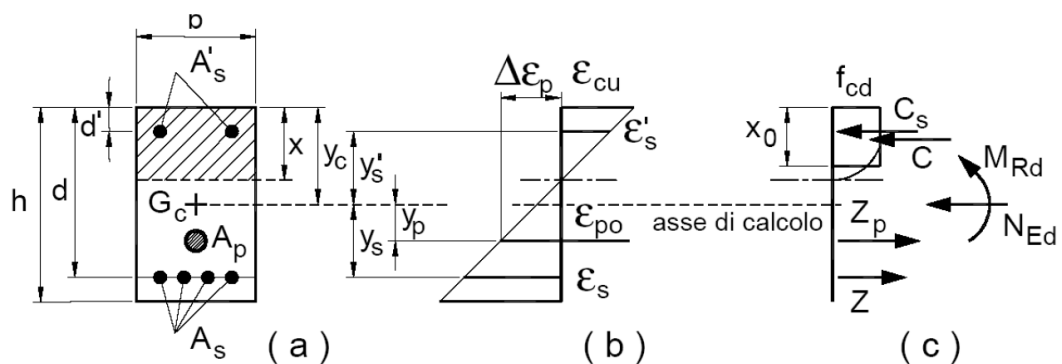


Figura 1.26: Sezione pressoinflessa

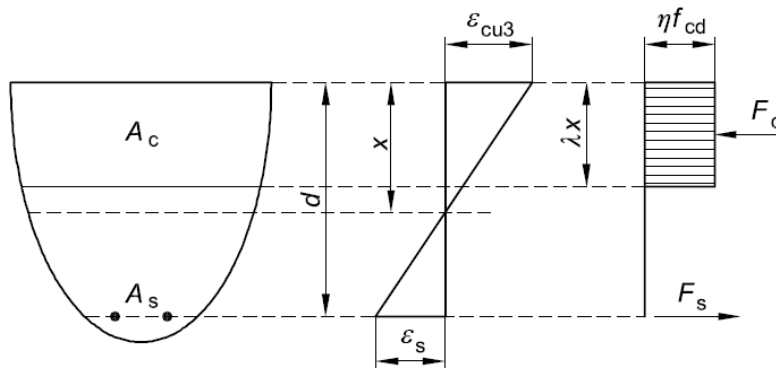


Figura 1.27: Pressoflessione con sezione parzializzata

Si può ipotizzare una distribuzione rettangolare di tensioni (come mostrato in Figura 1.27). Il coefficiente  $\lambda$ , che definisce l'altezza efficace della zona di compressione e il coefficiente  $\eta$ , che definisce la resistenza effettiva, si deducono da:

$$\begin{aligned} \lambda &= 0,8 & \text{Per } f_{ck} &= 50 \text{ MPa} \\ \lambda &= 0,8 - \frac{f_{ck} - 50}{400} & \text{Per } 50 \leq f_{ck} \leq 90 \text{ MPa} \end{aligned}$$

$$\begin{aligned} \eta &= 1 & \text{Per } f_{ck} &= 50 \text{ MPa} \\ \eta &= 1 - \frac{f_{ck} - 50}{200} & \text{Per } 50 \leq f_{ck} \leq 90 \text{ MPa} \end{aligned}$$

Se la larghezza della zona di compressione decresce nella direzione della fibra più compressa, si raccomanda di ridurre del 10% il valore di  $\eta f_{cd}$ .

- Sezione B (sezione piena, poco rappresentativa)

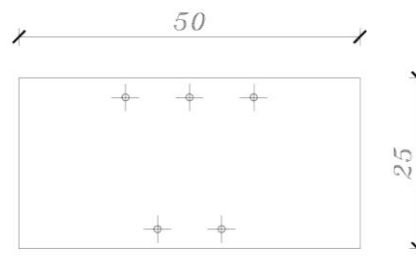
$$A_s = 2\phi 12 + 1\phi 14 = 380 \text{ mm}^2$$

$$A'_s = 2\phi 14 = 308 \text{ mm}^2$$

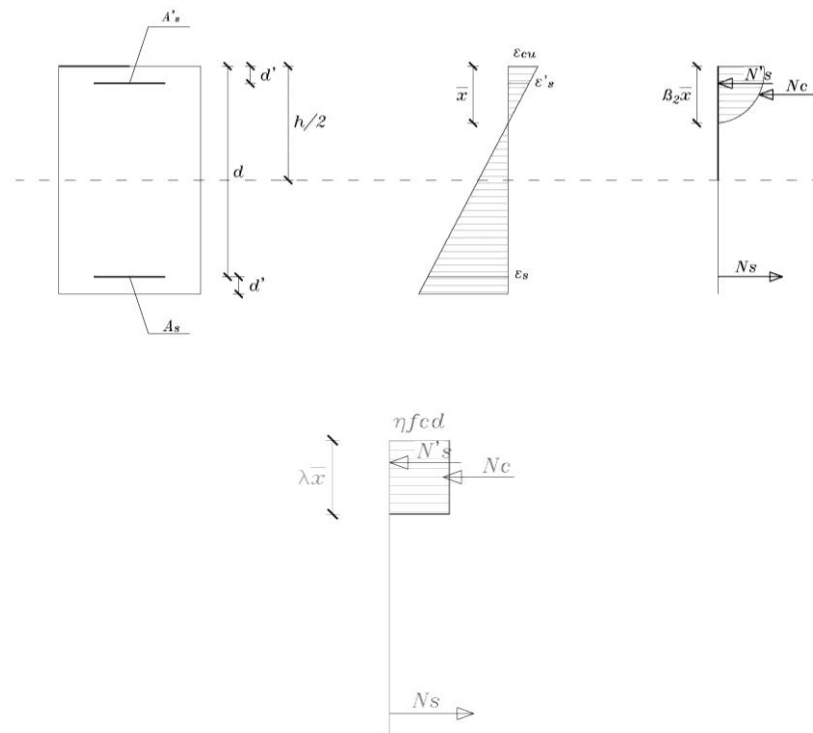
$$d = 220 \text{ mm}$$

$$H = 250 \text{ mm}$$

$$B = 500 \text{ mm}$$



In generale:



Per  $f_{cd} \leq 50 \text{ MPa}$

$$\lambda = 0,8 \quad \eta = 1$$

$$\beta_1 = \lambda \eta = 0,8$$

$$\beta_2 = \frac{\lambda}{2} = 0,4$$

Operativamente:

$$\sum F_H = 0 \quad N_{Rd} = N_c + N'_s - N_s$$

$$N_c = -\beta_1 \cdot f_{cd} \cdot b \cdot \bar{x}$$

$$N'_s = -\sigma'_s A'_s$$

$$N_s = \sigma_s A_s$$

Si ricava  $x$  facendo l'equilibrio alla traslazione orizzontale.

$$\sum M_G = 0 \quad M_{Rd} = N_c \left( \frac{h}{2} - \beta_2 x \right) + N'_s \left( \frac{h}{2} - d' \right) - N_s \left( \frac{h}{2} - d' \right)$$

Spesso si ha flessione semplice, per cui occorre imporre nell'equilibrio orizzontale che  $N_c + N'_s = N_s$  da cui ricavo  $\bar{x}$ :

-  $A'_s$  e  $A_s$  sono snervate, quindi  $\sigma_s = \sigma'_s = f_{yd}$

$$\beta_1 \cdot f_{cd} \cdot b \cdot \bar{x} + f_{yd} \cdot A'_s = f_{yd} \cdot A_s$$

$$\bar{x} = \frac{f_{yd}(A_s - A'_s)}{\beta_1 \cdot f_{cd} \cdot b}$$

-  $A'_s$  non è snervata,  $\varepsilon'_s = \varepsilon_{cu} \cdot \frac{\bar{x} - d'}{\bar{x}}$

$$\beta_1 \cdot f_{cd} \cdot b \cdot \bar{x} + A'_s \cdot \varepsilon_{cu} \cdot \left(1 - \frac{d'}{\bar{x}}\right) \cdot E_s = f_{yd} \cdot A_s$$

Il calcolo di  $\bar{x}$  è un po' più complicato:

- Trascurare  $A'_s$

$$\bar{x} = \frac{f_{yd}(A_s)}{\beta_1 \cdot f_{cd} \cdot b}$$

Nel caso in esame:

$$N_{Rd} = N_c + N'_s - N_s = 0$$

$$\beta_1 \cdot f_{cd} \cdot b \cdot \bar{x} + A'_s \cdot \varepsilon_{cu} \cdot \left(1 - \frac{d'}{\bar{x}}\right) \cdot E_s - f_{yd} \cdot A_s = 0$$

$$0,8 \cdot 14,2 \cdot 500 \cdot \bar{x} + 308 \cdot 0,0035 \cdot \left(1 - \frac{30}{\bar{x}}\right) \cdot 210000 - 391,3 \cdot 380 = 0$$

$$\bar{x} = 28,41 \text{ mm} \quad (\bar{x} = 28,18 \text{ mm con } A'_s = 0)$$

$$\begin{aligned} M_{Rd} &= \beta_1 \cdot f_{cd} \cdot b \cdot \bar{x} \left(\frac{h}{2} - \beta_2 \bar{x}\right) + A'_s \cdot \varepsilon_{cu} \cdot \left(1 - \frac{d'}{\bar{x}}\right) \cdot E_s \cdot \left(\frac{h}{2} - d'\right) + A_s f_{yd} \left(\frac{h}{2} - d'\right) = \\ &= 0,8 \cdot 14,2 \cdot 500 \cdot 28,4 \cdot (125 - 0,4 \cdot 28,41) + 308 \cdot 0,0035 \cdot \left(1 - \frac{30}{28,41}\right) \cdot 210000(125 - 30) + 380 \cdot 391,3 \cdot (125 - 30) \end{aligned}$$

$$M_{Rd} = 31,26 \text{ kNm} > M_{Ed} = 28,36 \text{ kNm}$$

$$(\text{senza } A'_s \quad \bar{x} = 26,18 \text{ mm} \quad M'_{Rd} = 31,16 \text{ kNm} (99,7\%) \quad M'_{Rd} \approx M_{Rd})$$

$A'_s$  non migliora in modo significativo le prestazioni allo SLU.

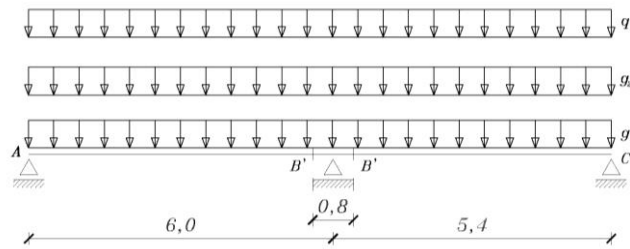
Controllo semplice per sezioni semplicemente inflesse e duttili ( $\rho$  moderatamente)

$$\overline{M}_{Rd} \approx 0,9 f_{yd} A_s = 0,9 \cdot 220 \cdot 391,3 \cdot 380 = 29,44 \text{ kNm} (94,2\% M_{Rd})$$

- Sezione attacco travetto-trave spina

Ipotizziamo una trave di spina di larghezza:  $B = 80 \text{ cm}$

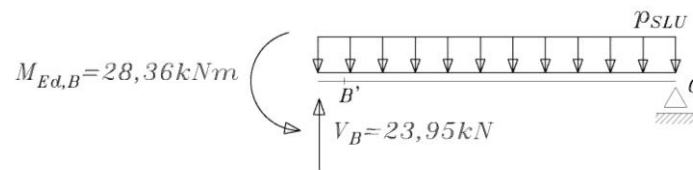




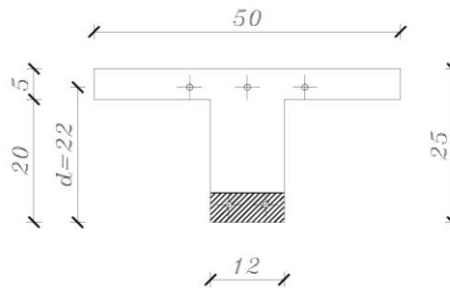
Il momento scende meno rapidamente sulla campata BC

$$P_{SLU} = 6,93 \frac{kN}{m}$$

$$0,4$$



$$M'_{Ed,B} = M_{Ed,B} + V_B \cdot 0,4 - P_{SLU} \cdot \frac{0,4^2}{2} = -28,36 + 23,95 \cdot 0,4 - 6,93 \cdot \frac{0,4^2}{2} = -19,33 kNm$$



$$A_s = 2\phi 12 + 1\phi 14 = 380 mm^2$$

$$A'_s = 2\phi 14 = 308 mm^2$$

$$b = 120 mm$$

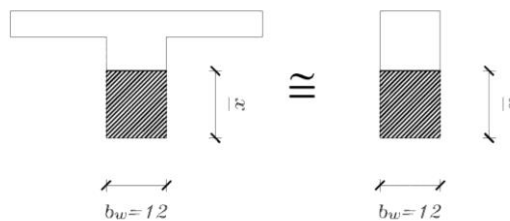
$$d = 220 mm$$

Come prima (la sezione è come se fosse rettangolare)

$$\bar{x} = 47,62 mm$$

$$M_{Rd} = 28,92 > M'_{Ed,R}$$

Dal programma VCASLU (freeware Prof.Gelfi)



Consideriamo la sezione a T con momento negativo e sezione rettangolare di larghezza  $b_w$ .

Verifica C.A. S.L.U. - File: Solaio appoggio B

File Materiali Opzioni Visualizza Progetto Sez. Rett. Sismica Normativa: NTC 2008 ?

Titolo: Esercitazione CA e CAP - Solaio appoggio B

N° strati barre 2 Zoom

N°	b [cm]	h [cm]
1	50	25

N°	As [cm²]	d [cm]
1	3.80	3
2	3.08	22

Sollecitazioni S.L.U. Metodo n

N<sub>Ed</sub> 0 kN  
M<sub>xEd</sub> 28.36 kNm  
M<sub>yEd</sub> 0 kNm

P.to applicazione N  
☒ Centro ☐ Baricentro cls  
☐ Coord.[cm] xN 0 yN 0

Tipo rottura  
Lato calcestruzzo - Acciaio snervato

M<sub>xRd</sub> -31.21 kNm

Materiali

B450C		C25/30	
$\epsilon_{su}$	67.5 ‰	$\epsilon_{c2}$	2 ‰
$f_{yd}$	391.3 N/mm²	$\epsilon_{cu}$	3.5 ‰
$E_s$	210.000 N/mm²	$f_{cd}$	14.17 N/mm²
$E_s/E_c$	15	$f_{cc}/f_{cd}$	0.8
$\epsilon_{syd}$	1.863 ‰	$\sigma_{c,adm}$	9.75 N/mm²
$\sigma_{s,adm}$	255 N/mm²	$\tau_{co}$	0.6
		$\tau_{cl}$	1.829

$\sigma_c$  -14.17 N/mm²  
 $\sigma_s$  391.3 N/mm²  
 $\epsilon_c$  3.5 ‰  
 $\epsilon_s$  23.72 ‰  
d 22 cm  
x 2.828 x/d 0.1286  
 $\delta$  0.7

Tipo Sezione  
☒ Rettan.re ☐ Trapezi  
☐ a T ☐ Circolare  
☐ Rettangoli ☐ Coord.

Metodo di calcolo  
☒ S.L.U.+ ☐ S.L.U.-  
☒ Metodo n

Tipo flessione  
☒ Retta ☐ Deviata

N° rett. 100  
Calcola MRd Dominio M-N  
L<sub>0</sub> 327 cm Col. modello  
☐ Precompresso

Verifica C.A. S.L.U. - File: Solaio campata AB

File Materiali Opzioni Visualizza Progetto Sez. Rett. Sismica Normativa: NTC 2008 ?

Titolo: Esercitazione CA e CAP - Solaio campata AB

N° strati barre 1 Zoom

N°	b [cm]	h [cm]
1	50	5
2	12	20

N°	As [cm²]	d [cm]
1	3.08	22

Sollecitazioni S.L.U. Metodo n

N<sub>Ed</sub> 0 kN  
M<sub>xEd</sub> 22.20 kNm  
M<sub>yEd</sub> 0 kNm

P.to applicazione N  
☒ Centro ☐ Baricentro cls  
☐ Coord.[cm] xN 0 yN 0

Tipo rottura  
Lato calcestruzzo - Acciaio snervato

M<sub>xRd</sub> 25.46 kNm

Materiali

B450C		C25/30	
$\epsilon_{su}$	67.5 ‰	$\epsilon_{c2}$	2 ‰
$f_{yd}$	391.3 N/mm²	$\epsilon_{cu}$	3.5 ‰
$E_s$	210.000 N/mm²	$f_{cd}$	14.17 N/mm²
$E_s/E_c$	15	$f_{cc}/f_{cd}$	0.8
$\epsilon_{syd}$	1.863 ‰	$\sigma_{c,adm}$	9.75 N/mm²
$\sigma_{s,adm}$	255 N/mm²	$\tau_{co}$	0.6
		$\tau_{cl}$	1.829

$\sigma_c$  -14.17 N/mm²  
 $\sigma_s$  391.3 N/mm²  
 $\epsilon_c$  3.5 ‰  
 $\epsilon_s$  33.23 ‰  
d 22 cm  
x 2.096 x/d 0.09529  
 $\delta$  0.7

Tipo Sezione  
☐ Rettan.re ☐ Trapezi  
☒ a T ☐ Circolare  
☐ Rettangoli ☐ Coord.

Metodo di calcolo  
☒ S.L.U.+ ☐ S.L.U.-  
☒ Metodo n

Tipo flessione  
☒ Retta ☐ Deviata

N° rett. 100  
Calcola MRd Dominio M-N  
L<sub>0</sub> 327 cm Col. modello  
☐ Precompresso

Verifica C.A. S.L.U. - File: Solaio attacco

File Materiali Opzioni Visualizza Progetto Sez. Rett. Sismica Normativa: NTC 2008 ?

Titolo: Esercitazione CA e CAP - Attacco

N° strati barre 2 Zoom

N°	b [cm]	h [cm]	N°	As [cm²]	d [cm]
1	50	5	1	3,80	3
2	12	20	2	3,08	22

Sollecitazioni: S.L.U. Metodo n

N<sub>Ed</sub> 0 kN  
M<sub>xEd</sub> 19,33 kNm  
M<sub>yEd</sub> 0 kNm

P.to applicazione N: Centro Baricentro cls  
Coord. [cm] xN 0 yN 0

Tipo rottura: Lato calcestruzzo - Acciaio snervato

Tipo Sezione: Rettang. re Trapezi  
a T Circolare  
Rettangoli Coord.

Metodo di calcolo: S.L.U.+ S.L.U.-  
Metodo n

Tipo flessione: Retta Deviata

N° rett. 100

Calcola MRd Dominio M-N

L<sub>0</sub> 327 cm Col. modello

Precompresso

Materiali

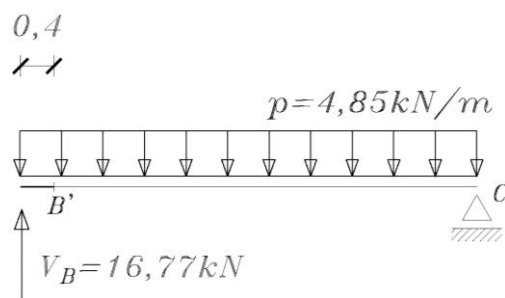
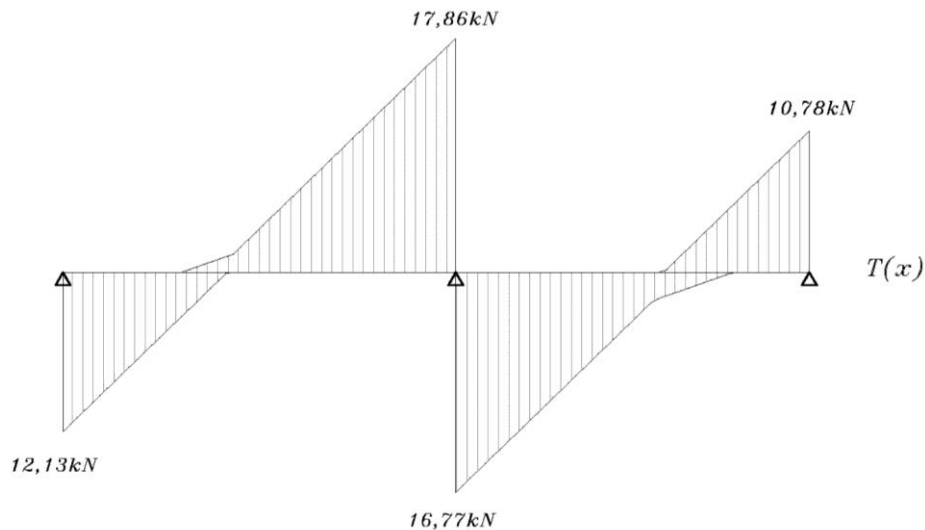
B450C C25/30

$\epsilon_{su}$  67,5 ‰  $\epsilon_{c2}$  2 ‰  
 $f_{yd}$  391,3 N/mm²  $\epsilon_{cu}$  3,5 ‰  
 $E_s$  210.000 N/mm²  $f_{cd}$  14,17 N/mm²  
 $E_s/E_c$  15  $f_{cc}/f_{cd}$  0,8  
 $\epsilon_{syd}$  1,863 ‰  $\sigma_{c,adm}$  9,75 N/mm²  
 $\sigma_{s,adm}$  255 N/mm²  $\tau_{co}$  0,6  
 $\tau_{cl}$  1,829

M<sub>xRd</sub> -28,92 kNm  
 $\sigma_c$  -14,17 N/mm²  
 $\sigma_s$  391,3 N/mm²  
 $\epsilon_c$  3,5 ‰  
 $\epsilon_s$  12,72 ‰  
d 22 cm  
x 4,747 x/d 0,2158  
 $\delta$  0,7097

### 1.10.8 Verifica a taglio

- In esercizio (NTA)



$$V_{max} = 17,86 \text{ kN}$$

- Sezione B (ridondante)

$$\bar{x} = 5,68 \text{ cm}$$

$$J_{id} = 18567 \text{ cm}^4$$

$$S_x^* = n \cdot A_s (d - \bar{x}) = 15 \cdot 380 \cdot (22 - 5,68) = 930 \text{ cm}^3$$

$$\tau_{max} = \frac{V_{Bmax} \cdot S_x^*}{b \cdot J_{id}} = \frac{1786 \text{ kg} \cdot 930 \text{ cm}^3}{50 \text{ cm} \cdot 18567 \text{ cm}^4} = 1,79 \frac{\text{kg}}{\text{cm}^2}$$

- Sezione B' (attacco- interfaccia)

$$V_{B'} = 16,77 - 4,85 \frac{\text{kN}}{\text{m}} \cdot 0,4 \text{ m} = 14,84 \text{ kN}$$

$$\bar{x} = 8,89 \text{ cm}$$

$$J_{id} = 14209 \text{ cm}^4$$

$$S_x^* = n \cdot A_s (d - \bar{x}) = 15 \cdot 380 \cdot (22 - 8,89) = 747 \text{ cm}^3$$

$$\tau_{max} = \frac{1483kg \cdot 737cm^3}{12cm \cdot 14209cm^4} = 6,5 \frac{kg}{cm^2} > \tau_{co}$$

La sezione risulta non verificata, occorre evitare comunque l'armatura a taglio.

- Verifica a taglio SLU (Sezione di stacco)

$$V_{Rd,ct} = \frac{0,18}{\gamma_c} \cdot k \cdot (100 \cdot \rho_l \cdot f_{ck})^{\frac{1}{3}} \cdot b_w \cdot d \geq [v_{min} + 0,15\sigma_{CP}] \cdot b_w \cdot d$$

NB. Le unità di misura sono mm e MPa.

$$\gamma_c = 1,5$$

$$k = 1 + \sqrt{\frac{200}{d}} = 1 + \sqrt{\frac{200}{220}} = 1,95 \leq 2 \quad (\text{Effetto scala})$$

$$\rho_l = \frac{3,80}{12 \cdot 22} = 1,44\% \quad (\text{Ben ancorata})$$

$$V_{Rd,ct} = 0,12 \cdot 1,95 \cdot (1,44 \cdot 25)^{\frac{1}{3}} \cdot 120 \cdot 220 = 20,4 \text{ kN}$$

$$V'_{B,SLU} = V_B - \rho_{SLU} \cdot 0,4 = 28,36 \text{ kN} - 6,93 \cdot 0,4 = 25,6 \text{ kN}$$

$$V_{Rd,ct} = 80\% V'_{B,Ed}$$

Il taglio non risulta verificato allo SLU; questa è una classica situazione che si riscontra nella verifica a taglio dei solai italiani in latero cemento (spesso non sono verificati per tratti molto limitati). In genere significa che l'altezza del solaio non è sufficiente; si vanno quindi a proporre particolari accorgimenti:

- Pignatte alternate nella zona non verificata (si aumenta mediamente la  $b_w$ ).
- Pignatte speciali  $b_w = 14cm$ .
- Valutare l'effettivo grado di vincolo trave di spina: otterrei una riduzione di  $V_B$  (cedevolezza del vincolo).
- Solai 20+6, 24+5 (evitare)
- 1 o 2 staffe per un piccolo tratto non verificato (evitare)
- Nuovi materiali FRC: calcestruzzo fibrorinforzato

## 1.11 Trave di spina

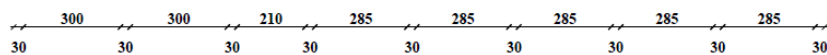
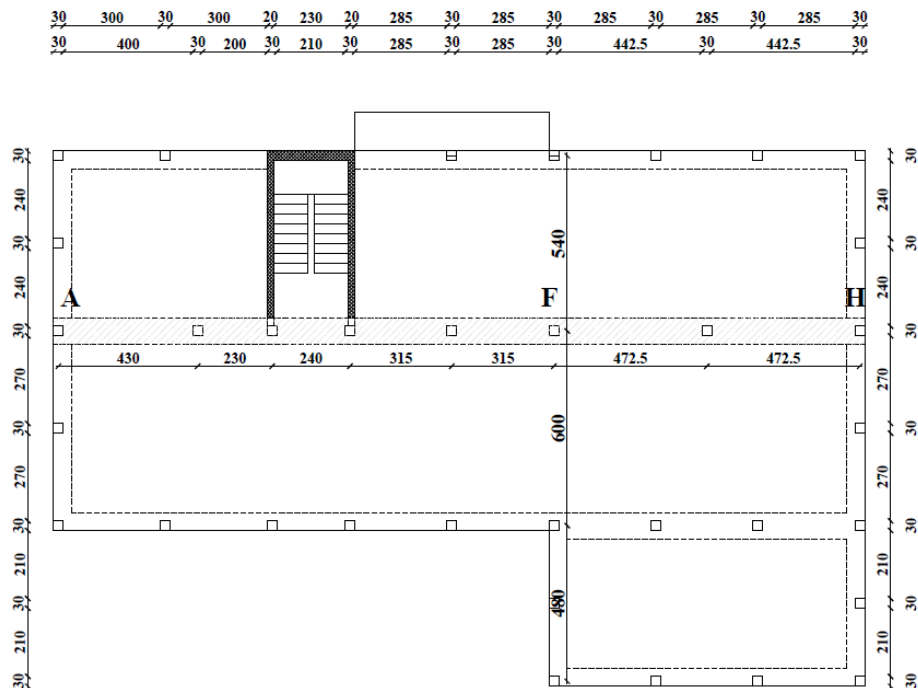
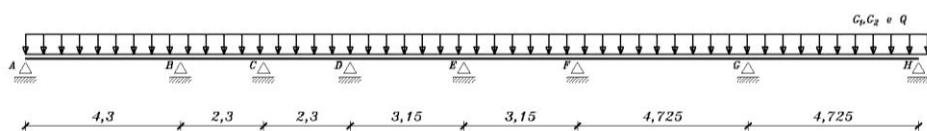


Figura 1.28: Pianta piano II/III (misure in cm)



$$G_1 = 3,5 \frac{kN}{m^2}$$

$$G_2 = 4,2 \frac{kN}{m^2}$$

$$Q = 2 \frac{kN}{m^2}$$

Appoggio su pilastro ("arrotondamento" del momento)

- 7 campate con luci molto diverse tra loro
- Possibile redistribuzione
- Tratto A-F: sulla trave insiste il solaio con due campate
- Tratto F-H: solaio con 3 campate

Tratto A-F:

$$g_1 = 3,5 \frac{kN}{m^2} \cdot (0,6 \cdot 5,4 + 0,6 \cdot 6) = 23,9 \frac{kN}{m}$$

$$g_2 = 4,2 \frac{kN}{m^2} \cdot 6,84m = 28,7 \frac{kN}{m}$$

$$q = 2,0 \frac{kN}{m^2} \cdot 6,84m = 13,7 \frac{kN}{m}$$

Tratto F-H:

$$g_1 = 3,5 \frac{kN}{m^2} \cdot (0,6 \cdot 5,4 + 0,5 \cdot 6) = 21,8 \frac{kN}{m}$$

$$g_2 = 4,2 \frac{kN}{m^2} \cdot 6,24m = 26,2 \frac{kN}{m}$$

$$q = 2,0 \frac{kN}{m^2} \cdot 6,24m = 12,5 \frac{kN}{m}$$

NB. Nel carico  $G_1$  andrebbe aggiunto il peso proprio della trave di spina

$$\text{Trave: } 25 \frac{kN}{m^3} \cdot 0,25 m = 6,25 \frac{kN}{m^2}$$

$$\text{Solaio: } 3,25 \frac{kN}{m^2}$$

$$\Delta = 2,75 \frac{kN}{m}$$

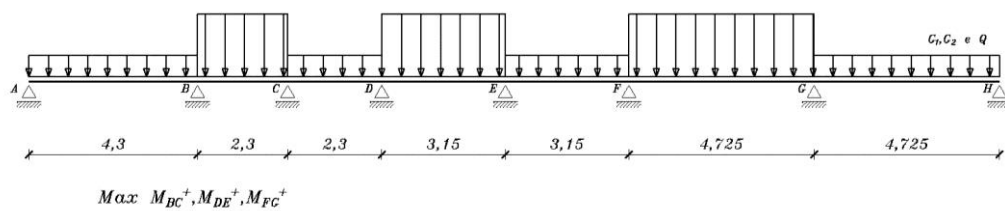
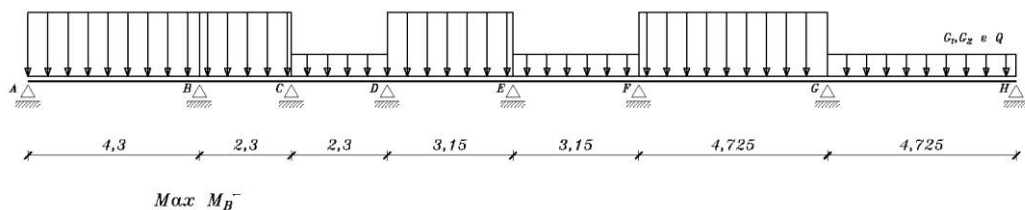
Suppongo di avere una trave  $b=125cm$  (ipotesi di partenza) ottengo un  $\Delta = 3,44 \frac{kN}{m}$  da aggiungere a  $G_1$ .

Riassumendo

$$\text{Tratto A-F: } g_1 = 27,34 \frac{kN}{m} \quad g_2 = 28,7 \frac{kN}{m} \quad q = 13,7 \frac{kN}{m}$$

$$\text{Tratto F-H: } g_1 = 25,24 \frac{kN}{m} \quad g_2 = 26,2 \frac{kN}{m} \quad q = 12,5 \frac{kN}{m}$$

Esempi di combinazioni di carico:



$$1,3G_1 + 1,5(G_2 + Q)$$



$$1 * G_1$$



## 1. ESERCITAZIONE 1

### Combinazioni di carico

- SLU

$$\gamma_{G1} \cdot G_1 + \gamma_{G2} \cdot G_2 + \gamma_{Q1} \cdot Q_1 (+\psi_{0,2} \cdot \gamma_{Q2} \cdot Q_2 \dots)$$

- CARATTERISTICA (RARA), ex tensioni ammissibili, SLE IRREVERSIBILI

$$G_1 + G_2 + Q_1 (+\psi_{0,2} \cdot Q_2 \dots)$$

- FREQUENTE, SLE REVERSIBILI

$$G_1 + G_2 + \psi_{11} \cdot Q_1 (+\psi_{12} Q_2 \dots)$$

$\psi_{1j}$  : coefficiente di non contemporaneità  $\leq 1$ ;  $\psi_{11} = 0,5$

- QUASI PERMANENTE, SLE EFFETTI A LUNGO TERMINE

$$G_1 + G_2 + \psi_{21} Q_1 \quad \psi_{21} = 0,3$$

$$\psi_{2j} \leq \psi_{1j} \leq \psi_{0j}$$

### 1.12 Combinazione fondamentale SLU – Programma TRAVECON

Trave Continua - File: 1) trave di spina-combinazione fondamentale SLU

File Opzioni Impostazioni ?

TITOLO : ESERCITAZIONE CA CAP - TRAVE DI SPINA

Tipo di calcolo delle sollecitazioni: ☐ Esercizio ☒ Stato Limite Ultimo

Numero campate (Compresi Sbalzi) : 7

Appoggi

Camp. N°	Luce	Perm.	Var.	Sez. N°
1	4,3	27,34	42,4	1
2	2,3	27,34	42,4	1
3	2,4	27,34	42,4	1
4	3,15	27,34	42,4	1
5	3,15	27,34	42,4	1
6	4,725	25,24	38,7	1
7	4,725	25,24	38,7	1

App. Largh.

1	0,25
2	0,25
3	0,25
4	0,25
5	0,25
6	0,25
7	0,25
8	0,25

Vincoli di estremità

Sinistra Destra

Appoggio ☒ ☒

Incastro ☐ ☐

Libero ☐ ☐

Elastico ☐ ☐

Diagrammi

☐ Visualizza Deformata

Momento 1: 50

☐ Scale fisse Taglio 1:

Freccia 1: 0,01

N. Punti Plottaggio: 100

Visualizza Stampa

M I M ± T

DWG Esporta Blocco ?

Calcolo

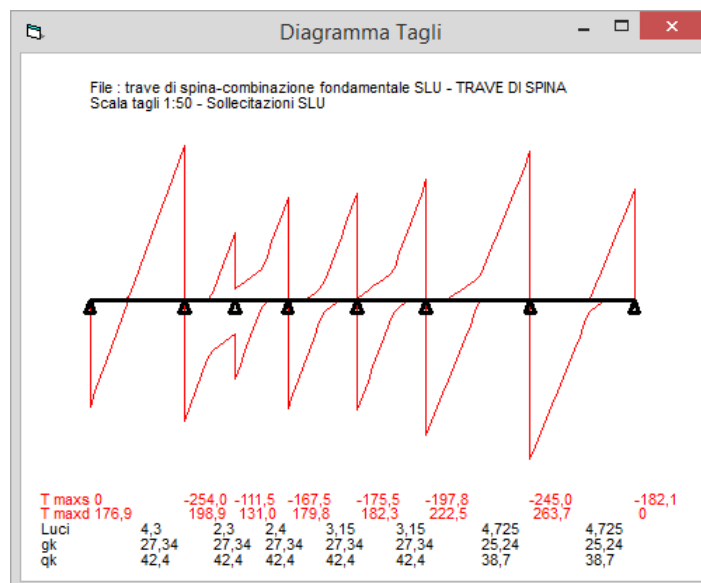
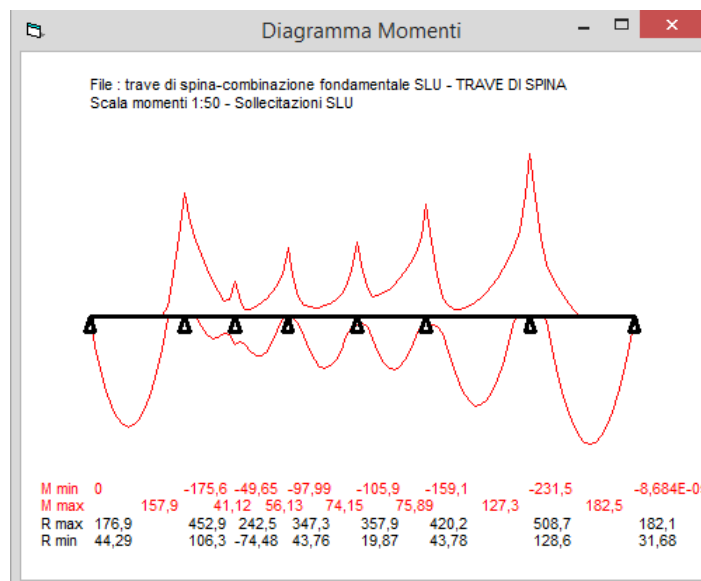
Risultati

Sez.	Mmax	x Mmax	Mmin	x Mmin	f max	f min
1	0		0			
m	157,9	1,771	35,73	1,518	8,10E-03	-6,78E-21
2	-42,54		-175,6			
m	41,12	2,3	-21,2	1,789	3,90E-04	-1,31E-03
3	41,12		-49,65			
m	56,13	0,96	-9,494	0,48	9,66E-04	-5,12E-04
4	-1,987		-97,99			
m	74,15	1,696	-11,92	1,212	2,02E-03	-7,42E-04

Sez.	Tmax s	Tmax d	Rmax	Rmin
1		176,9	176,9	44,29
2	-254	198,9	452,9	106,3
3	-111,5	131	242,5	-74,48
4	-167,5	179,8	347,3	43,76
5	-175,5	182,3	357,9	19,87
6	-197,8	222,5	420,2	43,78
7	-245	263,7	508,7	128,6
8	-182,1		182,1	31,68



### 1.12.1 Diagrammi M e V, combinazione SLU



$G_1$  carico permanente

$G_2 + Q$  carico variabile

Dal menù "opzioni", spuntare "arrotonda momenti sugli appoggi"

Cliccare, nel tipo di calcolo delle sollecitazioni, SLU.

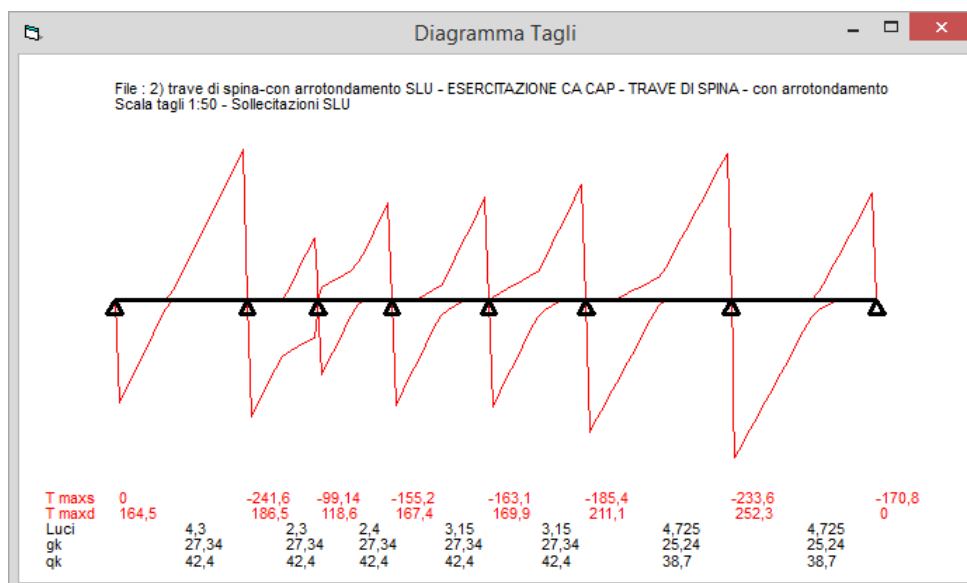
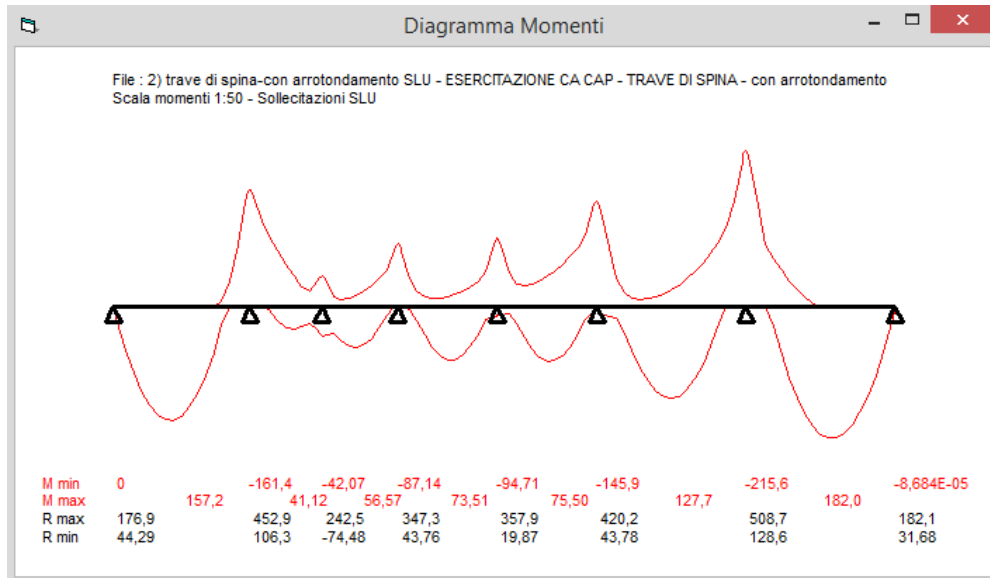
Attenzione che il decalage va considerato in funzione dell'angolo  $\theta$  che si considera nella progettazione:

$$a = \frac{0,9 \cdot d \cdot \cotg\theta}{2}$$

Si ricorda inoltre di verificare il tiro all'appoggio:

$$T = V_{appoggio} * \cotg\theta$$

## 1.12.2 Diagrammi M e V, combinazione SLU con arrotondamento



Senza arrotondamento  $M_{max}^- = -231,5 \text{ KNm}$   $M_{max}^+ = 182,5 \text{ KNm}$

Con arrotondamento  $M_{max}^- = -215,6 \text{ KNm}$   $M_{max}^+ = 182,5 \text{ KNm}$

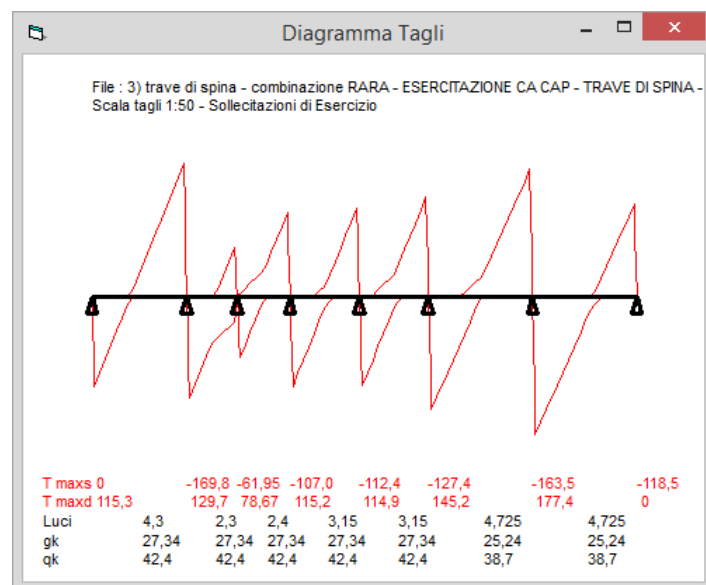
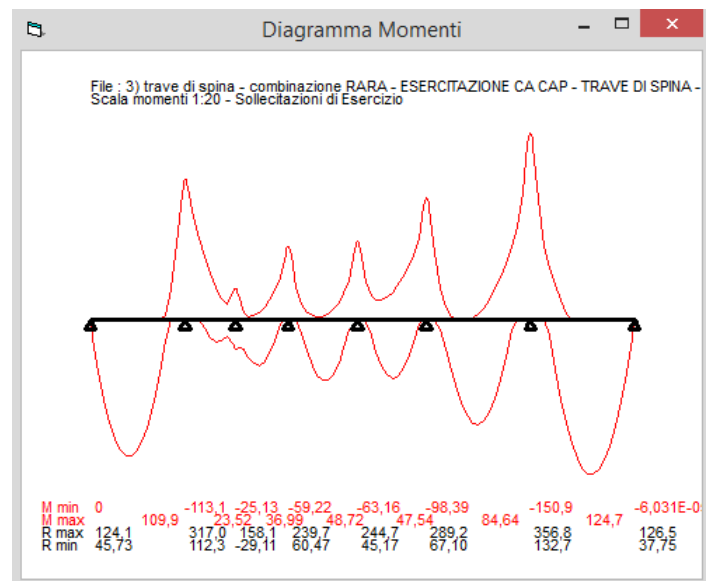
L'arrotondamento dei momenti dovuto ai pilastri, aiuta al negativo. Se viene considerato si devono fare delle ipotesi sul pilastro in quanto. Si ricorda che la progettazione è un metodo iterativo, quindi, in fase di verifica, bisogna andare a porre le reali misure.

$$M_{arrot} \cong M_{max}^- - \frac{R \cdot b}{8} = 231,15 - (233,6 + 252,3) \cdot \frac{925}{8} = 216,3 \text{ KNm} \text{ (99,7\%)}$$

Il decalage è molto importante nelle travi, dove ho fessurazione a taglio:

$$V_{ed} > V_{Rdc}$$

## 1.12.3 Diagrammi M e V, combinazione RARA



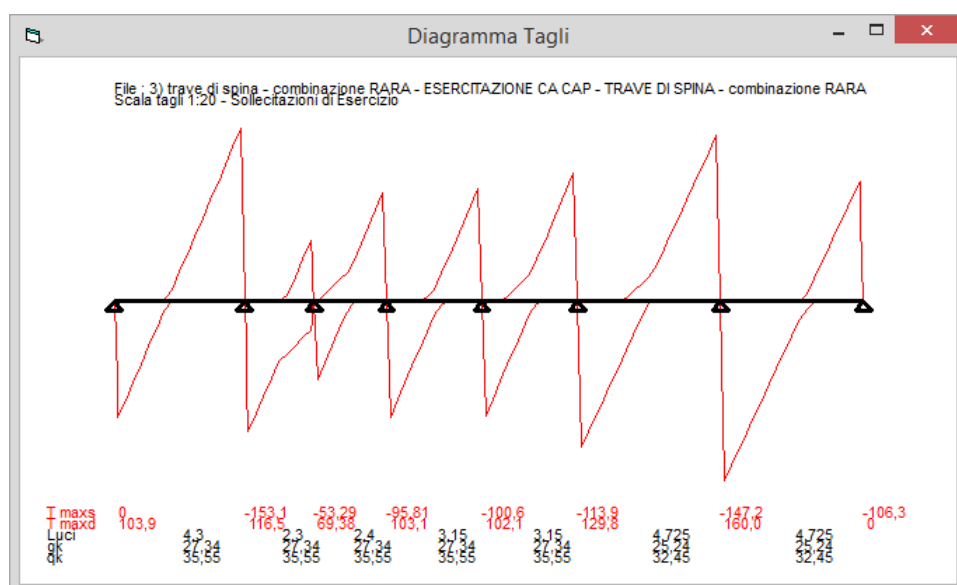
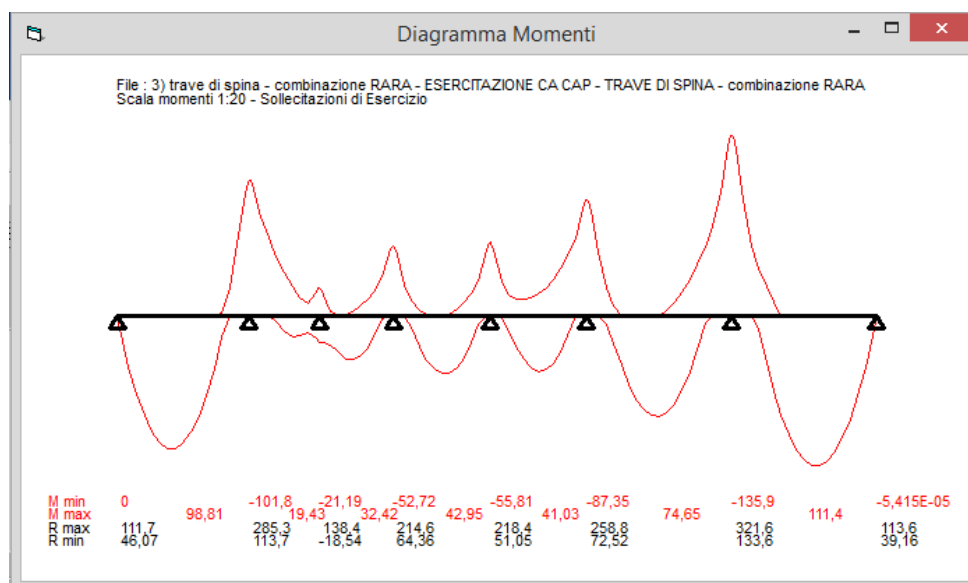
$G_1$  carico permanente

$G_2 + Q$  carico variabile

Dal menù "opzioni", spuntare "arrotonda momenti sugli appoggi"

Cliccare, nel tipo di calcolo delle sollecitazioni, , ESERCIZIO.

### 1.12.4 Diagrammi M e V, combinazione FREQUENTE



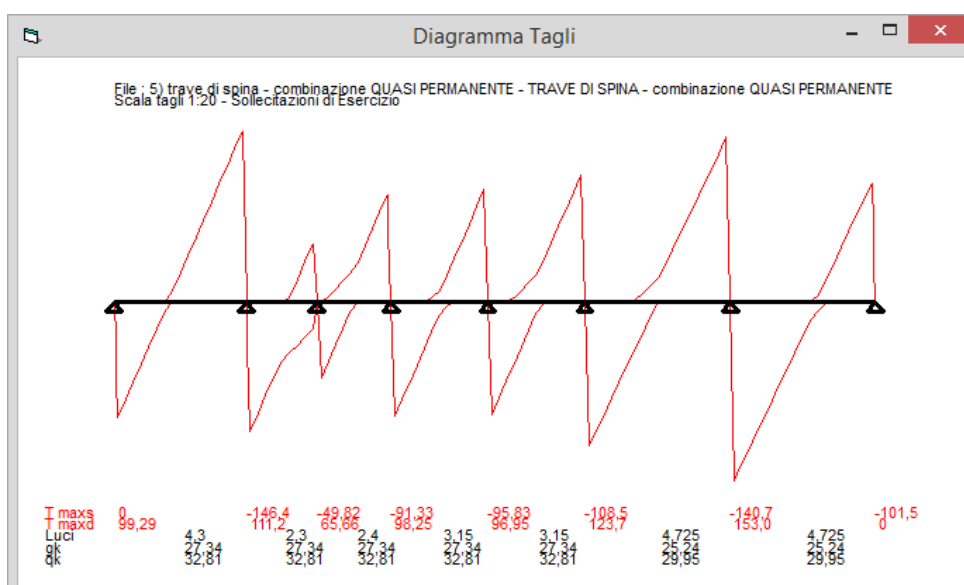
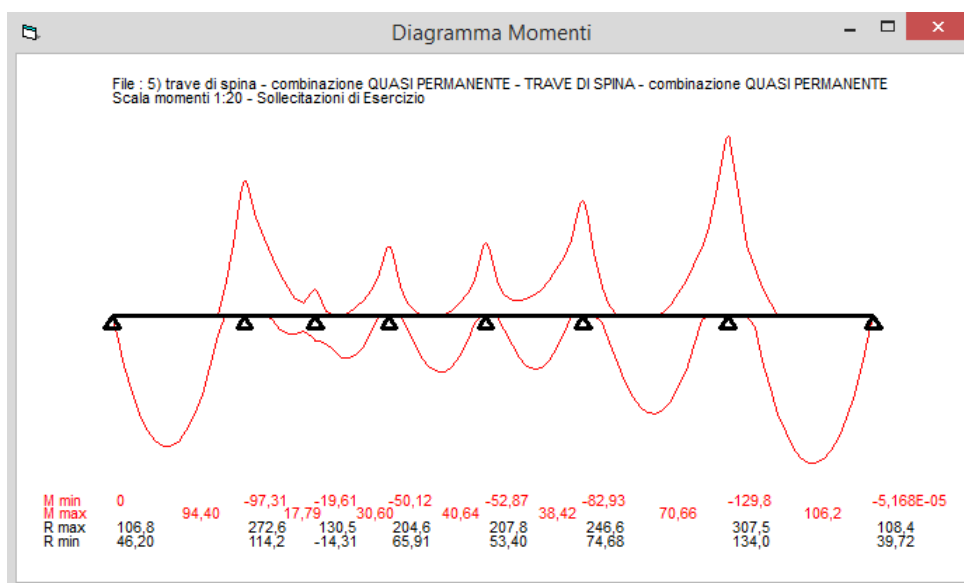
$G_1$  carico permanente

$G_2 + 0,5 \cdot Q$  carico variabile ( $\varphi_{11} = 0,5$ )

Dal menù "opzioni", spuntare "arrotonda momenti sugli appoggi"

Cliccare, nel tipo di calcolo delle sollecitazioni, ESERCIZIO.

### 1.12.5 Diagrammi M e V, combinazione QUASI PERMANENTE



$G_1$  carico permanente

$G_2 + 0,3 \cdot Q$  carico variabile ( $\varphi_{11} = 0,3$ )

Dal menù "opzioni", spuntare "arrotonda momenti sugli appoggi"

Cliccare, nel tipo di calcolo delle sollecitazioni, ESERCIZIO.

### 1.13 Riepilogo azioni interne

		SLU con arrotondamento	RARA	FREQUENTE	QUASI.PERM
$M_{B,max}^-$	kNm	-161,4	-113,1	-101,8	-97,31
$M_{F,max}^-$	kNm	-145,9	-98,39	-84,35	-82,93
$M_{G,max}^-$	kNm	-215,6	-150,9	-135,9	-129,8
$M_{AB,max}^+$	kNm	157,2	109,9	98,81	94,4
$M_{GH,max}^+$	kNm	182,0	124,7	111,4	106,2
$V_{B,sx}$	kN	241,6	169,8	153,1	146,6
$V_{B,dx}$	kN	186,5	129,7	116,5	111,2
$V_{G,sx}$	kN	233,6	163,5	147,2	140,7
$V_{G,dx}$	kN	252,3	177,4	160,0	153,0
$V_H$	kN	170,8	118,5	106,3	101,5

Tabella 1.9: Riepilogo azioni interne

### 1.14 Dimensionamento trave a flessione

In esercizio consideriamo:

$$M_{max}^- = M_{G,max}^- = 150,9 \text{ KNm}$$

$$A_s = \frac{M_{G,max}^-}{0,9 \cdot d \cdot \sigma_{s,ES}} = \frac{150,9 \cdot 10^6 \text{ Nmm}}{0,9 \cdot 210 \text{ mm} \cdot 260 \text{ MPa}} = 3071 \text{ mm}^2$$

$$\text{Scelgo } 10 \phi 20 = 3140 \text{ mm}^2$$

Determino la larghezza della trave imponendo una percentuale di armatura tesa compresa tra 0,5 – 0,7% e 1 – 1,3% (per garantire un comportamento duttile).

Scelgo  $\rho = 1,2\%$  quindi si calcola la base:

$$\rho = \frac{A_s}{b \cdot d}$$

$$B = \frac{A_s}{\rho \cdot d} = \frac{31,40 \text{ cm}^2}{0,012 \cdot 21 \text{ cm}} = 124,6 \text{ cm}$$

$$B = 125 \text{ cm}$$

Valore al limite. La scelta di trave in spessore di solaio (20 + 5) ha determinato una trave di spina molto larga e con  $\rho = 1,2\%$ .

$A'_s = \chi \cdot A_s$  con  $\chi = \frac{A'_s}{A_s} = 0,5 \div 0,8$  in corrispondenza degli appoggi di continuità ( $\chi = \frac{1}{4} \div \frac{1}{2}$  altrove)

$$A'_s = 5 \phi 20 = 1570 \text{ mm}^2 = 15,7 \text{ cm}^2$$

Attenzione però ai reggistaffa. Si potrebbero utilizzare 6  $\phi 20$  o 6  $\phi 16$ , però se si usano questi ultimi, va cambiata l'armatura tesa combinando  $\phi 16$  con  $\phi 20$ .

### 1.15 Verifica flessionale

Dati:

$$f_{cd} = 14,2 \text{ MPa}$$

$$b = 1250 \text{ mm}$$

$$A_s = 3140 \text{ mm}^2$$

$$A'_s = 1570 \text{ mm}^2$$

$$\varepsilon_u = 3,5 \text{ ‰}$$

$$d' = 40 \text{ mm}$$

$$E_s = 210000 \text{ MPa}$$

Dalla equazione alla traslazione orizzontale si ricava:

$$\bar{x} = 59,71 \text{ mm}$$

$$M_{Rd} = 222,5 \text{ kNm}$$

#### 1.15.1 Verifica agli SLU

$$M_{Ed} = 215,6 \text{ kNm}$$

$$M_{Rd} = 221,8 \text{ kNm}$$

$$\psi = \frac{M_{Rd}}{M_{Ed}} = 1,03 \quad \text{VERIFICATO}$$

Anche con  $B = 120 \text{ cm}$  ( $\rho = 1,25\%$ ) si ottiene  $M_{Ed} = 221,1 \text{ kNm}$  ( $\Psi = 1,025$ ).

## 1. ESERCITAZIONE 1

### 1.15.2 Metodo n

Verifica C.A. S.L.U. - File: metodo n

File Materiali Opzioni Visualizza Progetto Sez. Rett. Sismica Normativa: NTC 2008 ?

TITOLO : ESERCITAZIONE CA CAP - TRAVE SPINA metodo n

N° figure elementari 1 Zoom N° strati barre 2 Zoom

N°	b [cm]	h [cm]
1	125	25

N°	As [cm²]	d [cm]
1	15,71	4
2	31,4	21

Tipo Sezione  
☒ Rettan.re ☐ Trapezi  
☐ a T ☐ Circolare  
☐ Rettangoli ☐ Coord.

Sollecitazioni  
 S.L.U. ☒ Metodo n ☐

N<sub>Ed</sub> 0 0 kN  
 M<sub>xEd</sub> 0 150,9 kNm  
 M<sub>yEd</sub> 0 0

P.to applicazione N  
☒ Centro ☐ Baricentro cls  
☐ Coord.[cm] xN 0 yN 0

Metodo di calcolo  
☐ S.L.U.+ ☐ S.L.U.-  
☒ Metodo n

Materiali

B450C		C25/30	
$\epsilon_{su}$	67,5 ‰	$\epsilon_{c2}$	2 ‰
$f_{yd}$	391,3 N/mm²	$\epsilon_{cu}$	3,5 ‰
$E_s$	200.000 N/mm²	$f_{cd}$	14,17 N/mm²
$\epsilon_s / \epsilon_c$	15	$f_{cc} / f_{cd}$	0,8
$\epsilon_{syd}$	1,957 ‰	$\sigma_{c,adm}$	9,75 N/mm²
$\sigma_{s,adm}$	255 N/mm²	$\tau_{co}$	0,6 N/mm²
		$\tau_{c1}$	1,829 N/mm²

$\sigma_c$  -12,6 N/mm²  
 $\sigma_s$  268,5 N/mm²

Verifica

N° iterazioni: 4

☐ Precompresso

$\epsilon_s$  1,343 ‰  
 d 21 cm  
 x 8,675 x/d 0,4131  
 $\delta$  0,9564

Problema nel calcestruzzo compresso se ci basiamo sulle tensioni ammissibili.

$$\sigma_c = 126 \frac{kg}{cm^2} \text{ Molto alta}$$

$$\bar{x} = 8,67 \text{ mm}$$

Alle tensioni ammissibili avrei dovuto aumentare ulteriormente B e  $\rho$  con:

$$B = 150 \text{ cm}$$

$$H = 25 \text{ cm}$$

$$A_s = 14 \phi 20$$

$$A'_s = 8 \phi 20$$

$$\bar{x} = 8,98 \text{ mm}$$

$$\sigma_c = 96,21 \frac{kg}{cm^2}$$

$$\sigma_s = 1931 \frac{kg}{cm^2}$$

Anche se sarebbe stata sufficiente  $B = 125 \text{ cm}$ .



### 1.15.3 Ridistribuzione

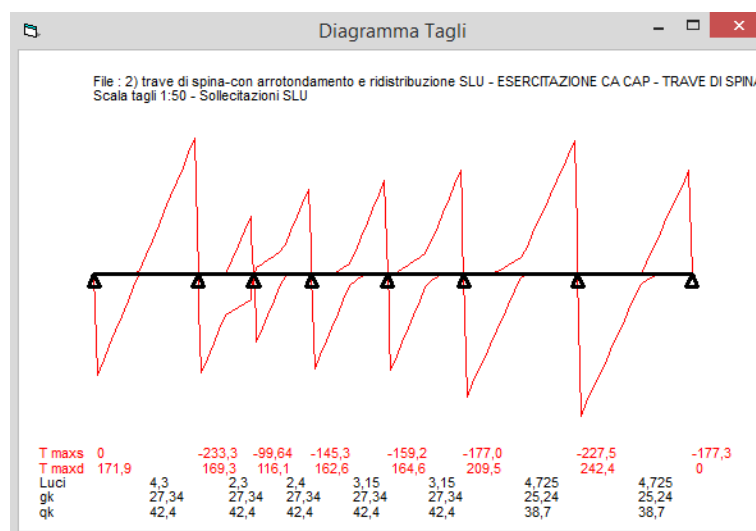
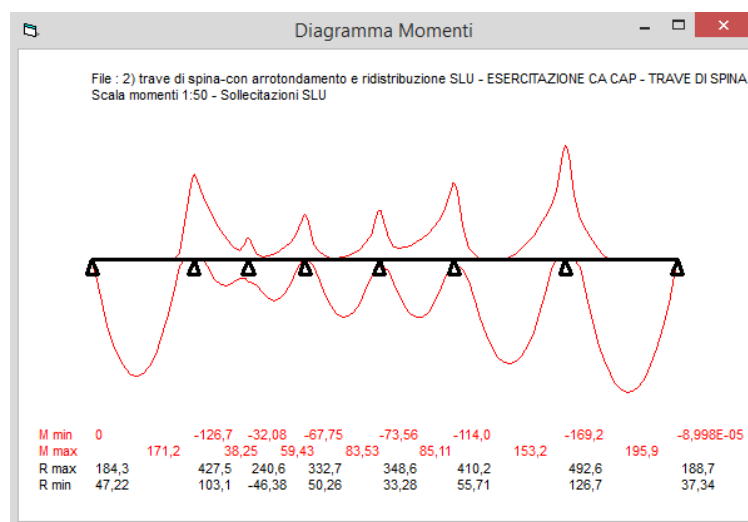
$$\frac{x}{d} = 0,286$$

La ridistribuzione è ammessa in travi continue con luci contigue con rapporti compresi tra 0,5 e 2 (rispettata nel nostro caso avendo  $\frac{L_{min}}{L_{max}} = \frac{2,3}{4,725} = 0,49$ ). Se è rispettata la condizione si può far senza esplicite verifiche in merito alla duttilità.

Con più il rapporto  $\frac{x}{d}$  è piccolo maggiore sarà la curvatura a favore di un'elevata la duttilità.

Massima ridistribuzione:

$$\delta = \frac{M_{dopo\ rid}}{M_{prima\ rid}} = 0,7$$



$$\delta \geq 0,44 + 1,25 \left( 0,6 + \frac{0,004}{\varepsilon_{cu}} \right) \frac{x}{d} = 0,44 + 1,25 \left( 0,6 + \frac{0,004}{0,0035} \right) 0,286 = 0,7975$$

$$f_{ck} \leq 50 \text{ MPa} \quad (\text{NTC 4.1.1.1})$$

$$0,286 = \text{da verifica con VCA\_SLU}$$

$$0,7975 = \text{calcolato anche dal programma VCA\_SLU}$$

$$M_{prima\ rid} = 215,6 \text{ kNm}$$

$$M_{dopo\ rid} = 169,2 \text{ kNm}$$

$$\delta = \frac{M_{dopo\ rid}}{M_{prima\ rid}} = 0,785$$

Tuttavia si ha:

$$M_{max}^+ = 195,9 \text{ kNm}$$

In questo esempio non ho vantaggi evidenti nelle ridistribuzioni, anche se erano già molto simili i momenti; la cosa migliore sarebbe avere i momenti uguali (al positivo e al negativo) per ottimizzare la progettazione: quindi sarebbe meglio ottimizzare  $\delta$  tra 0,7975 e 1.

Con  $\delta = 0,9$  si ottiene:

$$M_{max,G}^- = -192,7 \text{ kNm}$$

$$M_{max,GH}^+ = 188,8 \text{ kNm}$$

Ottimizzo in questo modo l'armatura, la sua messa in opera e l'esecuzione. Anche il taglio viene modificato, anche se l'effetto è inferiore.

Utilizzando  $M_{max,GH}^+ = -192,7 \text{ kNm}$  potrei ottimizzare la progettazione con:

$$B = 110 \text{ cm}$$

$$H = 25 \text{ cm}$$

$$d = 21 \text{ cm}$$

$$A_s = 9 \phi 20 = 28,27 \text{ cm}^2$$

$$A'_s = 4 \phi 20 = 12,57 \text{ cm}^2$$

Allo SLU:

$$\bar{x} = 6,25 \text{ mm}$$

$$M_{Rd} = 199,1 \text{ kNm} \quad (\Psi = 1,03)$$

Rottura lato calcestruzzo con acciaio snervato ( $\rho = 1,22\%$ ). In esercizio lavorerebbe tuttavia a tassi di lavoro molto alti.

Verifica C.A. S.L.U. - File: SLU con redistribuzione

File Materiali Opzioni Visualizza Progetto Sez. Rett. Sismica Normativa: NTC 2008 ?

Titolo: ESERCITAZIONE CA CAP - TRAVE SPINA SLU con redistribuzione

N° figure elementari 1 Zoom N° strati barre 2 Zoom

N°	b [cm]	h [cm]
1	110	25

N°	As [cm²]	d [cm]
1	12.57	4
2	28.27	21

Sollecitazioni S.L.U. Metodo n

N<sub>Ed</sub> 0 kN  
M<sub>xEd</sub> 192.7 kNm  
M<sub>yEd</sub> 0 kNm

P.to applicazione N  
Centro Baricentro cls  
Coord. [cm] xN 0 yN 0

Tipo rottura  
Lato calcestruzzo - Acciaio snervato

Materiali

B450C		C25/30	
ε <sub>su</sub>	67.5 ‰	ε <sub>c2</sub>	2 ‰
f <sub>yd</sub>	391.3 N/mm²	ε <sub>cu</sub>	3.5 ‰
E <sub>s</sub>	200.000 N/mm²	f <sub>cd</sub>	14.17 N/mm²
E <sub>s</sub> /E <sub>c</sub>	15	f <sub>cc</sub> /f <sub>cd</sub>	0.8
ε <sub>syd</sub>	1.957 ‰	σ <sub>c,adm</sub>	9.75 N/mm²
σ <sub>s,adm</sub>	255 N/mm²	τ <sub>co</sub>	0.6
		τ <sub>c1</sub>	1.829

M<sub>xRd</sub> 199.1 kNm

σ<sub>c</sub> -14.17 N/mm²  
σ<sub>s</sub> 391.3 N/mm²  
ε<sub>c</sub> 3.5 ‰  
ε<sub>s</sub> 8.255 ‰  
d 21 cm  
x 6.253 x/d 0.2977  
δ 0.8122

Tipo Sezione  
Rettan.re Trapezi  
a T Circolare  
Rettangoli Coord.

Metodo di calcolo  
S.L.U. + S.L.U.  
Metodo n

Tipo flessione  
Retta Deviata

N° rett. 100

Calcola MRd Dominio M-N

L<sub>0</sub> 0 cm Col. modello

Precompresso

### 1.16 Verifica a Taglio

$$V_{max,SLU} = V_{G,dx} = 252,3 \text{ KN}$$

Calcolo il contributo del calcestruzzo a trazione (ingranamento-spinotto-calcestruzzo-compresso):

$$V_{Rd} = \left( \frac{0,18}{\gamma_c} \cdot k(100 \cdot \rho_L \cdot f_{ck})^{1/3} + 0,15 \cdot \sigma_{cp} \right) \cdot b_w \cdot d \geq \left( 0,035 \cdot k^{3/2} \cdot f_{ck}^{1/2} + 0,15 \cdot \sigma_{cp} \right) \cdot b_w \cdot d$$

NB. Tutte le misure devono essere in mm.

Con:

$$\gamma_c = 1,5$$

$$k = 1 + \sqrt{\frac{200}{210}} = 1,98 \leq 2 \quad \text{effetto scala}$$

$$\rho_L = 1,2 \quad \text{ben ancorata } (\leq 2\%), \text{ in } G (\rho_L \leq 2\%)$$

$$\sigma_{cp} = 0 \quad \text{precompressione/azione di compressione}$$

$$V_{Rd} = \begin{cases} \left( \frac{0,18}{1,5} \cdot 1,98(100 \cdot 0,012 \cdot 25)^{1/3} \right) \cdot 1250 \cdot 210 = 194 \text{ KN} \\ \left( 0,035 \cdot 1,98^{3/2} \cdot 25^{1/2} \right) \cdot 1250 \cdot 210 = 128 \text{ KN} \end{cases}$$

$$V_{Rd} = 194 \text{ KN} < V_{G,dx}$$

Per:

$$V_{Ed}(=V_{G,dx}) < V_{Rd}$$

Si avrà armatura minima a taglio  $\left\{ \begin{array}{l} A_{st} \geq 1,5 \cdot b \text{ mm}^2/m \quad b = b_w \quad A_{st} = 1875 \text{ mm}^2/m \\ \text{almeno 3 staffe/m} \\ \text{passo} \leq 0,8 \cdot d \end{array} \right.$

Per:

$$V_{Ed} > V_{Rd}$$

Armatura a taglio di calcolo per equilibrio:  $V_{Ed}$  viene tutto affidato alle staffe. Utilizziamo il metodo del traliccio ad inclinazione variabile:

Con staffe:

$$V_{Rd} = \text{MIN}(V_{Rds}; V_{Rc})$$

$V_{Rds}$ : meccanismo taglio-trazione (staffe snervate)

$V_{Rdc}$ : meccanismo taglio-compressione (puntone calcestruzzo allo SLU)

$$V_{Rds} = 0,9 \cdot \frac{A_{sw}}{s} \cdot f_{yd} \cdot (\cot\alpha + \cot\theta) \cdot \sin\alpha \cdot d$$

$\alpha$ : inclinazione staffe ( $\alpha = 90^\circ$ )

$\theta$ : inclinazione puntone  $21,8^\circ \leq \theta \leq 45^\circ$

Verificare tiro all'appoggio:

$$T_{appoggio} = V_{appoggio} \cdot \cot\theta$$

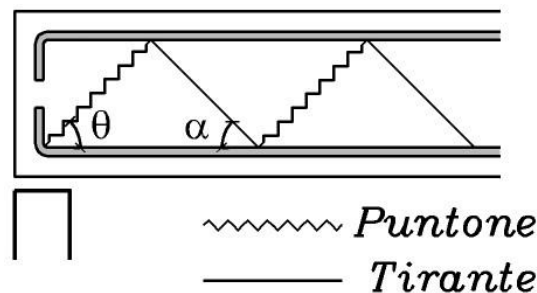


Figura 1.29: Schema puntone-tirante nella trave

$\theta$  va opportunatamente scelto:

- $\theta$  più bassi: meno armatura a taglio ( $\theta = 21,8^\circ$  minimo)
- $\theta$  più alti: più armatura trasversale ma le barre longitudinali sono meno impiegate all'appoggio
- $\theta$  può essere scelto imponendo che  $V_{Rds} > V_{Rdc}$  (contemporanea rottura tra staffe e puntone) tenendo presente che  $21,8^\circ \leq \theta \leq 45^\circ$
- Per travi in spessore:  $\theta = 30^\circ - 35^\circ$  (da sperimentazione)
- Per travi fuori spessore o alte:  $\theta = 45^\circ$

Si arma a taglio partendo dall'armatura minima:

$$\begin{cases} A_{st} \geq 1,5 \cdot b \text{ mm}^2/m & b = b_w = 125 \text{ cm} & A_{st} = 1875 \text{ mm}^2/m \\ & 3 \text{ staffe/m} \\ & \text{passo } s \leq 0,8 \cdot d = 168 \text{ mm} \end{cases}$$

In più da EC2:

$$\rho_{w,min} = \frac{A_{sw}}{s \cdot b_w \cdot st_{max}} \geq \frac{0,08 \cdot \sqrt{f_{ck}}}{f_{yk}} = 0,1\%$$

$$st_{max} = 0,75 \cdot d \leq 600 \text{ mm} = 160 \text{ mm}$$

$st_{max}$ : passo trasversale, molto restrittiva per travi in spessore

Adotto  $\phi$  8 con 6 bracci a 150 mm ( $\phi$  8/150 mm)

$$A_{st} = \frac{1000}{150} \cdot 6 \cdot \frac{8^2 \cdot \pi}{4} = 2000 \text{ mm}^2/m$$

$$\rho_{w,min} = \frac{6,50 \text{ mm}}{150 \cdot 1250 \text{ mm}^2} = 0,16\% \geq 0,1\%$$

$$st_{max} = \frac{1250}{7} = 178 > 160 \quad \text{questa prescrizione non si adatta per travi in spessore}$$

Se si utilizzano  $\theta$  bassi (ad esempio  $\theta = 21,8^\circ$ ) confrontare sempre l'armatura di calcolo con l'armatura minima.

Si verifica se 6 bracci  $\phi$  8/150 mm sono sufficienti anche nelle zone dove occorre armatura di calcolo:

$$V_{R,ds} = 0,9 \cdot d \cdot \frac{A_{sw}}{s} \cdot f_{yd} \cdot \cot\theta = 0,9 \cdot 210 \text{ mm} \cdot \frac{6 \cdot 0,50 \text{ mm}^2}{150 \text{ mm}} \cdot 391,3 \frac{\text{N}}{\text{mm}^2} \cdot \cot 30^\circ = 256 \text{ KN} > V_{G,dx}$$

$$\cot 30^\circ = 1,73$$

$$(\alpha = 90^\circ)$$

Con  $\theta = 30^\circ$  l'armatura minima è sufficiente anche nelle zone dove serve armatura di calcolo. Armo l'intera trave con  $\phi$  8/150 mm a 6 bracci.

Si verifica il meccanismo taglio-compressione (ampiamente verificato in travi in spessore):

$$V_{R,dc} = 0,9 \cdot d \cdot b \cdot \alpha_c \cdot f'_{cd} \cdot \frac{(\cot\alpha + \cot\theta)}{1 + \cot^2\theta} = 0,9 \cdot d \cdot b \cdot \alpha_c \cdot f'_{cd} \cdot \frac{\cot\theta}{1 + \cot^2\theta}$$

$$f'_{cd} = 0,5 \cdot f_{cd} = 0,5 \cdot 14,2 = 7,1 \text{ MPa} \quad (\text{fessurazione a taglio})$$

$$\alpha_c = 1 \quad (\text{migliorativo se } \alpha_{cp} = 0)$$

$$\cot\theta = \cot 30^\circ = 1,73$$

$$1 + \cot^2 30^\circ = 4$$

Si ottiene:

$$V_{R,dc} = 0,9 \cdot 210 \text{ mm} \cdot 1250 \text{ mm} \cdot 1 \cdot 7,1 \frac{\text{N}}{\text{mm}^2} \cdot \frac{\cot 30^\circ}{1 + \cot^2 30^\circ} = 726 \text{ KN} \gg V_{G,dx}$$

**NB.**

$$\theta = 21,8^\circ \begin{cases} V_{R,ds} = 370 \text{ KN} \\ V_{R,dc} = 578 \text{ KN} \end{cases} \quad \theta = 45^\circ \begin{cases} V_{R,ds} = 148 \text{ KN} \\ V_{R,dc} = 839 \text{ KN} \end{cases}$$

Si nota come tra  $\theta = 21,8^\circ$  e  $\theta = 45^\circ$  si può diminuire di 2,5 volte l'armatura a taglio. Con  $\theta$  bassi spesso è sufficiente l'armatura minima a taglio però si deve fare attenzione al tiro all'appoggio e quindi verificare con attenzione l'ancoraggio delle barre alle estremità.

### 1.17 Verifiche tensionali in esercizio

Come da normativa, la verifica in esercizio, deve essere effettuata per le 2 combinazioni: rara e la quasi permanente.

Considero l'appoggio G (non prendiamo in considerazione la ridistribuzione in quanto ha senso solo allo SLU).

- Combinazione caratteristica (rara)

$$1,0 \cdot G_1 + 1,0 \cdot G_2 + 1,0 \cdot Q$$

Per l'appoggio G si ha:

$$M_G^- = -150,9 \text{ kN} \cdot \text{m}$$

$$B = 125 \text{ cm}$$

$$H = 25 \text{ cm}$$

$$d = 21 \text{ cm}$$

$$A_s = 10\phi 20$$

$$A'_s = 5\phi 20$$

$$\rho_s = 1,2\%$$

Da cui si ricavano (n=15):

$$\bar{x} = 8,68 \text{ cm}$$

$$J_{id} = 103935 \text{ cm}^4$$

$$\sigma_c = 125,97 \frac{\text{Kg}}{\text{cm}^2} < 0,6 f_{ck} = 150 \frac{\text{Kg}}{\text{cm}^2}$$

$$\sigma_s = 2684 \frac{\text{Kg}}{\text{cm}^2} < 0,8 f_{ck} = 3600 \frac{\text{Kg}}{\text{cm}^2}$$

$$\sigma'_s = 1018 \frac{\text{Kg}}{\text{cm}^2} < 0,8 f_{yk} = 3600 \frac{\text{Kg}}{\text{cm}^2}$$

- Combinazione quasi permanente

$$1,0 \cdot G_1 + 1,0 \cdot G_2 + 0,3 \cdot Q$$

Con  $M_G^- = -129,8 \text{ kN} \cdot \text{m}$  si ricavano:

$$\bar{x} = 8,68 \text{ cm}$$

$$J_{id} = 103935 \text{ cm}^4$$

$$\sigma_c = 108,36 \frac{\text{Kg}}{\text{cm}^2} < 0,45 f_{ck} = 112,5 \frac{\text{Kg}}{\text{cm}^2}$$

$$\sigma_s = 2309 \frac{\text{Kg}}{\text{cm}^2} < 0,8 f_{ck} = 3600 \frac{\text{Kg}}{\text{cm}^2}$$

$$\sigma'_s = 876 \frac{\text{Kg}}{\text{cm}^2} < 0,8 f_{yk} = 3600 \frac{\text{Kg}}{\text{cm}^2}$$

Osservazione:

$n = 15$  è un buon compromesso tra i carichi istantanei ( $n = \frac{E_s}{E_c} = 6 \div 7$ ) e carichi di lunga durata ( $n = \frac{E_s}{E_{c,eff}} = \frac{E_s}{\frac{E_c}{1+\phi}}$  con  $\phi$  : coefficiente di viscosità  $\phi = 2 \div 3$ ).

In generale  $6 \leq n \leq 21$ . A livello teorico  $n$  cresce dalla combinazione rara a quella quasi permanente, in cui prevalgono gli effetti a lungo termine. Si veda la circolare applicata NTC § 4.1.2.2.5.

Le verifiche in esercizio possono risultare non verificate con la soluzione ottimizzata allo SLU con la ridistribuzione. Occorre quindi, in questi casi, fare molta attenzione agli effetti sul buon comportamento in esercizio.

### 1.17.1 Dettagli costruttivi trave di spina (NTC 4.1.6.1.1)

- Armatura flessionale minima

$$A_{s,min} = 0,26 \frac{f_{ctm}}{f_{yk}} \cdot b_t \cdot d > 0,0013 b_t \cdot d \quad \rho_{min} = 0,13\%$$

$b_t$  : larghezza media della zona tesa

$$A_{s,min} = 0,26 \cdot \frac{2,56}{450} \cdot 1250 \cdot 210 = 388 mm^2$$

$$A_{s,min} = 0,0013 \cdot 1250 \cdot 210 = 341 mm^2$$

$$A_{s,min} = 388 mm^2 \text{ quindi sarebbero sufficienti } 4 \text{ reggistaffa } \phi 12$$

- Appoggio di estremità

L'acciaio inferiore, all'appoggio, deve resistere ad una forza pari al taglio

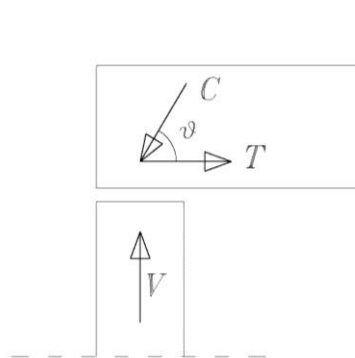


Figura 1.30: Appoggio di estremità

C: puntone compresso inclinato di un angolo  $\theta$

T: tiro dell'armatura di appoggio

V: taglio (reazione vincolare)

$$T = V \cot \theta \quad \text{se } \theta = 45^\circ \text{ (caso classico)}$$

NB:  $\theta$  deve essere concorde con la scelta per il dimensionamento delle staffe.

## 1. ESERCITAZIONE 1

- $A_{s,appoggio} \geq \frac{V_{sd}}{f_{yd}} = \frac{V_H}{f_{yd}} = \frac{182,1kN}{391MPa} = 465mm^2$
- $A_{s,max} \leq 0,04 A_c$  (4%)!
- Armatura estradosso  $M_{Rd}^- \geq 15\% M_{Rd}^+$  in campata (congruenza) (EC2 9.2.1.2)
- Appoggi di continuità

$$\chi = \frac{A'_s}{A_s} \geq 0,25$$

Spesso  $\chi = 0,5 \div 0,8$  per problemi di verifica tensionale in esercizio.

### 1.17.2 Verifiche di fessurazione attraverso il metodo indiretto/tabellare

**Tabella 4.1.III** – Descrizione delle condizioni ambientali

CONDIZIONI AMBIENTALI	CLASSE DI ESPOSIZIONE
Ordinarie	X0, XC1, XC2, XC3, XF1
Aggressive	XC4, XD1, XS1, XA1, XA2, XF2, XF3
Molto aggressive	XD2, XD3, XS2, XS3, XA3, XF4

Tabella 1.10 - Descrizione delle condizioni ambientali

Le armature si distinguono in due gruppi:

- Armature sensibili;
- Armature poco sensibili.

Appartengono al primo gruppo gli acciai da precompresso. Appartengono al secondo gruppo gli acciai ordinari. Per gli acciai zincati e per quelli inossidabili si può tener conto della loro minor sensibilità alla corrosione.

**Tabella 4.1.IV** – Criteri di scelta dello stato limite di fessurazione

Gruppi di esigenze	Condizioni ambientali	Combinazione di azioni	Armatura			
			Sensibile		Poco sensibile	
			Stato limite	$w_d$	Stato limite	$w_d$
<b>a</b>	Ordinarie	frequente	ap. fessure	$\leq w_2$	ap. fessure	$\leq w_3$
		quasi permanente	ap. fessure	$\leq w_1$	ap. fessure	$\leq w_2$
<b>b</b>	Aggressive	frequente	ap. fessure	$\leq w_1$	ap. fessure	$\leq w_2$
		quasi permanente	decompressione	-	ap. fessure	$\leq w_1$
<b>c</b>	Molto aggressive	frequente	formazione fessure	-	ap. fessure	$\leq w_1$
		quasi permanente	decompressione	-	ap. fessure	$\leq w_1$

Tabella 1.11 - Criteri di scelta dello stato limite di fessurazione

$w_1=0,2$  mm;  $w_2=0,3$  mm;  $w_3=0,4$  mm



**Tabella C4.1.II** *Diametri massimi delle barre per il controllo di fessurazione*

Tensione nell'acciaio $\sigma_s$ [MPa]	Diametro massimo $\phi$ delle barre (mm)		
	$w_3 = 0,4$ mm	$w_2 = 0,3$ mm	$w_1 = 0,2$ mm
160	40	32	25
200	32	25	16
240	20	16	12
280	16	12	8
320	12	10	6
360	10	8	-

*Tabella 1.12 - Diametri massimi delle barre per il controllo di fessurazione***Tabella C4.1.III** *Spaziatura massima delle barre per il controllo di fessurazione*

Tensione nell'acciaio $\sigma_s$ [MPa]	Spaziatura massima $s$ delle barre (mm)		
	$w_3 = 0,4$ mm	$w_2 = 0,3$ mm	$w_1 = 0,2$ mm
160	300	300	200
200	300	250	150
240	250	200	100
280	200	150	50
320	150	100	-
360	100	50	-

*Tabella 1.13 - Spaziatura massima delle barre per il controllo di fessurazione*

### 1.17.3 Verifiche di deformabilità attraverso il metodo indiretto/tabellare

**Tabella C4.1.I** Valori di  $K$  e snellezze limite per elementi inflessi in c.a. in assenza di compressione assiale

Sistema strutturale	K	Calcestruzzo molto sollecitato $\rho=1,5\%$	Calcestruzzo poco sollecitato $\rho=0,5\%$
Travi semplicemente appoggiate, piastre incernierate mono o bidirezionali	1,0	14	20
Campate terminali di travi continue o piastre continue monodirezionali o bidirezionali continue sul lato maggiore	1,3	18	26
Campate intermedie di travi continue o piastre continue mono o bidirezionali	1,5	20	30
Piastre non nervate sostenute da pilastri (snellezza relativa alla luce maggiore)	1,2	17	24
Mensole	0,4	6	8
<p>Note: Le snellezze limite sono state valutate ponendo, nella formula C4.1.13, <math>f_{ck}=30</math> MPa e <math>\left[ \frac{500A_{s,eff.}}{f_{yk}A_{s,calc.}} \right] = 1</math>.</p> <p>Per piastre bidirezionali si fa riferimento alla luce minore; per piastre non nervate si considera la luce maggiore.</p> <p>I limiti per piastre non nervate sostenute da pilastri corrispondono ad una freccia in mezzera maggiore di 1/250 della luce: l'esperienza ha dimostrato che, comunque, tali limiti sono soddisfacenti.</p>			

Nel caso di elementi in c.a.p. si può applicare la tabella C4.1.1 moltiplicando il valore di  $K$  per 1,2.

*Tabella 1.14 - Valori di  $K$  e snellezze per elementi inflessi in c.a. in assenza di compressione assiale*

### 1.17.4 Verifica di fessurazione

Nel nostro caso si va a considerare:

- Condizioni ambientali: ordinarie
  - Combinazione frequente  $w_d \leq w_3 = 0,4 \text{ mm}$
  - Combinazione quasi permanente  $w_d \leq w_2 = 0,3 \text{ mm}$

$$w_d = 1,7w_m$$

Il calcolo diretto è molto lungo in accordo a NTC 4.1.2.2.4.6 oppure a circolare applicativa. Da Tabella 1.12 - Diametri massimi delle barre per il controllo di fessurazione in funzione di  $\sigma_s$ .

si valuta la fessurazione in G dove il momento è massimo in combinazione frequente:

$$M_{G,max}^- = -135,9 \text{ kNm}$$

$$\bar{x} = 8,68 \text{ cm}$$

$$J_{id} = 103935 \text{ cm}^4$$

$$\sigma_c = 113,45 \frac{\text{Kg}}{\text{cm}^2}$$

$$\sigma_s = 2418 \frac{Kg}{cm^2}$$

Valutiamo a quanto lavora l'armatura tesa, per  $w_3$ :

$$\sigma_s = 160MPa \quad \phi_{max} = 40mm$$

$$\sigma_s = 200MPa \quad \phi_{max} = 32mm$$

$$\sigma_s = 240MPa \quad \phi_{max} = 20mm \text{ OK (errore 0,7\%).}$$

Sicuramente è verificato con il calcolo diretto.

- Combinazione quasi permanente

$$M_{G,max}^- = -129,8kNm$$

$$\bar{x} = 8,68cm$$

$$J_{id} = 103935cm^4$$

$$\sigma_c = 108,36 \frac{Kg}{cm^2}$$

$$\sigma_s = 2309 \frac{Kg}{cm^2}$$

Considerando  $w_2$

$$\sigma_s = 200MPa \quad \phi_{max} = 25mm$$

$$\sigma_s = 240MPa \quad \phi_{max} = 16mm$$

Tramite un'interpolazione per  $\sigma_s = 230,9 MPa$  si ottiene  $\phi_{max} = 19mm$ . Non sarebbe verificato, ma dato che questo metodo è cautelativo si procede con l'esecuzione del calcolo diretto per valutare se risulta verificato.

Inoltre da Tabella 1.13 - Spaziatura massima delle barre per il controllo di fessurazione in funzione di  $\sigma_s$  si ha:

- Combinazione frequente

$$\sigma_s = 241,8MPa \quad s_{max}(w_3) = 250mm$$

- Combinazione quasi permanente  $\sigma_s = 231 MPa$

$$\sigma_s = 200MPa \quad s_{max}(w_2) = 250mm$$

$$\sigma_s = 240MPa \quad s_{max}(w_2) = 200mm$$

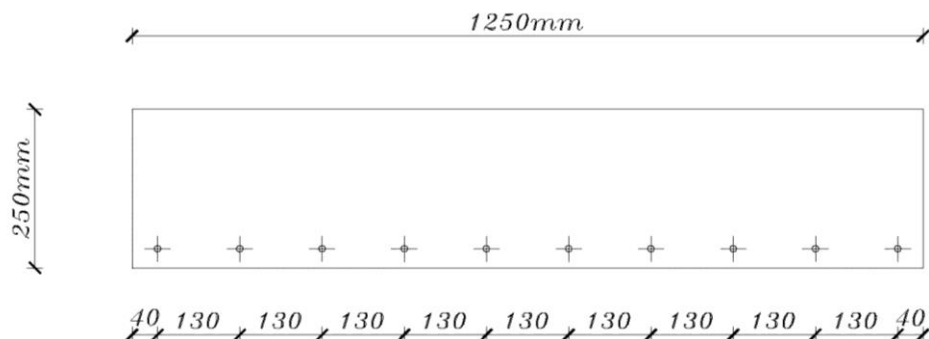


Figura 1.31 - Sezione

Ampiamente verificato.

**1.17.5 Verifiche di deformabilità**

Dalla Circolare C 4.1.2.2.2 per travi e solai con luci non superiori a 10m è possibile omettere la verifica delle inflessioni, se il rapporto di snellezza  $\lambda = \frac{L}{h}$  soddisfa la seguente espressione [Circolare C 4.1.13]

$$\lambda_{lim} = k \cdot \left( 11 + \frac{0,0015 \cdot f_{ck}}{\rho + \rho'} \right) \left( \frac{500 \cdot A_{s,eff}}{f_{yk} \cdot A_{s,calc}} \right)$$

$$f_{ck} = 25 \text{ MPa}$$

La campata con maggior freccia è GH, che è terminale; l'appoggio H, rispetto ad un appoggio in continuità, determina deformabilità superiore.

$$k = 1,3 \text{ (campata terminale)}$$

$$\frac{A_{s,eff}}{A_{s,calc}} = 1 \text{ conservativamente, in generale è un valore maggiore di 1.}$$

$\rho, \rho'$  le considero in G, conservativamente

$$\rho = 1,2\%$$

$$\rho' = 0,6\%$$

$$\rho + \rho' = 1,8\%$$

$$\lambda_{lim} = 1,3 \cdot \left( 11 + \frac{0,0015 \cdot 25}{0,018} \right) \left( \frac{500}{450} \right) = 18,90 > \lambda = \frac{L_{GH}}{h} = \frac{4,72}{25} = 18,88 \quad \text{OK}$$

**1.17.6 Verifica a fessurazione rigorosa**

- Combinazione frequente  $w_d \leq w_3 = 0,4 \text{ mm}$
- Combinazione quasi permanente  $w_d \leq w_2 = 0,3 \text{ mm}$
- Combinazione frequente

Calcolo la distanza media tra le fessure:

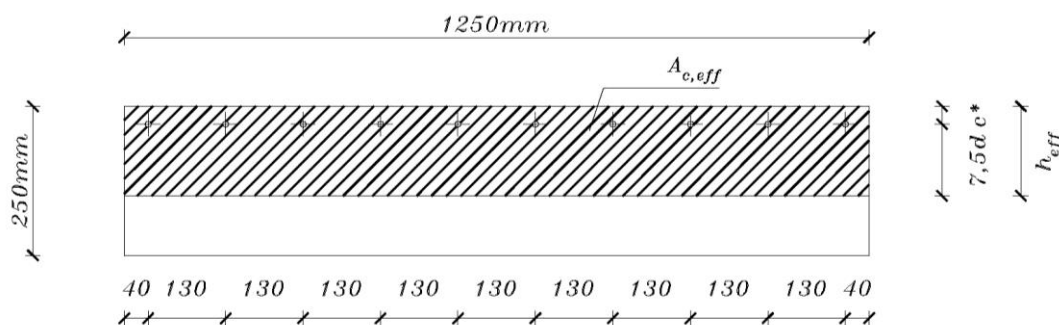
Sezione G

Figura 1.32: Sezione G

$$\Delta_{sm} = 2 \cdot \left( c^* + \frac{s}{10} \right) + k_2 \cdot k_3 \cdot \frac{\phi}{\rho}$$

$$c = 40 \text{ mm} - \frac{\phi_L}{2} - \phi_L = 40 \text{ mm} - 10 - 8 = 22 \text{ mm}$$

$$s = 130 \text{ mm} \leq 14\phi \quad \text{interasse delle barre longitudinali}$$

$k_2 = 0,4$  per barre ad aderenza migliorata

$k_3 = 0,25 \left( \frac{\varepsilon_1 + \varepsilon_2}{2\varepsilon_1} \right) = 0,125$  per flessione semplice

( $\varepsilon_1$  e  $\varepsilon_2$  sono deformazione maggiore e minore nell'area efficace di calcestruzzo)

$$\phi = 20mm$$

$$\rho = \frac{A_s}{A_{c,eff}} = 1$$

$$A_{c,eff} = b \cdot h_{eff}$$

$$h_{eff} = c^* + 7,5\phi \quad c^*: \text{ricoprimento delle barre longitudinali}$$

$$c^* = 40 - \frac{\phi L}{2} = 40 - 10 = 30mm$$

$$h_{eff} = c^* + 7,5\phi = 30 + 150 = 180mm$$

$$A_{c,eff} = b \cdot h_{eff} = 1250mm \cdot 180mm = 225000mm^2$$

$$\rho = \frac{3140mm^2}{225000mm^2} = 1,4\%$$

$$\frac{\phi}{\rho} = \frac{20}{1,4\%} = 1428,6$$

$$\Delta_{sm} = 2 \cdot \left( 30 + \frac{130}{10} \right) + 0,4 \cdot 0,125 \cdot 1428,6 = (86 + 71,43)mm = 157,4mm$$

Calcolo la deformazione media dell'acciaio tra le fessure per combinazione frequente

$$\varepsilon_{sm} = \frac{\sigma_s}{E_s} \left( 1 - \beta_1 \cdot \beta_2 \cdot \left( \frac{\sigma_{sr}}{\sigma_s} \right)^2 \right)$$

$\beta_1 = 1$  Per barre ad aderenza migliorata

$\beta_2 = 0,5$  Per carichi di lunga durata

$$\frac{\sigma_{sr}}{\sigma_s} = \frac{M_{cr}}{M_{freq}}$$

$$M_{cr} = W \cdot f_{ctm} = \frac{b \cdot H^2}{6} \cdot f_{ctm}$$

$$f_{ctm} = 0,3(f_{ck})^{\frac{2}{3}} = 2,56MPa$$

$$M_{cr} = \frac{1250 \cdot 250^2}{6} \cdot 2,56 = 33,3kNm$$

$$M_{freq} = 135,9kNm$$

$$\sigma_s = 241MPa$$

$$\varepsilon_{sm} = \frac{241}{210000} \left( 1 - 0,5 \cdot \left( \frac{33,3}{135,9} \right)^2 \right) = 1,11 \cdot 10^{-3} = (1,15 \cdot 10^{-3} \cdot 0,97)$$

Calcolo apertura media di fessura e del valore di calcolo

$$w_m = \Delta_{sm} \cdot \varepsilon_{sm}$$

$$w_m = 1,11 \cdot 10^{-3} \cdot 157,4 = 0,173mm$$

$$w_d = 1,7w_m = 0,29mm \ll 0,4mm$$

- Lo stesso procedimento viene seguito per la combinazione quasi permanente

$$w_d = 0,3mm$$

$$\sigma_s = 231 \text{ MPa}$$

$$M_{QP} = 129,8 \text{ kNm}$$

$$- \Delta_{sm} = 157,4 \text{ mm}$$

$$\varepsilon_{sm} = \frac{231}{210000} \left[ 1 - 1 \cdot 0,5 \cdot \left( \frac{33,3}{129,8} \right)^2 \right] = 1,06 \cdot 10^{-3}$$

$$w_m = \Delta_{sm} \cdot \varepsilon_{sm} = 1,06 \cdot 10^{-3} \cdot 157,4 = 0,167 \text{ mm}$$

$w_d = 1,7w_m = 1,7 \cdot 0,167 = 0,284 < 0,3 \text{ mm}$  verificato (soluzione diversa rispetto alla verifica tabellare).

Osservazione:

Nel calcolo di tensioni e deformazioni,  $f_{ct}$  può essere assunta pari a  $f_{ctm}$  (valore medio della resistenza a trazione) oppure  $f_{cfm}$  (valore medio della resistenza a trazione per flessione), purchè il calcolo dell'armatura minima sia basato sullo stesso valore [NTC 11.2.4]:

$$f_{cfm} = 1,2f_{ctm}$$

Nel calcolo dell'ampiezza delle fessure e del tension stiffening si raccomanda di usare  $f_{cfm}$ .

---

### 1.17.7 Esempio di calcolo dell'inflessione

Si consideri ora un esempio generico non facente riferimento all'esercizio precedente.

$$f \leq \frac{L}{250} \quad \text{condizione di carico quasi permanente}$$

#### CASO 1: CARICHI DI BREVE DURATA

Si valuta per esercizio, in realtà la freccia andrebbe sempre valutata a lungo termine.

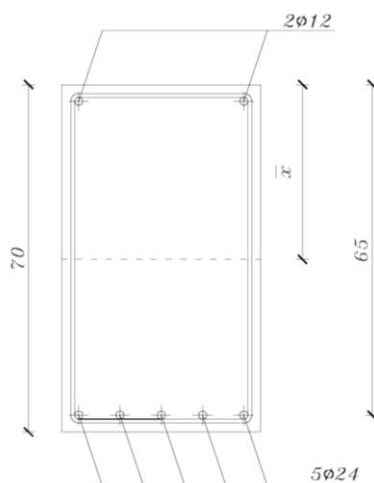


Figura 1.33 - Sezione G

- Analisi dei carichi

$$g = 20 \frac{kN}{m}$$

$$q = 10 \frac{kN}{m}$$

$$p = g + q = 30 \frac{kN}{m}$$

- Materiali:

C30/37

$$f_{ck} = 30 MPa$$

$$f_{cm} = 30 + 8 = 38 MPa$$

$$E_{cm} = 22000 \left( \frac{f_{cm}}{10} \right)^{0,3} = 32800 MPa$$

$$f_{ctm} = 0,3 f_{ck}^{\frac{2}{3}} = 2,90 MPa$$

B450C

$$f_{yk} = 450 MPa$$

$$E_s = 210000 MPa$$

$$A_s = 5\phi 24 = 2260 mm^2$$

$$A'_s = 2\phi 12$$

$$n = \frac{E_s}{E_c} = \frac{21000}{32800} = 6,40 \quad \text{Per breve durata}$$

- Caratteristiche geometriche della sezione

- Stadio I: non fessurato

$$\bar{x} = 35,22 \text{ cm}$$

$$J_I = \frac{1}{12} \cdot 40 \cdot 70^3 + (40 \cdot 70)(0,22)^2 + 6,4 \cdot 22,6 \cdot (34,78 - 5)^2 + 6,4 \cdot 2,26 \cdot (35,22 - 5)^2 =$$

$$= 1,28 \cdot 10^6 \text{ cm}^4 = 1,28 \cdot 10^{10} \text{ mm}^4$$

- Stadio II: fessurato

$$\bar{x} = 18,15 \text{ cm}$$

$$J_{II} = 3,99 \cdot 10^9 \text{ mm}^4$$

$$\frac{J_I}{J_{II}} = 3,21$$

- Momento di prima fessurazione:

$$M_{cr} = f_{ctm} \cdot \frac{J_I}{H - \bar{x}} = \frac{2,90 \cdot 1,28 \cdot 10^{10}}{700 - 355,2}$$

- Momento sollecitante in esercizio:

$$M_{max,ES} = \frac{p \cdot L^2}{8} = \frac{30 \frac{kN}{m} \cdot 9^2}{8} = 303,75 \text{ kNm} \gg M_{cr}$$

- Lunghezza della trave fessurata:

$$M_x = \frac{p \cdot L \cdot x}{8} - \frac{p \cdot x^2}{8} = M_{cr}$$

$$135x - 15x^2 = 108$$

$$15x^2 - 135x + 108 = 0$$

$$x = 0,89 \text{ m}$$

La trave è fessurata per ben:  $9 - 2 \cdot 0,89 \text{ m} = 7,22 \text{ m} (= 0,8L)$



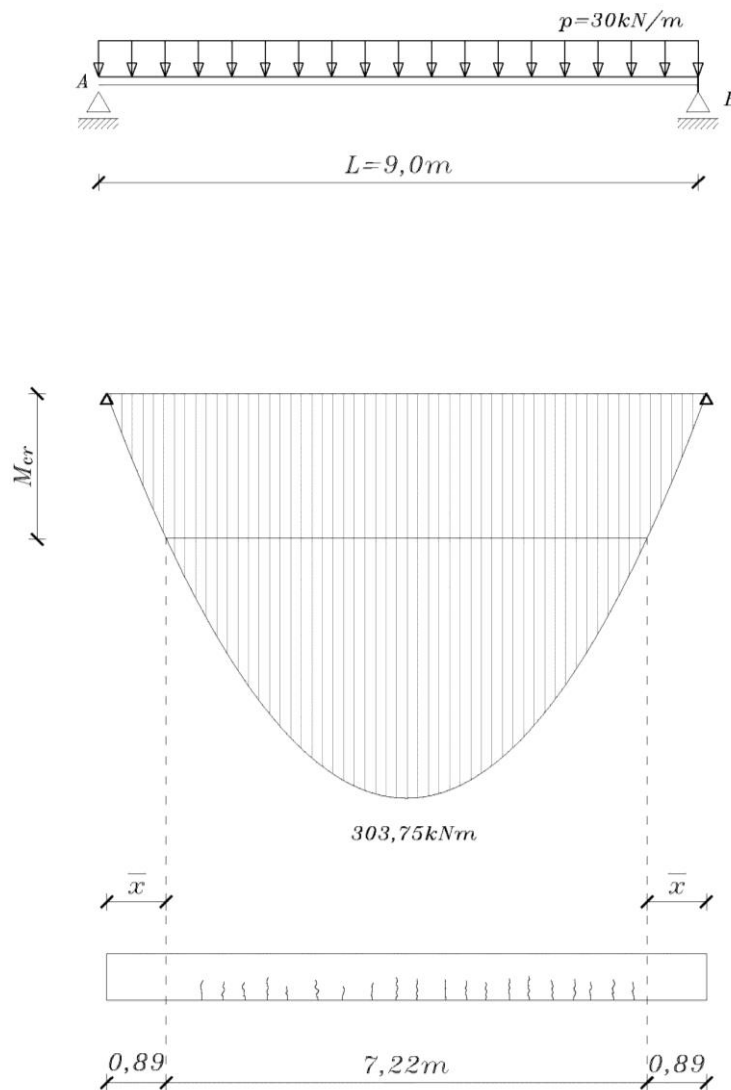


Figura 1.34 – Trave fessurata

Calcolo della freccia secondo EC2 e NTC

$$f_I = \frac{5}{384} \frac{p l^4}{E_{cm} \cdot J_I} = \frac{5}{384} \frac{30 \frac{N}{mm} 9000^4 mm^4}{32800 MPa \cdot 1,28 \cdot 10^{10} mm^4} = 6,1 mm$$

$$f_{II} = f_I \frac{J_I}{J_{II}} = 6,1 \cdot 3,21 = 19,6 mm$$

$$\xi = 1 - \beta \cdot \left( \frac{M_{cr}}{M_{max}} \right)^2 = 1 - 1 \cdot \left( \frac{108}{303.75} \right)^2 \cong 0.87$$

Tension stiffening con  $\beta = 1$  (con carichi di breve durata).

$$f = \xi \cdot f_{II} + (1 - \xi) f_I = f_I + \xi (f_{II} - f_I)$$

$$f = 6,1 + 0,87 \cdot (19,6 - 6,1) mm = 17,84 mm$$

Trascuro il tension stiffening e calcolo la freccia per interpolazione lineare

$$f_I = 6,1mm$$

$$f_{II} = 19,6mm$$

$$L = 9m$$

$$L_{cr} = 7,22m$$

$$f = f_I + (f_{II} - f_I) \cdot \frac{L_{cr}}{L} = f_I \left[ 1 + \left( \frac{J_{II}}{J_I} - 1 \right) \frac{L_{cr}}{L} \right] = f_I [1 + (3,21 - 1)] = 2,77 f_I = 16,90mm$$

Calcolo quasi esatto con corollario di Mohr (integrazione della curvatura con tension stiffening)

$$f = f_I + \Delta f_{II}(L_{cr}) - \Delta f_{TS}(L_{cr})$$

$$f_I = 6,1mm$$

$$\begin{aligned} \Delta f_{II} &= \frac{L_{cr} \cdot L}{E_{cm} \cdot J_{II}} \left( 1 - \frac{J_{II}}{J_I} \right) \left( \frac{M_{cr}}{12} + \frac{M_{max,es}}{6} - \frac{L_{cr}}{L} \frac{M_{cr} + M_{max,es}}{16} \right) = \\ &= \frac{7220 \cdot 9000}{32800 \cdot 3,99 \cdot 10^9} \left( 1 - \frac{1}{3,21} \right) \left( \frac{108}{12} + \frac{303,75}{6} - \frac{7,22}{9} \frac{108 + 303,75}{16} \right) \cdot 10^6 = 13,32 \text{ mm} \end{aligned}$$

$$\begin{aligned} \Delta f_{TS} &= \left( \frac{M_u}{M_{max,es}} \right)^2 \frac{M_{max,es} \cdot L_{cr} \cdot L}{E_{cm} \cdot J_{II}} \left( 1 - \frac{J_{II}}{J_I} \right) \left( \frac{1}{4} - \frac{1}{8} \cdot \frac{L_{cr}}{L} \right) = \\ &= \left( \frac{108}{303,75} \right)^2 \frac{303,75 \cdot 10^6 \cdot 7,22 \cdot 9 \cdot 10^6}{32800 \cdot 3,99 \cdot 10^9} \left( 1 - \frac{1}{3,21} \right) \left( \frac{1}{4} - \frac{1}{8} \cdot \frac{7,22}{9} \right) = 1,96 \text{ mm} \end{aligned}$$

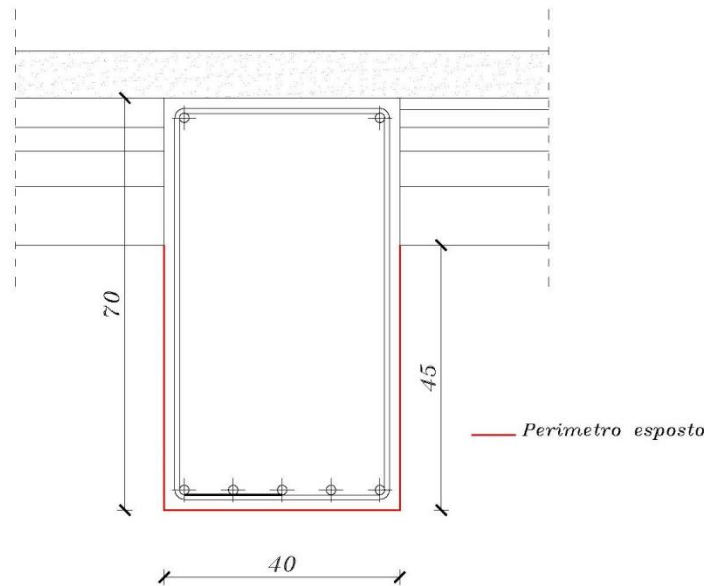
$$f = 6,1 + 13,32 - 1,96 = 17,46 \text{ mm}$$

Integrazione con tension stiffening iperbolico

$$f = 16,69 \text{ mm}$$

N.B. Il valore della freccia è minore rispetto al valore calcolato da normativa, dimostrando nuovamente che la normativa è conservativa.

## CASO 2: CARICHI DI LUNGA DURATA



Si ricorda che a lungo termine è fondamentale considerare la viscosità.

Uso la combinazione quasi permanente

$$g = 20 \frac{kN}{m}$$

$$q = 10 \frac{kN}{m}$$

$$u = 2 \cdot 450 + 400 = 1300 mm \quad (\text{perimetro esposto})$$

$$h_0 = \frac{2 \cdot A_c}{u} = \frac{2 \cdot 280000}{1300} = 431 mm$$

Ipotizzando  $\mu = 55\%$   $t_0 = 30 \text{ giorni}$

Dalla Tabella 11.2 VII delle NTC si ha un coefficiente di viscosità pari a:

$$\varphi(\infty, t_0) = 2,3$$

Si determina il modulo elastico efficace

$$E_{c,eff} = \frac{E_{cm}}{1 + \varphi(\infty, t_0)} = \frac{32800}{3,3} = 9940 MPa$$

$$n(\infty, t_0) = \frac{E_s}{E_{c,eff}} = \frac{210000}{9940} = 21,12$$

- Stadio I non fessurato:

$\bar{x} = 38,8 cm$  dall'alto (maggiore rispetto al caso a breve termine)

$$J_I^\infty = \frac{1}{12} \cdot 40 \cdot 70^3 + (40 \cdot 70)(3,6)^2 + 19,3 \cdot 22,6 \cdot (31,4 - 5)^2 + 19,3 \cdot 2,26 \cdot (38,6 - 5)^2 =$$

$$= 1,56 \cdot 10^{10} mm^4$$

- Stadio II fessurato:

$$\bar{x} = 28,5 cm$$

$$J_{II}^\infty = 9,71 \cdot 10^9 mm^4$$

Osservazione:

$$\frac{J_I^\infty}{J_I} = \frac{1,56}{1,28} = 1,22$$

$$\frac{J_{II}^\infty}{J_{II}} = \frac{9,71}{3,99} = 2,43$$

Incremento molto superiore visto il  
rilevante contributo di  $nA_s$

Nella combinazione quasi permanente:

$$p_{QP} = g + 0,3q = 20 + 3 = 23 \frac{kN}{m}$$

$$f_I(\infty, t_0) = \frac{5}{384} \frac{p_{QP} l^4}{E_{c,eff} \cdot J_I^\infty} = \frac{5}{384} \frac{23 \frac{N}{mm} \cdot 9000^4 mm^4}{9940 MPa \cdot 1,56 \cdot 10^{10} mm^4} = 12,67 mm$$

$f_I(\infty, t_0) \gg f_I$  l'effetto della viscosità è molto importante in campo elastico (I stadio)

Per lo stesso carico  $p_{QP}$

$$f_I(\infty, t_0) = f_I(t_0) \cdot \frac{E_{cm}}{E_{c,eff}} \frac{J_I}{J_I^\infty} = f_I(t_0) \cdot \frac{32800}{9940} \frac{1,28}{1,56} = 2,71 f_I(t_0)$$

$$f_{II}(\infty, t_0) = f_I(\infty, t_0) \frac{J_I^\infty}{J_{II}^\infty} = 12,67 \cdot \frac{1,56 \cdot 10^{10}}{9,71 \cdot 10^9} = 20,35 mm$$

$$M_{cr}(t_0) = 108 kNm$$

$$M_{max, QP} = \frac{p_{QP} \cdot L^2}{8} = \frac{23 \frac{kN}{m} \cdot 9^2}{8} = 233 kNm > M_{cr}$$

$$\xi = 1 - \beta \cdot \left( \frac{M_{cr}}{M_{max}} \right)^2 = 1 - 0,5 \cdot \left( \frac{108}{233} \right)^2 = 0,896 \quad \text{contributo del tension stiffening}$$

$$f(\infty, t_0) = f_I(\infty, t_0) + \xi \cdot [f_{II}(\infty, t_0) - f_I(\infty, t_0)] = 12,67 + 0,896(20,35 - 12,67) mm = 19,55 mm$$

$$f(\infty, t_0) = \frac{1}{465} L \ll \frac{1}{250} L$$

NB. A favore di sicurezza non si è considerato il diverso contributo viscoso tra la zona fessurata e quella non fessurata, come teoricamente evidenziato nei lucidi precedenti.